

784-1

1979

საქართველოს სსრ მეცნიერებათა აკადემიის მაცნე
ISSN 0135-6074

ИЗВЕСТИЯ АКАДЕМИИ НАУК ГРУЗИНСКОЙ ССР
PROCEEDINGS OF THE ACADEMY OF SCIENCES
OF THE GEORGIAN SSR

І П А П П Ъ
СЕРИЯ
ХИМИЧЕСКАЯ

CHEMICAL SERIES

1979 N 3

თბილისი
TBILISI ■ 8man
TOM VOL.

5



საქართველოს სსრ მეცნიერებათა აკადემიის გამოცემა
ИЗВЕСТИЯ АКАДЕМИИ НАУК ГРУЗИНСКОЙ ССР

გეოგრაფია СЕРИЯ ХИМИЧЕСКАЯ

ტომი 5, № 3

163321

უკრნალი დაარსდა 1975 წელს
Журнал основан в 1975 году

გამოცემობა „მეცნიერება“ თბილისი
ИЗДАТЕЛЬСТВО „МЕЦНИЕРЕБА“ ТБИЛИСИ 1979

სარჩევამციო კოლეგია

რ. აგლაძე, ა. ავალიანი, თ. ანდრონიქაშვილი (რედაქტორის მოადგილე), ქ. არეშიძე, ფ. ბრუცხელი (სწავლული მდივანი), ფ. თვაძე, ნ. ლანდია, ლ. მელიქაძე, ნ. ფირცხალავა, ე. ქემერტელიძე, ქ. ქუთაესლეძე, გ. ციცაშვილი (რედაქტორი), პ. ცისკარიშვილი (რედაქტორის მოადგილე).

პასუხისმგებელი მდივანი ვ. შუბლაძე

РЕДАКЦИОННАЯ КОЛЛЕГИЯ

Р. И. Агладзе, А. Ш. Авалиани, Т. Г. Андronikashvili (зам. редактора),
Х. И. Арешидзе, Ф. И. Броучек (ученый секретарь), К. Г. Джапаридзе
(зам. редактора), Э. П. Кемертелидзе, К. С. Кутателадзе, Н. А. Ландия,
Л. Д. Меликадзе, Н. И. Пирцхалава, Ф. Н. Тавадзе, Г. В. Цицишвили
(редактор), П. Д. Цискаришвили.

Ответственный секретарь В. В. Шубладзе.

EDITORIAL BOARD

R. I. Agladze, A. Sh. Avaliani, T. G. Andronikashvili (Associate Editor),
Kh. I. Areshidze, F. I. Brouchek (Scientific Secretary), K. G. Japaridze
(Associate Editor), E. P. Kemertelidze, K. S. Kutateladze, N. A. Landia,
L. D. Melikadze, N. I. Pirtskhalava, F. N. Tavadze, G. V. Tsitsishvili
(Editor), P. D. Tsiskarishvili.

Executive Secretary V. V. Shubladze

ეურნალი გამოდის 3 თვეში ერთხელ
Журнал выходит раз в 3 месяца

СОДЕРЖАНИЕ

НЕОРГАНИЧЕСКАЯ И АНАЛИТИЧЕСКАЯ ХИМИЯ

Гогоришвили П. В., Цкитишвили М. Г., Чрелашивили М. В. Прониженение растворимости сульфанилазината кобальта и влияние общих ионов на его растворимость	199
Эристави В. Д., Азза Азиз Мухамед. Отделение бериллия от ряда сопутствующих элементов в аннонитах в оксалатной форме	205

ОРГАНИЧЕСКАЯ ХИМИЯ

Коршак В. В., Гвердцители И. М., Киппани Л. Г., Табидзе Р. С., Лекае Т. В., Тугуши Д. С., Русанова А. Л. Синтез ароматических бибензимидазолов путем восстановительной гетероциклизации	213
---	-----

ФИЗИЧЕСКАЯ ХИМИЯ

Ширмер В., Тамм Х., Лозе У., Штах Х. Структура и адсорбционные свойства высокодеалюминированного цеолита типа Y	217
Андроникашвили Т. Г., Мирский Я. В., Мегедь Н. Ф., Сабелашвили Ш. Д., Осипова Н. А. Хроматографическое исследование свойств синтетического оффретита	225
Далакишвили Н. З., Панчвидзе М. В., Наобашвили Е. М. Рафидолиз арилалкантов	231
Абуладзе М. К., Наморадзе М. А., Дзоценидзе З. Г., Мусеридзе М. Д., Баратов А. Н. Изучение гетерогенной рекомбинации атомов водорода и кислорода на поверхности хлоридов щелочных металлов	238
Озиашвили Е. Д., Егназаров А. С., Джиджеишвили Ш. И., Башкатова И. Ф. Разделение изотопов углерода методом химического изотопного обмена в системе двуокись углерода—карбамат-ион	247
Омиадзе И. С., Надираадзе А. А., Цагарейшвили Д. Ш. Прогнозирование значений высокотемпературных тепломеханических кристаллических неорганических веществ по уравнению Майера-Келли	254

ТЕХНОЛОГИЯ

Шванигирадзе А. В., Курцхалия Ц. С., Циргава Г. А. Парцивания Д. А., Макашвили М. А. Изучение возможности очистки сточных вод производства сульфата аммония и аммиачной селитры методом обратного осмоса	262
--	-----

КРАТКИЕ СООБЩЕНИЯ

Цицишвили Г. В., Сабелашвили Ш. Д., Андроникашвили Т. Г., Кордзахия Т. Н. Способ обезвоживания этилового спирта с помощью природного клиноптилолита	267
Агладзе Р. И., Орлова О. В., Вардишвили М. А. Изучение возможностей очистки электролитической двуокиси марганца с помощью электродиализа	270
Квирикашвили В. Л., Рамишвили Ц. М. Каталитическое дегидрирование изопропилбензола	274
Папава Г. Ш., Цискаришвили П. Д., Иосава И. Г., Канделаки Р. К. Некоторые кинетические закономерности процесса оксиленилирования термопластиката горючих сланцев	277
Цвениашвили В. Ш., Стрелец Б. Х., Малашхия М. В., Еремеева Г. И., Гапридашвили В. Н. Полярографическое восстановление солей 1-метил-2, 1, 3-бензтина- и селеноидиазолиев в ацетонитриле	280
Миндин В. Ю., Морозов А. М. Кодирование неорганических веществ для расчета термодинамических параметров на ЭВМ с малым объемом ОЗУ	284

CONTENTS



INORGANIC AND ANALYTICAL CHEMISTRY

Gogorishvili, P. V., Tskitishvili M. G., Chrelashvili M. V. Solubility product for cobalt sulphapyridazinate and the effect of the common ions on its solubility	204
Eristavi V. D., Azza Aziz Mukhammed. Separation of beryllium from a number of attendant elements in anionites in oxalate form	209

ORGANIC CHEMISTRY

Korshak V. V., Gverdtsiteli I. M., Kipiani L. G., Tabidze R. S., Lekae T. V., Tugushi D. S., Rusanov A. L. Synthesis of aromatic bi:benzimidazoles by means of reducing heterocycling	215
---	-----

PHYSICAL CHEMISTRY

Schirmer W., Tamm Kh., Lohse U., Shtach H. Structure and adsorption properties of high dealuminated type Y zeolite	224
Andronikashvili T. G., Mirskiy Ya. V., Meged N. F., Sabelashvili Sh. D., Osipova N. A. Chromatographic studies of the synthetic offretite properties	229
Dalakishvili N. Z., Panchvidze M. V., Nanobashvili E. M. Radioysis of aryl alkane thiols	236
Abudzhe M. K., Namoradze M. A., Dzotsenidze Z. G., Mu- seridze M. D., Baratov A. N. Studies of heterogeneous recombi- nation of hydrogen and oxygen atoms on surface of alkaline element chlorides	245
Oziashvili E. D., Egiazarov A. S., Jijeishvili Sh. I., Bashkato- va N. F. Separation of carbon isotopes using the method of chemical exchange between carbon dioxide and carbamate ion	251
Omidadze I. S., Nadiradze A. A., Tsagareishvili D. Sh. Predic- tions of values of high temperature heat capacity for crystalline inorganic sub- stances using Maier-Kelley equation	260

TECHNOLOGY

Shvangiradze A. V., Kurtskhelia Ts. S., Tsirgvava T. A., Partsvania D. A., Makashvili M. A. Studies of possible purifi- cation of drainage waters at production of ammonium sulphate and ammonia nitrate using the method of reverse osmosis	266
---	-----

SHORT COMMUNICATIONS

Tsitsishvili G. V., Sabelashvili Sh. D., Andronikashvili T. G., Kordzakhia T. N. Ethanol high drying process by the use of natural clinoptilolite	269
Agladze R. I., Orlova O. V., Vardishvili M. A. Studies of possi- ble purification of electrolytic manganese dioxide using electrodialysis	273
Kvirikashvili V. L., Ramishvili P. M. Catalytic dehydration of iso- propyl benzene	276
Papava G. Sh., Tsiskarishvili P. D., Iosava I. G., Kandela- ki R. K. Some kinetic regularities of the oxyphenylation process of combustible shale thermoplastic	279
Tsveniashvili V. Sh., Strelets B. Kh., Malashkhia M. V., Eremeeva G. I., Gaprindashvili V. N. Polarographic reduc- tion of 1-methyl-2,1,3-benzothia- and secon diazole in acetonitrile	282
Mindin V. Yu., Morozov A. M. Coding of inorganic substances for cal- culations of thermodynamic parameters for chemical reactions by a computer with a small OS volume	286

НЕОРГАНИЧЕСКАЯ И АНАЛИТИЧЕСКАЯ ХИМИЯ

УДК 541.49:546.73:547.551.525.221.1:541.8

П. В. ГОГОРИШВИЛИ, М. Г. ЦКИТИШВИЛИ, М. В. ЧРЕЛАШВИЛИ

ПРОИЗВЕДЕНИЕ РАСТВОРИМОСТИ СУЛЬФАПИРИДАЗИНАТА КОБАЛЬТА И ВЛИЯНИЕ ОБЩИХ ИОНОВ НА ЕГО РАСТВОРИМОСТЬ

Произведение растворимости (ПР) для нерастворимых в воде соединений является характерной величиной в аналитической химии.

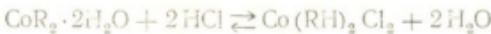
Соединения сульфапиридазина с переходными металлами [1], полученные в щелочной среде — $\text{MR}_2 \cdot n\text{H}_2\text{O}$, где R — депротонированная молекула сульфапиридазина (внутрикомплексные соединения), практически не растворяются в воде, в связи с чем определение их произведений растворимости имеет важное значение.

Целью настоящей работы было определение ПР для сульфапиридазинового комплекса кобальта — $\text{CoR}_2 \cdot 2\text{H}_2\text{O}$ с применением метода растворимости [2]. Нерастворимое в воде соединение $\text{CoR}_2 \cdot 2\text{H}_2\text{O}$, как соль слабой кислоты*, в насыщенном водном растворе, возможно, частично подвергается гидролизу. Ввиду этого его растворимость была изучена в растворах соляной кислоты разной концентрации, меняющейся в пределах $2.5 \cdot 10^{-2} — 2.5 \cdot 10^{-5}\text{M}$ при 25°C . В стеклянnyй сосуд помещали $\text{CoR}_2 \cdot 2\text{H}_2\text{O}$, добавляли 100 мл соляной кислоты и встряхивали в продолжение 6 часов в водном термостате. После установления равновесия в растворе определяли pH и содержание Co^{2+} и серы. ПР вычисляли по уравнениям [2]:

$$\text{ПР} = 4q^2 [\text{Co}^{2+}]^3; \quad \text{ПР} = \frac{[\text{RH}_2^+]^3 q^2}{2}; \quad \text{ПР} = [\text{Co}^{2+}] ([\text{RH}_2^+] q)^2;$$
$$\frac{1}{q} = 1 + \frac{[\text{H}^+]}{K_1} + \frac{[\text{H}^+]^2}{K_1 K_2},$$

где K_1 и K_2 константы диссоциации сульфапиридазина равные $K_1 = 6.918 \cdot 10^{-3}$ и $K_2 = 1.413 \cdot 10^{-8}$. ПР вычисляли с применением значений $[\text{Co}^{2+}]$ и $[\text{RH}_2^+]$. $[\text{Co}^{2+}]$ взяты из экспериментальных данных, а $[\text{RH}_2^+]$ вычисляли по содержанию серы, входящей в молекулу лиганда. Полученные результаты почти одинаковы. Они приведены в табл. 1.

Установлено, что в кислой среде сульфапиридазин образует два типа соединений [1], в частности, с кобальтом: $\text{Co}(\text{RH})_2\text{Cl}_2$ и $(\text{RH}_2)_2[\text{CoCl}_4]$. Образование этих соединений протекает по реакциям:



* Сульфапиридазин является кислотой, благодаря способности атома водорода NH-группы замещать металлы под действием щелочей.

Таблица 1

Произведение растворимости и константа устойчивости сульфопиразината кобальта

PCH моль/л	pH	η	$[\text{Co}^{2+}]$ моль/л	$[\text{RH}_4^+]$ моль/л	IP ηCo^{2+}	IP ηRH^+	IP $\eta \text{Co}^{2+}\eta \text{RH}^+$	K_f	IP
$2,5 \cdot 10^{-2}$	6,15	$2,02 \cdot 10^{-2}$	$1,3 \cdot 10^{-2}$	$8,09 \cdot 10^{-3}$	$3,60 \cdot 10^{-10}$	$1,08 \cdot 10^{-10}$	$3,47 \cdot 10^{-10}$	—	—
$1,0 \cdot 10^{-2}$	6,25	$2,45 \cdot 10^{-2}$	$6,6 \cdot 10^{-3}$	$5,15 \cdot 10^{-3}$	$6,91 \cdot 10^{-10}$	$0,41 \cdot 10^{-10}$	$1,05 \cdot 10^{-10}$	$5,21 \cdot 10^{-4}$	$1,51 \cdot 10^{-10}$
$5,0 \cdot 10^{-3}$	6,62	$5,56 \cdot 10^{-3}$	$3,6 \cdot 10^{-3}$	$4,36 \cdot 10^{-3}$	$5,78 \cdot 10^{-10}$	$1,28 \cdot 10^{-10}$	$2,12 \cdot 10^{-10}$	$5,21 \cdot 10^{-4}$	$1,56 \cdot 10^{-10}$
$2,5 \cdot 10^{-3}$	6,92	$1,65 \cdot 10^{-3}$	$2,0 \cdot 10^{-3}$	$2,80 \cdot 10^{-3}$	$3,54 \cdot 10^{-10}$	$1,22 \cdot 10^{-10}$	$1,71 \cdot 10^{-10}$	$5,23 \cdot 10^{-4}$	$1,50 \cdot 10^{-10}$
$1,0 \cdot 10^{-3}$	7,31	$2,24 \cdot 10^{-3}$	$1,28 \cdot 10^{-3}$	$8,45 \cdot 10^{-4}$	$4,25 \cdot 10^{-10}$	$2,16 \cdot 10^{-10}$	$4,60 \cdot 10^{-10}$	$5,23 \cdot 10^{-4}$	$1,53 \cdot 10^{-10}$
$5,0 \cdot 10^{-4}$	7,54	$3,28 \cdot 10^{-3}$	$1,05 \cdot 10^{-3}$	$8,32 \cdot 10^{-4}$	$4,81 \cdot 10^{-10}$	$2,00 \cdot 10^{-10}$	$7,75 \cdot 10^{-10}$	$5,22 \cdot 10^{-4}$	$1,51 \cdot 10^{-10}$
$2,5 \cdot 10^{-4}$	7,78	$4,60 \cdot 10^{-3}$	$5,84 \cdot 10^{-4}$	$8,23 \cdot 10^{-4}$	$5,57 \cdot 10^{-10}$	$1,95 \cdot 10^{-10}$	$8,36 \cdot 10^{-10}$	$5,21 \cdot 10^{-4}$	$1,53 \cdot 10^{-10}$
$1,0 \cdot 10^{-4}$	7,92	$5,40 \cdot 10^{-3}$	$5,67 \cdot 10^{-4}$	$7,90 \cdot 10^{-4}$	$5,23 \cdot 10^{-10}$	$1,77 \cdot 10^{-10}$	$1,03 \cdot 10^{-10}$	$5,19 \cdot 10^{-4}$	$1,50 \cdot 10^{-10}$
$5,0 \cdot 10^{-4}$	8,12	$6,51 \cdot 10^{-3}$	$3,51 \cdot 10^{-4}$	$7,87 \cdot 10^{-4}$	$5,07 \cdot 10^{-10}$	$1,81 \cdot 10^{-10}$	$1,44 \cdot 10^{-10}$	$5,20 \cdot 10^{-4}$	$1,50 \cdot 10^{-10}$
$2,5 \cdot 10^{-4}$	8,23	$7,06 \cdot 10^{-3}$	$3,48 \cdot 10^{-4}$	$7,15 \cdot 10^{-4}$	$5,16 \cdot 10^{-10}$	$1,43 \cdot 10^{-10}$	$1,40 \cdot 10^{-10}$	$5,28 \cdot 10^{-4}$	$1,52 \cdot 10^{-10}$



Поэтому нами были выбраны такие концентрации HCl, при которых CoR₂·2H₂O не растворяется и не образуются комплексы (т. е. при этом комплексообразование не происходит). Но все же при вычислении ПР учитывалось присутствие этих комплексов в растворе. Приближенным значением ПР можно считать 4,96·10⁻¹⁰.

Более точные значения ПР и K_y, вычисляемые по формулам, предложенным в [3]:

$$\text{ПР} = \frac{[R^-]^3 + [R^-]^2 K_y}{q \left(1 + \frac{[R^+]}{K_y} \right)} ; \quad [R^-] = \frac{[s] q}{4} - \frac{K_y}{2} + \sqrt{\left(\frac{[s] q}{4} - \frac{K_y}{2} \right)^2 - [s] K_y q}$$

(где [S] — общая концентрация лиганда) равны ПР=1,52·10⁻¹¹ и K_y=5,23·10⁻⁶.

Большое значение имеет изучение влияния избытка общих ионов на растворимость осадка, так как при осаждении в растворе всегда имеется избыток металла или лиганда. При изучении влияния Co²⁺- и R⁻-ионов на растворимость CoR₂·2H₂O применяли метод изомолярных серий растворов. Осадок CoR₂ получали смешиванием равномолярных (0,1M) растворов Co(CH₃COO)₂ и NaR (NaR — натриевая соль сульфапиридазина) при разных соотношениях с общим объемом 100 мл. После установления равновесия (после встряхивания в течение 6 часов), в растворе определяли pH и содержание Co²⁺ и серы. Вычис-

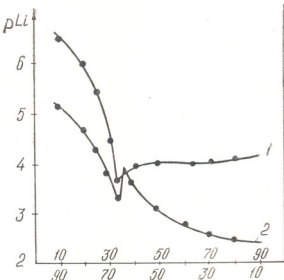


Рис. 1. Влияние общих ионов на растворимость CoR₂·2H₂O: 1 — растворимость, вычисленная теоретически; 2 — растворимость, вычисленная по кобальту

ляли растворимость теоретически и практически. Для теоретического определения растворимости применяли уравнения, предложенные П. А. Эпиком [4]:

Таблица 2
Влияние общих ионов на растворимость сульфатиризината кобальта (ПР=1,52·10⁻¹¹)

$\text{Co}^{2+}, \text{R}^+$	pH	$[\text{Co}^{2+}]$, моль/л	Ионотроп $\text{NaR} \rightarrow \text{Co}(\text{CH}_3\text{COO})_2\text{C}$, моль/л	q	C_{e} в э теорет.	pH теорет.	$[\text{Co}^{2+}][\text{R}^+]$ знач. разность между эн. и избыт.	$[\text{R}^+]$, моль/л	pH по $[\text{Co}^{2+}]$	pH по $[\text{R}^+]$
10:90	9.25	$7,09 \cdot 10^{-4}$	$7,0 \cdot 10^{-3}$	1,04	$3,09 \cdot 10^{-3}$	6,51	$1,58 \cdot 10^{-2}$	$7,02 \cdot 10^{-3}$	5,16	5,45
20:80	9,09	$2,12 \cdot 10^{-4}$	$4,0 \cdot 10^{-3}$	1,06	$1,01 \cdot 10^{-3}$	6,00	$4,00 \cdot 10^{-2}$	$4,04 \cdot 10^{-3}$	4,69	4,71
25:75	8,75	$3,90 \cdot 10^{-4}$	$2,5 \cdot 10^{-3}$	1,13	$2,10 \cdot 10^{-3}$	5,51	$8,04 \cdot 10^{-3}$	$2,58 \cdot 10^{-3}$	4,44	4,43
30:70	8,44	$2,06 \cdot 10^{-4}$	$1,0 \cdot 10^{-3}$	1,54	$3,50 \cdot 10^{-3}$	4,46	$4,29 \cdot 10^{-2}$	$1,43 \cdot 10^{-3}$	3,80	3,79
1:2	7,95	$7,82 \cdot 10^{-4}$	—	1,79	$2,29 \cdot 10^{-3}$	3,61	—	$1,49 \cdot 10^{-3}$	3,32	3,30
32:68	7,85	$4,76 \cdot 10^{-4}$	$2,5 \cdot 10^{-3}$	2,00	$3,43 \cdot 10^{-3}$	3,77	$2,26 \cdot 10^{-2}$	$4,83 \cdot 10^{-4}$	3,91	3,82
40:60	7,75	$1,37 \cdot 10^{-3}$	$1,0 \cdot 10^{-3}$	2,13	$2,29 \cdot 10^{-3}$	3,92	$3,71 \cdot 10^{-2}$	$7,59 \cdot 10^{-4}$	3,65	3,64
20:50	7,62	$4,04 \cdot 10^{-3}$	$2,5 \cdot 10^{-3}$	2,70	$2,09 \cdot 10^{-3}$	3,98	$1,54 \cdot 10^{-2}$	$1,47 \cdot 10^{-3}$	3,10	3,09
60:40	7,49	$7,07 \cdot 10^{-3}$	$4,0 \cdot 10^{-3}$	3,29	$2,04 \cdot 10^{-3}$	3,99	$3,67 \cdot 10^{-2}$	$7,48 \cdot 10^{-3}$	2,78	2,44
70:30	7,46	$1,14 \cdot 10^{-2}$	$5,5 \cdot 10^{-3}$	3,45	$1,93 \cdot 10^{-3}$	4,02	$5,87 \cdot 10^{-2}$	$1,19 \cdot 10^{-2}$	2,59	2,59
80:20	7,40	$1,51 \cdot 10^{-2}$	$7,0 \cdot 10^{-3}$	3,82	$1,82 \cdot 10^{-3}$	4,04	$8,09 \cdot 10^{-2}$	$1,50 \cdot 10^{-2}$	2,48	2,46
90:10	7,33	$1,88 \cdot 10^{-2}$	$8,5 \cdot 10^{-3}$	4,31	$1,81 \cdot 10^{-3}$	4,04	$1,03 \cdot 10^{-1}$	$2,92 \cdot 10^{-2}$	2,41	2,41

$$Li = \frac{q \sqrt{\frac{\text{ПР}}{c+q \sqrt{\text{ПР}/c}}}}{2}; \quad Li = \frac{q^2 \text{ПР}}{s + 2 \frac{q^2 \text{ПР}}{s^2}}; \quad q = 1 + \frac{[I]}{K_2}$$

(Li — растворимость, $\text{ПР} = 1,52 \cdot 10^{-11}$, c — избыток $\text{Co}(\text{CH}_3\text{COO})_2$, s — избыток R^-). Практически растворимость определяли по формулям:

$$\text{ПР} = \frac{4 [\text{Co}^{2+}]^3}{q^2}; \quad \text{ПР} = \frac{[\text{R}^-]^3}{2 q^2}; \quad \text{ПР} = \frac{[\text{Co}^{2+}] [\text{R}^-]^2}{q^2}.$$

Полученные результаты приведены в таблице 2 и выражены диаграммой состав-свойство. Состав — объемное соотношение между $\text{Co}(\text{CH}_3\text{COO})_2$ и NaR ; свойство — отрицательный логарифм растворимости (рис. 1). Из таблицы 2 и рисунка видно, что по теоретическим расчетам при увеличении концентрации R^- растворимость осадка уменьшается, а с увеличением концентрации Co^{2+} — сначала уменьшается, а затем становится почти постоянной. По экспериментальным расчетам, при увеличении концентрации лиганды растворимость уменьшается, а с увеличением концентрации Co^{2+} — сначала уменьшается, а затем увеличивается. Это указывает, что в соединение входит не более двух молекул сульфанилазина, а при избытке Co^{2+} возможно, образуется ион CoR^+ .

Институт физической и органической химии им. П. Г. Меликяниди АН ГССР

Поступило 20.X.1977

З. Акопянцян, А. Овакимян, А. Арутюнян

Армянское химико-технологическое училище
1978 г. №197000 883265

Л. Г. Г. № 2

Коэффициент растворимости $\text{CoR}_2 \cdot 2\text{H}_2\text{O}$ в зависимости от концентрации R^- и Co^{2+} определен в пределах 0,05–0,25 М. Коэффициент растворимости $\text{CoR}_2 \cdot 2\text{H}_2\text{O}$ в воде при температуре 25°C равен 1,52·10⁻¹¹. Константа равновесия для образования комплекса CoR^+ равна 1,52·10¹¹.

Методом потенциометрического титрования определено, что константа равновесия для образования комплекса CoR^+ равна 1,52·10¹¹. Константа равновесия для образования комплекса $\text{CoR}_2 \cdot 2\text{H}_2\text{O}$ в воде при температуре 25°C равна 1,52·10⁻¹¹.

SOLUBILITY PRODUCT FOR COBALT SULPHAPYRIDAZINATE AND THE EFFECT OF THE COMMON IONS ON ITS SOLUBILITY

Summary

The solubility method was used to determine the solubility product of an intracomplex compound practically insoluble in water namely, cobalt sulphapyridazinate with the formula $\text{CoR}_2 \cdot 2\text{H}_2\text{O}$. Solubility was studied in hydrochloric acid solutions of different concentration (within the range $2.5 \cdot 10^{-2} \div 2.5 \cdot 10^{-5}\text{M}$) at 25°C . The value of the stability product for cobalt sulphapyridazinate was calculated by formulas suggested by I. M. Korenman. It was $1.52 \cdot 10^{-11}$.

The effect of an excess of the common ions Co^{2+} and R^- (R^- is a deprotonated molecule of sulphapyridazine) on $\text{CoR}_2 \cdot 2\text{H}_2\text{O}$ solubility was also studied using the method of isomolar series of solutions. Solubilities were calculated theoretically and by the experimental values for the metal and the ligand. It was established that according to theoretical calculations at an increase of R^- concentration the precipitate solubility decreases, while at an increase of Co^{2+} concentration at first it decreases and then becomes almost constant. According to the experimental calculations when ligand concentration increases solubility decreases and with Co^{2+} concentration increase at first it decreases and then increases, the fact explained by CoR^+ ion formation.

ლიტერატურა — REFERENCES

- Цкитишвили М. Г., Гогоришвили П. В., Чрелашвили М. В., Швелашивили А. Е. Изв. АН ГССР, серия химическая, 5, 1, 13 (1979).
- Жаровский Ф. Г. Тр. комиссии по анал. химии, 3, (VI), 101 (1951).
- Коренман И. М., Соколов Д. Н. Тр. по химии и химической технологии, Горький, вып. 3, 530 (1959).
- Эпик П. А. ЖПХ, 13, 2, 6 (1940).

УДК 543.546

В. Д. ЭРИСТАВИ, АЗЗА АЗИЗ МУХАМЕД

ОТДЕЛЕНИЕ БЕРИЛЛИЯ ОТ РЯДА СОПУТСТВУЮЩИХ ЭЛЕМЕНТОВ НА АНИОНИТАХ В ОКСАЛАТНОЙ ФОРМЕ

Определение микроконцентраций бериллия в анализируемых объектах осуществляется главным образом фотометрическими методами [1, 2]. Однако основным условием, при котором их можно применять, является предварительное отделение бериллия от сопутствующих элементов, мешающих его определению.

Для отделения бериллия от сопутствующих элементов нами была рассмотрена возможность использования оксалатных форм отечественных анионитов АВ-16, АВ-17 и АВ-171.

Ранее [3—5] на основании изучения сорбционного поведения бериллия на анионитах, модифицированных оксалат-ионами, был установлен механизм сорбции бериллия на этих сорбентах, а также оптимальные условия сорбции и десорбции бериллия, эффективность применяемых сорбентов и элюентов.

Было установлено [4], что бериллий из оксалатных форм анионитов АВ-16, АВ-17 и АВ-171 растворами гидроокиси аммония не элюируется. Этот факт дал возможность подобрать условия для отделения бериллия от ряда сопутствующих элементов (Ni, Co, Cu, Cd, Zn), образующих с гидроокисью аммония комплексные аммиакаты.

Таблица 1
Коэффициенты десорбции Ni, Co, Cu, Zn и Cd из оксалатной формы анионита
AB-17 Зн раствором гидроокиси аммония

Элемент	Коэффициент десорбции
Ni	15,0
Co	20,0
Cu	16,0
Zn	17,0
Cd	18,0

В настоящем сообщении приводятся данные, полученные при сравнительном исследовании процессов элюирования Ni, Co, Cu, Zn и Cd из анионитов в $C_2O_4^{2-}$ -форме, а также результаты по разделению модельных смесей, содержащих эти элементы.

Методика исследований была следующей: 25 мл анализируемого раствора (с концентрацией 0,2 мг/мл и $pH=2,5$), содержащего один из изучаемых элементов, пропускали через сорбционную колонку (с диа-

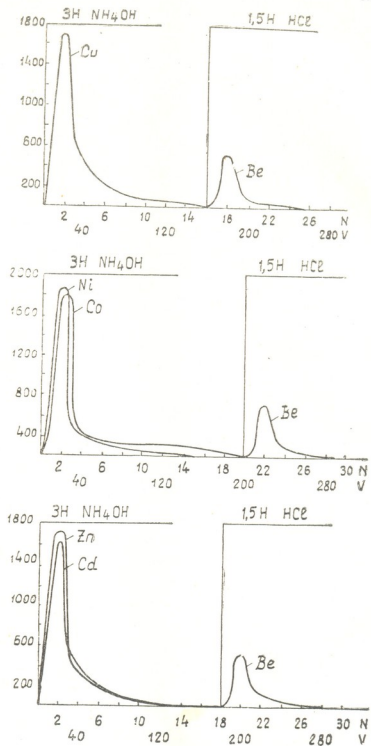


Рис. 1. Отделение бериллия от сопутствующих элементов на анионите AB-17 в $\text{C}_2\text{O}_4^{2-}$ -форме

метром 1,6 см, высотой слоя сорбента 5 см) со скоростью фильтрации 1 мл/мин. После промывания колонки порцией дистиллированной воды (10 мл) через нее со скоростью фильтрации 5 мл/мин пропускали растворы гидроокиси аммония различной концентрации (1; 2 и 3Н растворы). При этом непрерывно отбирали фракции по 10 мл, в каждой из которых определяли количественное содержание анализируемого элемента на атомно-адсорбционном спектрофотометре марки С — 302 [6].

По этим данным строили соответствующие дифференциальные криевые элюирования, по которым рассчитывали коэффициенты десорбции анализируемых элементов с оксалатных форм анионитов.

Таблица 2

Возможные варианты и условия отделения берилля от сопутствующих элементов на анионите АВ—17 в $C_2O_4^{2-}$ -форме

Разделяемые элементы	Объем, концентрация элюента и последовательность элюирования
Be—Ni	150 мл 3 н NH_4OH (Ni)—90 мл 1,5 н HCl (Be)
Be—Co	200 мл 3 н NH_4OH (Co)—90 мл 1,5 н HCl (Be)
Be—Cu	160 мл 3 н NH_4OH (Cu)—90 мл 1,5 н HCl (Be)
Be—Zn	170 мл 3 н NH_4OH (Zn)—90 мл 1,5 н HCl (Be)
Be—Cd	180 мл 3 н NH_4OH (Cd)—90 мл 1,5 н HCl (Be)
Be—Ni,Co,Cu	200 мл 3 н NH_4OH (Ni,Co,Cu)—90 мл 1,5 н HCl (Be)
Be—Cd,Zn	180 мл 3 н NH_4OH (Cd,Zn)—90 мл 1,5 н HCl (Be)

Как показало исследование, наиболее оптимальным элюентом является 3Н раствор NH_4OH . Количественное элюирование Ni, Co, Cu, Zn и Cd растворами гидроокиси аммония происходит лишь с монофункционального анионита АВ-17 в $C_2O_4^{2-}$ -форме. Это, очевидно, связано с тем, что сорбция этих элементов на полифункциональных АВ-16 и АВ-171, содержащих первичные, вторичные и третичные аминогруппы, частично осуществляется за счет образования аминных комплексов непосредственно в фазе ионита, что затрудняет их использование для хроматографических разделений.

Таблица 3

Определение берилля после его отделения от Ni, Co, Cu, Cd и Zn на анионите АВ—17 в $C_2O_4^{2-}$ -форме

№ пробы	Взято, мг						Найдено Be, мг	Относитель- ная ошибка, %
	Be	Ni	Co	Cu	Cd	Zn		
1	1,0	—	—	5,0	—	—	0,96	-4,0
2	1,0	—	—	—	5,0	5,0	0,92	-8,0
3	1,0	5,0	1,0	—	—	—	0,94	-6,0
4	—	5,0	—	5,0	—	—	0,00	0,0

Сопоставление данных по десорбции берилля с оксалатных форм анионитов [4, 5] с данными по десорбции Ni, Co, Cu, Zn и Cd раст-



ворами гидроокиси аммония (см. табл. 1) позволило установить условия отделения бериллия от этих элементов.

Возможные варианты разделения ионов металлов, а также используемые для этих целей элюенты и последовательность элюирования приведены в таблице 2.

Результаты проверки ряда разделений на модельных смесях приведены в таблице 3 и на рис. 1, где С — содержание десорбируемых элементов во фракциях элюата, мг/10 мл; № — номера фракций элюата; V — объем элюата, мл.

Количество и соотношение отделяемых элементов может быть иным, однако их суммарное весовое количество не должно превышать 10—15 мг.

Как видно из приведенных результатов отделения бериллия от Ni, Co, Cu, Zn и Cd, применение разработанных хроматографических методик в практике химического анализа перспективно.

Грузинский политехнический институт
им. В. И. Ленина

Поступило 16.XI.1977

3, ერისთავი, აზა აზიზ შუკავაძე

გვრილიანი დაცლება თანხმები ელექტროდისაგან
ორსალატრან ცორის ანიონიტოზი

რეზიუმე

ანიონიტების AB—16, AB—17 და AB—171 ოქსალატურ ფორმებზე დანამიურ პირობებში შესწავლილი ნიკელის (II), კობალტის (II), სპილენდის (II), თუთიის (II) და კადმიუმის (II) დესორბცია.

ელუენტებად გამოყენებულია ამონიუმის ჰიდროჟანგის სხვადასხვა კონკრეტურაციის ხსნარები.

დაღვენილია ზემოჩამოვლილი ელემენტების დესორბციის ოპტიმალურა პირობები და სორტერტად ანიონიტ AB—17 $C_2O_4^{2-}$ -ფორმის გამოყენების ეფექტურობა.

ანიონიტთა AB—16, AB—17 და AB—171 ოქსალატურ ფორმებზე ბერილიუმის დესორბციის მონაცემების შედარებით იმავე პირობებში ნიკელის (II), კობალტის (II), სპილენდის (II), თუთიის (II) და კადმიუმის (II) დესორბციის მონაცემებთან შერჩეულია ბერილიუმის სხვა ელემენტებისაგან დაცილების პირობები ანიონიტ AB—17-ის $C_2O_4^{2-}$ -ფორმაზე, რაც მიღწეულია ელემენტთა თანდათანობითი ელუირებით 3 ნ ამონიუმის ჰიდროჟანგისა და 1,5 ნ მარილეჟას ხსნარებით.

ბერილიუმის თანმხლები ელემენტებისაგან დაცილების მეთოდიების შემოწმებით მოდელურ ხსნარებზე ნაჩვენებია ამ მეთოდიების პერსპექტიულობა ქიმიურ ანალიზში.

SEPARATION OF BERYLLIUM FROM A NUMBER OF ATTENDANT ELEMENTS ON ANIONITES IN OXALATE FORM

Summary

Desorption of nickel (II), cobalt (II), copper (II), zinc (II) and cadmium with anionites AB-16, AB-17 and AB-171 modified by oxalate ion was studied under dynamical conditions.

Solutions of ammonium hydroxide with different concentrations were used as eluents.

The obtained results permitted to establish optimum conditions of the listed above element desorption and the efficiency of the use of anionite AB-17 in $C_2O_4^{2-}$ -form as a sorbent.

The comparison of the data on beryllium desorption with oxalate forms of anionites AB-16, AB-17 and AB-171 in $C_2O_4^{2-}$ -form with those on desorption of nickel (II), cobalt (II), copper (II), zinc (II) and cadmium (II), with the same sorbents allowed to choose conditions for beryllium separation from other elements on anionite AB-17 in $C_2O_4^{2-}$ -form by means of the elution sequence for the elements by solutions of 3n ammonium hydroxide and 1.5n hydrochloric acid.

Approbation of the technique of beryllium separation from nickel, cobalt, copper, zinc and cadmium on model mixtures showed that its use seemed promising for the chemical analysis.

ლიტერატურა — REFERENCES

1. Шарло Г. Методы аналитической химии. Изд. „Химия“, Л., 1965.
2. Марченко З. Фотометрическое определение элементов. Изд. «Мир», М., 1971.
3. Эристави В. Д., Азза Азиз Мухаммед, Швелашивили А. Э., Мачадзе Т. Е., Гвахария Т. А. Сообщения АН ГССР, 89, № 1, 85 (1978).
4. Эристави В. Д., Азза Азиз Мухамед. Сообщения АН ГССР, 89, № 3, 585 (1978).
5. Азза Азиз Мухамед, Эристави В. Д. Аннотации XXI республ. и конф. проф. препод. состава ГПИ им. В. И. Ленина и работников производства III том, ГПИ, 77 (1978).
6. Славин В. Атомно-абсорбционная спектроскопия. Изд. „Химия“, Л, 1971.

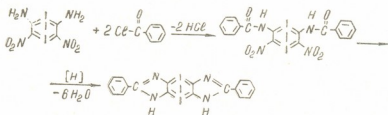
ОРГАНИЧЕСКАЯ ХИМИЯ

УДК 547.785.07:541.67

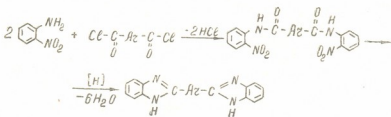
В. В. КОРШАК, И. М. ГВЕРДЦИТЕЛИ, Л. Г. КИПИАНИ, Р. С. ТАБИДЗЕ,
 Т. В. ЛЕКАЕ, Д. С. ТУГУШИ, А. Л. РУСАНОВ

СИНТЕЗ АРОМАТИЧЕСКИХ БИБЕНЗИМИДАЗОЛОВ ПУТЕМ ВОССТАНОВИТЕЛЬНОЙ ГЕТЕРОЦИКЛИЗАЦИИ

Ранее нами был разработан новый метод синтеза полибензимидазолов [1], основанный на реакции восстановительной полигетероциклизации поли[(o-нитро)амидов], предполагающей протекание циклодегидратационных процессов в условиях восстановления (o-нитро)-заместителей и одновременно с ним. В развитие этих исследований нами было предпринято изучение реакций синтеза ряда ароматических бибензимидазолов на основе бис(o-нитроанилинов) и бензоилхлорида:



а также o-нитроанилина и дихлорангидридов ароматических дикарбоновых кислот:



Это исследование было предпринято с целью выбора мономеров, при водящих к получению целевых соединений с максимальными выходами, и, следовательно, наиболее предпочтительных при синтезе полимера, а также с целью изучения основных характеристик бибензимидазолов, необходимых как для идентификации строения полимеров, так и для прогнозирования их свойств.

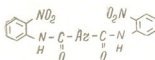
В качестве бис(o-нитроанилинов) использовались 1,3-диамино-4,6-динитробензол, 3,3'-динитробензидин, 3,3'-динитро-4,4'-диаминодифенилоксид и 3,3'-динитро-4,4'-диаминоdifенилметан, а в качестве дихлорангидридов — соответствующие производные изофталевой, тереф-

талевой, 4,4'-дифенилдикарбоновой и 4,4'-дифенилоксидикарбоновой кислот.

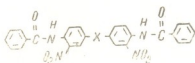
Все реакции синтеза бибензимидазолов были осуществлены в условиях синтеза полимеров [1] — взаимодействием исходных соединений в среде N-метил-2-пирролидона (N-МП) с последующими насыщением растворов сухим HCl, введением восстановленного железа и нагреванием реакционных смесей в токе HCl и инертного газа при 160—180°C. Строение промежуточных продуктов — бис(о-нитроамидов) — и целевых бибензимидазолов было подтверждено данными элементного (табл. 1) и ИК-спектрального анализов.

Таблица 1

Основные характеристики бис(о-нитроамидов)



№	Ar	T. пл. °C	Брутто- формула	Элементный анализ						Вы- ход, %	
				Вычислено, %			Найдено, %				
				C	H	N	C	H	N		
I		220—221	C ₁₂ H ₁₄ N ₄ O ₆	59,1	3,5	13,8	59,2	3,6	13,8	93	
II		274—275	C ₁₄ H ₁₆ N ₄ O ₆	59,1	3,5	13,8	59,5	3,9	13,7	92	
III		320—321	C ₁₆ H ₁₅ N ₄ O ₆	64,7	3,8	11,6	64,2	3,6	11,3	88	
IV		199—200	C ₂₆ H ₁₈ N ₆ O ₇	62,6	3,6	11,2	62,9	3,4	10,9	85	



№	X	T. пл. °C	Брутто- формула	Элементный анализ						Вы- ход, %	
				Вычислено, %			Найдено, %				
				C	H	N	C	H	N		
V	—O—	225—227	C ₂₆ H ₁₈ N ₄ O ₇	62,6	3,6	11,2	62,6	3,6	11,2	83	
VI	—CH ₂ —	234—235	C ₂₅ H ₂₀ N ₄ O ₆	65,3	4,1	11,3	64,8	4,2	11,7	76	

В ИК-спектрах бис(о-нитроамидов) на основе о-нитроанилина в всех использованных дихлорангидридах дикарбоновых кислот содержатся максимумы поглощения в областях 1350, 1530 см⁻¹ (NO₂), 1690 см⁻¹ (CO амида, содержащего электроноакцепторные заместители) и 3350 см⁻¹ (NH амида) [2]. Эти результаты в сочетании с удовлетворительными данными элементного анализа и высокими выходами соединений (табл. 1) свидетельствуют о возможности успешного применения всех использованных дихлорангидридов в синтезе полимеров.

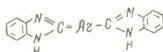
Исследование продуктов взаимодействия бис(о-нитроанилинов) с бензоилхлоридом показало, что на основе 3,3'-динитро-4,4'-диаминодифенилоксида и 3,3'-динитро-4,4'-диаминодифенилметана с высокими выходами (табл. 1) получаются бис(о-нитроамиды), строение которых подтверждается данными как элементного (табл. 1), так и ИК-спектрального анализов. В то же время, на основе 1,3-диамино-4,6-динитробензола и 3,3'-динитрогенцидина были получены продукты бензоилирования, являющиеся, судя по данным элементного анализа и ИК-спектральным данным, монозамещенными соединениями. В частности, в ИК-спектрах этих соединений наряду с максимумами поглощения, характерными для бис(о-нитроамидов), присутствуют максимумы поглощения в области 3440—3470 см⁻¹, характерные для групп NH₂ в исходных бис(о-нитроанилинах). Полученный результат не является неожиданным, поскольку известно, что незамещенные аналоги рассматриваемых двухъядерных диаминов располагаются (как по первым, так и по вторым константам ионизации) в ряд [3, 4]:



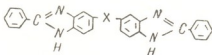
а м-фенилендиамин значительно уступает двухъядерным диаминам по второй константе ионизации [5]. Введение о-нитрозаместителей в двухъядерные диамины не должно приводить к изменению их ряда основности, а введение сразу двух нитрозаместителей в м-фенилендиамин может сопровождаться резким уменьшением как первой, так и второй констант ионизации. На основании полученных результатов можно утверждать, что наиболее подходящими для синтеза полимеров бис(о-нитроанилиниами) являются 3,3'-динитро-4,4'-диаминодифенилоксид и 3,3'-динитро-4,4'-диаминодифенилметан, обладающие наибольшей основностью в ряду использованных бис(о-нитроанилинов).

Строение бибензимидазолов, полученных восстановительной гетероциклизацией бис(о-нитроамидов), было подтверждено данными ИК-спектрального анализа, элементного анализа (табл. 2), а также результатами встречных синтезов — реакций взаимодействия о-фенилендиамина с дифениловыми эфирами изофталевой, терефталевой, 4,4'-дифенилоксидикарбоновой и 4,4'-дифенилдикарбоновой кислот, а также фенилбензоата с 3,3',4,4'-тетрааминодифенилоксидом и 3,3',4,4'-тетрааминофенилметаном, осуществленных в м-крезоле при 200°C с использованием бензойной кислоты в качестве катализатора.

В ИК-спектрах бибензимидазолов, полученных в условиях восстановительной гетероциклизации и встречных синтезов, содержатся максимумы поглощения, в областях 800, 1445, 1595, 1620 см⁻¹, приписываемые бензимидазольному циклу [6], а также размытый максимум поглощения в области 2700—3400 см⁻¹, приписываемый группе NH бензимидазола. Основные характеристики синтезированных бибензимидазолов приведены в табл. 2.



№	Ar	T. пл., °C (лит. т. пл.)	Брутто-формула	Элементный анализ						УФ-спектры, H_2SO_4 $\text{C}=10^{-5}$ M		
				Вычислено, %			Найдено, %			λ_{max}	$\lg \epsilon$	Выход, %
				C	H	N	C	H	N			
VII		311—312 (330—333) [12]	$\text{C}_{26}\text{H}_{18}\text{N}_4$	77,4 4,5	18,1	77,1 4,5	18,2	248	5,30	86		
VIII		456—458 (475—480) [12] (482) [13]	$\text{C}_{26}\text{H}_{18}\text{N}_4$	77,4 4,5	18,1	76,8 4,3	17,4	305—325	5,30			
IX		520 (495) [11]	$\text{C}_{26}\text{H}_{18}\text{N}_4$	80,8 4,7	14,5	81,0 4,6	14,4	350	4,15 4,74			
X		376—377 (495) [11]	$\text{C}_{26}\text{H}_{18}\text{N}_4$	77,6 4,6	13,9	77,8 4,5	13,6			74		
											78	



№	X	T. пл., °C (лит. т. пл.)	Брутто-формула	Элементный анализ						УФ-спектры, H_2SO_4 $\text{C}=10^{-5}$ M		
				Вычислено, %			Найдено, %			λ_{max}	$\lg \epsilon$	Вы- ход, %
				C	H	N	C	H	N			
XI	—O—	276—277	$\text{C}_{16}\text{H}_{18}\text{N}_4\text{O}$	77,6 4,6	13,9	76,8 4,7	13,4	256 312	4,70 4,82	78		
XII	—CH ₂ —	318—319	$\text{C}_{27}\text{H}_{20}\text{N}_4$	81,0 5,0	14,0	81,5 5,0	13,3	257 311	4,96 5,00	73		

УФ-спектры сняты в H_2SO_4 при $\text{C}=10^{-5}$ моль/л.

1,3-Диамино-4,6-динитробензол был получен и очищен согласно [7]. Т. пл. 306°C; лит. т. пл. > 300°C [7].

3,3'-Динитробензидин был получен согласно [8] и очищен перекристаллизацией из диметилформамида. Т. пл. 280—283°C; по лит. дан-ным т. пл. неперекристаллизованного продукта 260—275°C [8].

3,3'-Динитро-4,4'-диаминодифенилоксид был получен согласно [9] и очищен перекристаллизацией из этанола. Т. пл. 178,5—179,5°C, лит. т. пл. 176—177°C [9].



3,3'-Динитро-4,4'-диаминодифенилметан был получен и очищен согласно [10]. Т. пл. 230—231°C; лит. т. пл. 228—230°C [10]. 3,3',4,4'-Тетрааминодифенилоксид был получен согласно [9] и очищен возгонкой. Т. пл. 149—150°C; лит. т. пл. 150—151°C [9].

3,3',4,4'-Тетрааминодифенилметан был получен согласно [10] и очищен перекристаллизацией из обескислороженной воды. Т. пл. 138—139°C; лит. т. пл. 139—140°C [10].

Дихлорангидриды и дифениловые эфиры ароматических дикарбоновых кислот были получены и очищены в соответствии с [11].

Синтез бибензимидазолов восстановительной гетероциклизацией был осуществлен в соответствии со следующей методикой: к раствору 0,01 моля бис(о-нитроанилина) [0,02 моля о-нитроанилина] в 20 мл свежеперегнанного N-метил-2-пирролидона при перемешивании в токе аргона прибавляли 0,02 моля бензоилхлорида [0,01 моля дихлорангидрида ароматической дикарбоновой кислоты]. Реакционную смесь перемешивали при 25°C в течение 10 час. Продукты реакции взаимодействия бис(о-нитроанилинов) с бензоилхлоридом, а также дихлорангидридов изофталевой и 4,4'-дифенилоксиддикарбоновой кислот с о-нитроанилином образуют гомогенные растворы; бис(о-нитроамиды) на основе дихлорангидридов терефталевой и 4,4'-дифенилдикарбоновой кислот выделяются из реакционных растворов. Для выделения диаминов полученные реакционные растворы (смеси) переносили в 200 мл дистиллированной воды, выделившиеся желтые порошкообразные продукты отфильтровывали и очищали перекристаллизацией из диметилформамида, или смеси диметилформамида с водой. Для получения бибензимидазолов через реакционные смеси в течение 1 часа пропускали сухой HCl, затем прибавляли двойное по сравнению с расчетным количеством восстановленного железа, после чего повышали температуру до 160—180°C и в токе аргона и сухого HCl перемешивали смесь в течение 1 часа. Полученные темные гомогенные растворы охлаждали до 100°C, отфильтровывали через стеклянный фильтр, а фильтрат выливали в 200 мл дистиллированной воды. Выделившиеся бибензимидазолы очищали сублимацией.

Встречный синтез бибензимидазолов был осуществлен в соответствии со следующей методикой: к смеси 0,01 моля бис(о-фенилendiамина), 0,02 моля фенилбензоата (или 0,02 моля о-фенилendiамина, 0,01 моля дифенилового эфира дикарбоновой кислоты) и 0,02 моля бензойной кислоты прибавляли 25 мл м-крезола. Реакционные смеси нагревали в токе аргона до 180—200°C и перемешивали при этой температуре в течение 10 часов. Полученные темные гомогенные растворы охлаждали и высаживали в 200 мл 10%-ного раствора KOH. Выделившиеся продукты отфильтровывали и очищали сублимацией.

Тбилисский государственный
университет

Поступило 10.I.1978

З. ՋՐԱՔԱՅՈ, Ռ. ՑԱՐԵՎՈՂՈՅՈ, Է. ԿՈՎՈԱՅՈ, Գ. ԾԱՑՈՒՅՈ,
Յ. ՄԱՆՈՅՈ, Վ. ԾԱՂՄԱՅՈ, Է. ԽԵՎԱՅՈՅՅՈ

ՖԻզիկական գույքագործության և մետաքսի պահանջանառ
աշխարհական լուսաբօն ստուգությունը

Հ Յ Ց Ո Յ Յ

Հռցանություն Հայաստանի Հանրապետության նախարարության վեհականության մեջ՝
Հայաստանի Հանրապետության պահանջանառ աշխարհական լուսաբօն ստուգությունը



ნისა — არომატულ დიკარბონილეაცების დიქლორანპილრიდებთან სინთეზი განვიხილავთ განვიხილავთ განვიხილავთ

ლია არომატული ბიბენზიმიდაზოლები. ბის-(ო-ნიტროანილინებად) გამოყენებული იყო 1,3-დიამინ-4,6-დინიტრო-ბენზოლი, 3,3'-დინიტრობენზილინი, 3,3'-დინიტრო-4,4'-დიამინოდაფენილოქსი-დი და 3,3'-დინიტრო-4,4'-დიამინოდიფენილმეთანი, ხოლო დიქლორანპილრი-დებად — ონიფრალის, ორეუფრალის, 4,4'-დიკარბოქსილიფენილისა და 4,4'-დიკარბოქსილიფენილქსილის შეკვეთის შესაბამისი წარმოებულები.

ბიბენზიმიდაზოლების სინთეზი განხორციელებულია საწყისი ნაერთების ურთიერთქმედებით და ალტემპერატურული კონდენსაციის პირობებში N-მე-თოლ-2-პიროლიდონის არეში და წარმოქმნილი ბის-(ო-ნიტროამილდების) ალდე-ნით ციკლოზაციით აღდგენილი რეანისა და ქლორწყალბადის თანაობისას 160°C-ზე.

მიღებული ბიბენზიმიდაზოლების აგებულება შესწავლილია კვლევის ფიზიკურ-ქიმიური მეთოდებით და შემხვედით სინთეზით.

დადგენილია, რომ ბიბენზიმიდაზოლების მისაღებად გამოყენებული დიკარბონმეცების ქლორანპილრიდებიან ცუელა მათგანი გამოიყენება პოლიბენ-ზიმიდაზოლების სინთეზისათვის, ხოლო ბის-(ო-ნიტროანილინებიდან) მაღალი ცურქეთვისებების მქონე ნაერთები — 3,3'-დინიტრო-4,4'-დიამინოდაფენილო-ქსილი და 3,3'-დინიტრო-4,4'-დიამინოდიფენილმეთანი.

V. V. KORSHAK, I. M. GVERDTSITELI, L. G. KIPIANI, R. S. TABIDZE,
T. V. LEKAE, D. S. TUGUSHI, A. L. RUSANOV

7
76337
7

SYNTHESIS OF AROMATIC BIBENZIMIDAZOLES BY MEANS OF REDUCING HETEROCYCLING

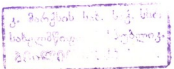
Summary

The method of reducing heterocycling was used to synthesize aromatic bibenzimidazoles on the base of bis-(o-nitro anilines) and benzoyl chloride and also o-nitro aniline and dichlor-anhydrides of aromatic dicarboxylic acids.

The synthesis of bibenzimidazoles was carried out by means of an interaction of the original compounds under the conditions of low temperature polycondensation in the medium N-methyl-2-pyrrolidone with the following reducing heterocycling of the obtained bis-(o-nitroamides) by the reduced iron in the presence of hydrogen chloride at the temperature 160°C.

Studies of the conditions for bis-(o-nitroamides) synthesis show that it is possible to use successfully all studied dichloranhydrides in the synthesis of polyamides with o-nitro substituents, while in the series of the used bis-(o-nitroanilines) the best ones for polymer synthesis are 3,3'-dinitro-4,4'-diamino diphenyloxide and 3,3'-dinitro-4,4'-diamino diphenyl methane which have highest basicity.

The structure of bibenzimidazoles obtained by reducing heterocycling bis-(o-nitroamides) was confirmed by the data of IR-spectral analysis, element analysis and also by the results of oncoming synthesis.





Ф06060606 — ЛИТЕРАТУРА — REFERENCES

ЗАПИСЬ ПОДГОТОВЛЕНА

1. Коршак В. В., Русанов А. Л., Гвердцители И. М., Кипиани Л. Г., Берлин А. М., Тугуши Д. С., Лекаев Т. В. ДАН СССР, 237, 1370 (1977).
2. Беллами Л. Инфракрасные спектры сложных молекул. Изд. «ИЛ», 1963.
3. Королев Б. А., Геращенко З. В., Выгодский Я. С. Сб. Реакционная способность органических соединений. Тартуский Гос. университет, Тарту, 8 вып., 681 (1971).
4. Балатинская Л. Н., Мильяев Ю. Ф., Коршак В. В., Русанов А. Л., Берлин А. М., Кереселидзе М. К., Табидзе Р. С. ДАН СССР, 238, 862 (1978).
5. Tagle L. H., Neira G. F., Diaz F. R., Ramirez R. S. J. Polymer Sci. Polymer Chem. Ed., 13, 2827 (1975).
6. Физические методы в химии гетероциклических соединений. Под ред. А. Катрицкого, Изд. «Химия», М., 1966.
7. Nietzki R., Schedler A. Ber., 30, 1666 (1897).¹
8. Кузнецов В. И., Савчин С. Б. ЖПХ, 32 (10), 2329 (1959).
9. Stille J. K. Williamson J. R., Aglold F. E. J. Polymer Sci., A3, 1013 (1964).
10. Meuer J., Rohm M. Ber., 33, 250 (1900).
11. Брилл У., Бейкер Ж. Ароматические дикарбоновые кислоты, их эфиры и хлорангидриды. Глава 6 в книге «Мономеры для поликонденсации». Под ред. Дж. К. Стилла и Т. В. Кэмпбела. Изд. «Мир», М., 1976.
12. Vogel H., Marvel C. S., J. Polymer Sci., A1, 1531 (1963).
13. Gaudiana R. A., Conley R. T. J. Polymer Sci., B7, 793 (1969).
14. Chattardjee S., Wolski J. J. Indian Chem. Soc., 43, 660 (1966).

ФИЗИЧЕСКАЯ ХИМИЯ

В. ШИРМЕР, Х. ТАММ, У. ЛОЗЕ, Х. ШТАХ

СТРУКТУРА И АДСОРБЦИОННЫЕ СВОЙСТВА ВЫСОКО- ДЕАЛЮМИНИРОВАННОГО ЦЕОЛИТА ТИПА Y

Для применения цеолита в качестве молекулярного сита большое значение наряду с геометрическими параметрами структуры имеют энергетические свойства адсорбента, которые в основном определяются отношением кремния к алюминию, родом, концентрацией и расположением катионов. Для проверки предположений о взаимодействии адсорбат — адсорбент и для упрощения теоретической трактовки явления адсорбции на цеолитах, мы поставили перед собой задачу синтезировать цеолит с фоказитовой структурой, который содержит как можно меньше алюминия — вследствие этого и меньше катионов — и в благоприятнейшем случае представляет собой молекулярное сито, построенное только из SiO_4 — тетраздров.

Исходным продуктом для синтеза был промышленный цеолит типа NaY. Процесс dealюминирования являлся комбинацией метода Макданиела и Махера [1] по получению ультрастабильных цеолитов и метода Керра [2] по экстрагированию алюминия. Синтез описан в работе [3]. Таблица 1 содержит составы элементарных ячеек цеолита NaY, промежуточного продукта синтеза US(W) (он соответствует известному из литературы ультрастабильному цеолиту) и конечного цеолита US-Ex (US-ультрастабильный, Ex-экстрагированный). Состав элементарной ячейки для US-Ex рассчитан из предположения, что после dealюминирования все бывшие алюминиевые решеточные места заняты кремнием. Промежуточный цеолит US(W) наряду с решеточным алюминием еще содержит так называемый экстра-алюминий [3], который произвольно нами обозначен Al_2O_3 .

Таблица 1

Образец	Образцы	Состав элементарной ячейки
NaY		$\text{Na}_{34}[(\text{AlO}_2)_{57} \cdot (\text{SiO}_2)_{35}]$
US (W)		$\text{Na}_{6 \cdot 7}[(\text{AlO}_2)_7 \cdot (\text{SiO}_2)_{185}] \cdot 25\text{Al}_2\text{O}_3$
US-Ex		$\text{Na}_{6 \cdot 7}[(\text{AlO}_2)_{(1-5)} \cdot (\text{SiO}_2)_{(191-187)}]$

Из таблицы видно, что в US-Ex содержание натрия по сравнению с цеолитом NaY снижено почти на два порядка, а содержание алюминия на порядок. Это сильное воздействие на структуру, и возникает вопрос, в какой мере при синтезе сохраняется исходная структура. Для выяснения этой проблемы мы применили разные физические методы. Самыми ценными для этой цели явились рентгеновские исследования [4]. Они показали, что линии рентгеновских диаграмм типа



Гиные цеолита US-Ex не показывают расширения по сравнению с исходным цеолитом. Это говорит о том, что деалюминированный цеолит не содержит значительной части аморфной фазы. Константа решетки составляет $24,256 \pm 0,007$ Å. Она хорошо совпадает с той же величиной, которую можно оценить из литературных данных для цеолитов типа Y с разными отношениями алюминия к кремнию, экстраполируя содержание алюминия к нулю [5].

Таблица 2

Оккупация, позиция и термические параметры для US-Ex
(в скобках—оцененные стандартные отклонения)

Атом	Позиция	Фактор оккупации	Число на эл. яч.	Координаты			B (Å ²)
				X	Y	Z	
T(Si,Al)	192i	1,01(2)	194 (4)	-0,0540(5)	0,1256(5)	0,0365(5)	3,5 (4)
0 (1)	90a	0,92(4)	89 (4)	0	0,1065(14)	-0,1065(14)	1,2 (9)
0 (2)	90g	1,00(4)	86 (4)	-0,0055(15)	-0,0055(15)	0,1431(12)	2,8 (9)
0 (3)	96	0,99(4)	95 (4)	0,1746(15)	0,1746(15)	-0,0340(12)	2,3 (9)
0 (4)	90g	1,00(4)	96 (4)	0,1802(14)	0,1802(14)	0,3989(12)	2,0 (9)

Таблица 2 содержит полученные из рентгеновских анализов числа оккупации, позиции и термические параметры решеточных атомов. Факторы оккупации близки к единице. Поскольку отклонения в пределах троекратного стандартного отклонения не считаются существенными, можно сказать, что все решеточные места заняты или кремнием или кислородом. Точность определения чисел оккупации допускает максимум 12 незанятых T-мест на элементарную ячейку (1,5 на большую полость).

Атомные расстояния и углы связей для US-Ex приведены в таблице 3. Они близки к тем величинам, которые известны для чистых SiO₄-тетраэдров.

Для дальнейшего выяснения концентрации незанятых структурных мест мы провели ИКС- и ЯМР-исследования по определению содержания OH-групп. Мы обнаружили три типа OH-групп. Одни из них мы приписали решеточным дефектам [6]. При этом мы находимся в согласии с представлениями [2], по которым одно свободное решеточное место окружено четырьмя OH-группами. Сумма всех наблюдаемых нами OH-групп при 60°C составляет $4,8 \pm 0,5$ на большую полость. Из этого можно сделать вывод, что концентрация свободных решеточных мест на большую полость меньше одного.

Все эти данные, по нашему мнению, свидетельствуют о том, что возникающие при синтезе свободные решеточные места в большой степени «заличиваются». Сверх этого, высокая термическая и гидротермическая стабильность молекулярного сита US-Ex [3], которая свойствена всем ультрастабильным цеолитам не согласовывалась бы с представлением о наличии шести незанятых решеточных мест в большой полости. Сам процесс «заличивания» остается еще не окончательно выясненным. Он нуждается в дальнейших исследованиях.

На рис. 1 сопоставлены изотермы и-гексана на цеолитах NaY (а) и US-Ex (б).

Цеолит US-Ex отличается от NaY следующими особенностями: Изотермы менее крутые и смешены в сторону более высоких давлений.

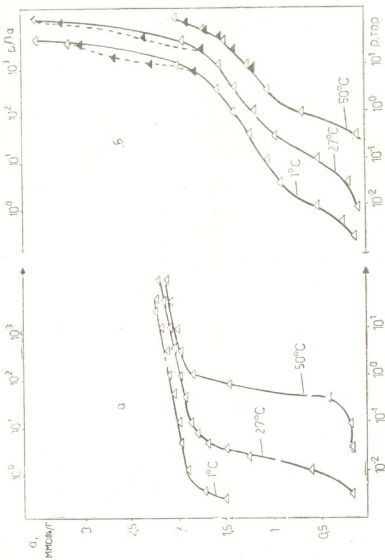


Рис. 1. Изотермы адсорбции н-гексана, а— α -NaY, б— α -US-E₅, черные треугольники — десорбция



В той области где у цеолита NaY достигнуто почти предельное заполнение, у US-Ex наблюдается резкий подъем заполнения, что связано с проявлением капиллярной конденсации. Это явление

Таблица 3
Межатомные расстояния и углы связей для US-Ex

Атомы	Расстояния (Å) Углы (градусы)
T—O(1)	1,62 (3)
T—O(2)	1,61 (4)
T—O(3)	1,62 (4)
T—O(4)	1,59 (4)
Среднее значение	1,61
O(1)—O(2)	2,61 (5)
O(1)—O(3)	2,65 (4)
O(1)—O(4)	2,63 (4)
O(2)—O(3)	2,65 (5)
O(2)—O(4)	2,55 (5)
O(3)—O(4)	2,68 (5)
Среднее значение	2,62
O(1)—T—O(2)	108 (2)
O(1)—T—O(3)	110 (2)
O(1)—T—O(4)	110 (2)
O(2)—T—O(3)	110 (2)
O(2)—T—O(4)	106 (2)
O(3)—T—O(4)	114 (2)
Среднее значение	109

ние говорит о том, что кроме микропористой структуры цеолит US-Ex содержит и вторичную пористую структуру.

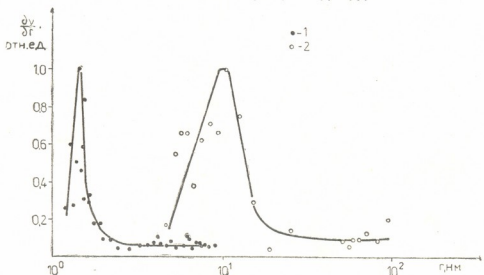


Рис. 2. Вторичная пористая структура молекулярного сита US-Ex: 1—изучение изотерм, 2—порометрические измерения

Для определения объема микропор мы применили уравнение Биннина-Радушкевича в варианте для бипористых систем [7], уравнение БЭТ и, кроме того, провели прямые БЭТ-измерения с азотом. Результаты показывают, что объем микропор на грамм составляет больше 70% объема микропор исходного NaY.

На рис. 2 представлены распределения объема пор по их радиусам в области вторичной пористой структуры. Они получены как из десорбционных ветвей изотерм на US-Ex по формуле Кельвина [8], так и из прямых ртутных порометрических измерений. Полученные относительно узкие максимумы около 2 и 10 нм говорят об определенных структурных превращениях при dealюминировании.

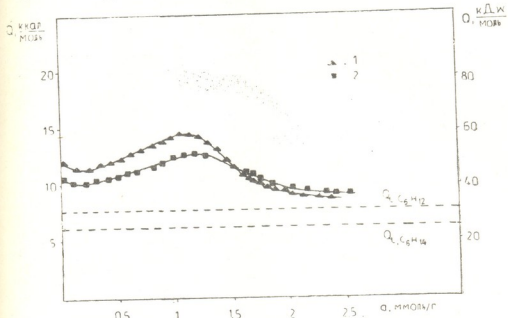


Рис. 3. Дифференциальные теплоты адсорбции при 31°C на US-Ex: 1—н-гексан,
2—циклогексан

Измерены и калориметрические теплоты адсорбции ряда углеводородов. На рис. 3 изображены теплоты адсорбции н-гексана и циклогексана на US-Ex и на рис. 4 теплоты адсорбции бензола на US-Ex в сравнении с теплотой адсорбции бензола на исходном цеолите NaY. Для теплот адсорбции всех исследованных адсорбентов на US-Ex характерны спад теплот адсорбции при самых малых заполнениях ($a < 0,2$ ммоль/г) с ростом заполнения; приблизительно линейный рост теплот адсорбции в последующей области заполнения; широкий максимум при больших заполнениях; медленный спад теплот адсорбции после максимума до теплоты конденсации.

Спад теплот адсорбции в начальной области заполнения, по-видимому, связан с наличием небольшого числа структурных дефектов. Первые молекулы адсорбируются на них. Прекращение этого падения теплоты адсорбции при заполнении около 0,2 ммоль/г ($\sim 0,3$ молекулы на большую полость) соответствует результатам структурных исследований, из которых было найдено число дефектов меньше одного.

Приблизительно линейный рост теплоты адсорбции с заполнением

часто дают углеводороды на цеолитах, содержащих катионы, и это объясняется взаимодействием адсорбат — адсорбат).

Характерно для микропористых адсорбентов, что этот рост распространяется почти до предельного заполнения после чего он переходит в относительно крутой спад до теплоты конденсации. Молекулярное сите US-Ex тоже показывает максимум в теплоте адсорбции. Но в отличие от NaY (рис. 4) максимум появляется при более низких заполнениях. Это явление объясняется неоднородной пористой структурой этого адсорбента. До максимума молекулы предпочтительно адсорбируются в микропорах. Потом следует область заполнения, в которой молекулы адсорбируются как в микропорах, так и во вторичной пористой структуре, которая переходит в область капиллярной конденсации. Начало капиллярной конденсации обозначено на рис. 4 пунктиром.

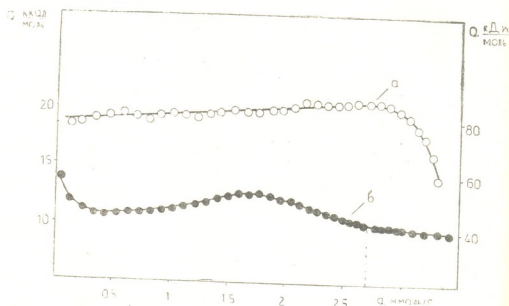


Рис. 4. Дифференциальные теплоты адсорбции бензола при 31°C. а—NaY, б—US-Ex

Кроме структурных характеристик деалюминированного цеолита рисунок 4 также отражает энергетические свойства деалюминированного образца. Теплота адсорбции бензола на US-Ex значительно занижена по сравнению с катионно-содержащим цеолитом. При заполнении 0,6 ммоль/г разница между теплотами адсорбции на US-Ex и NaY составляет 38 кДж/моль. Низкие теплоты адсорбции на US-Ex, очевидно, связаны с отсутствием электрического поля в цеолите US-Ex и следовательно с отсутствием индукционного и специфического взаимодействий.

Отсутствие электростатического поля должно иметь еще большее влияние на адсорбцию малых полярных молекул. На рис. 5 изображены изотермы адсорбции воды на NaY и US-Ex. Они характеризуются следующими признаками.

1. По сравнению с цеолитом NaY, US-Ex адсорбирует воду при более высоких давлениях.

2. Гистерезис наблюдается во всей исследованной области.

Род изотермы соответствует III-ему типу по классификации [8], для которого характерно, что величина теплот адсорбции меньше тем-



лоты конденсации. Подобные изотермы адсорбированной воды приведены в работе [9] на идеалюминированных морденитах. Флэннеген и др. [10] нашли у силикалита (чистое SiO_2 -молекулярное сито, отличающееся от US-Ex по структуре пор) очень слабое взаимодействие с водой.

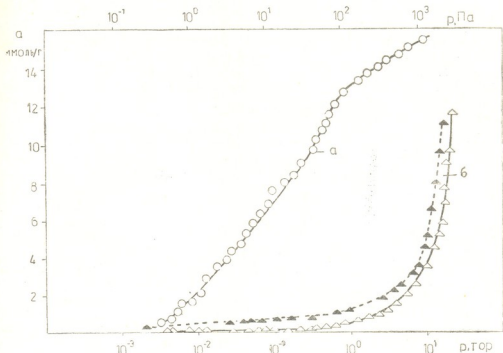


Рис. 5. Изотермы адсорбции воды при 27°C. а— NaY , б— US-Ex , черные треугольники—десорбция

Предельно адсорбированное количество при давлении насыщения составляет приблизительно 10% всего адсорбционного объема. По-видимому молекулярные сита, состоящие из чистого SiO_2 , обладают гидрофобными свойствами. Мы предполагаем, что энергия взаимодействия адсорбента с водой вследствие отсутствия электростатического вклада так заинженена, что адсорбция в микропорах почти не происходит, за исключением небольшой адсорбции на дефектах структуры. Крутой подъем в изотерме воды на US-Ex (рис. 5) мы объясняем капиллярной конденсацией. На силикалите этот подъем отсутствует, поскольку силикалит — чистый микропористый адсорбент.

Центральный институт физической химии
АН ГДР, Берлин

Поступило 17.IV.1979

3. ШОФЕРНО, З. ТАИХ, О. ФОРХО, З. ШАКАЛО

Ученые секретариаты Академии наук ГДР
и Академии наук Германской Демократической Республики

Л. Г. Ч. О. У. М. Г.

NaY центрированное кристаллическое молекулярное сито из SiO_2 -содержащего глиноэпюлята с содержанием Na_2O 99%. SiO_2 -содержащий глиноэпюльт, содержащий 99% SiO_2 -содержащего глиноэпюлята.



სტრუქტურა სინთეზის დროს მომეტებულად შენარჩუნებულია. სტრუქტურული
ლი დაცვეტების რაცხვი დად ღრუში ერთხე ნაკლებია.

დალუმინირებული ცეოლითის ადსორბციულ თვისებათა გამოკვლევა
მიუთითებს ადსორბციულ პროცესზე, როგორც ფოზეიტური მიკროფორმან
სტრუქტურის, ისე მეორადი ფორმანი სტრუქტურის გავლენას.

ადსორბციის კალორიმეტრული სითბოების გაზომვები გვიჩვენებს ამ სი-
დაცვით ალიერ შემცირებას NaY-თან შედარებით მიკროფორმების შევსების
უბანში.

მიკროფორმანი სისტემა ხასიათუდა ჰიდროფიზური თვისებებით.

W. SCHIRMER, KH. TAMM, U. LOHSE, H. SHTACH

STRUCTURE AND ADSORPTION PROPERTIES OF HIGH DEALUMINATED TYPE Y ZEOLITE

Summary

By strong dealumination of a NaY zeolite a molecular sieve consisting to 99% of SiO_2 has been synthesized. The faujasite structure of NaY preserves to a high degree during synthesis. The number of structural defects per cavity is less than one. Investigations of the adsorption properties revealed the existence of a secondary pore structure beside the faujasite micropore structure in the dealuminated zeolite. Calorimetrically determined heats of adsorption in the micropore region are essentially reduced in compare to NaY. The micropore system shows hydrophobic properties.

ЛІТОГРАФІЯ — ЛІТЕРАТУРА — REFERENCES

- McDaniel C. V., Maher P. K. Molecular Sieves, London, 1968, p. 186.
- Kerr G. T. J. Phys. Chem. 72 (1968) 2594.
- Lohse U., Alsdorf E., Shtach H. Z. anorg. allg. Chem., 447 (1978) 64.
- Fichtner-Schmittler H., Lohse U., Richter-Mendau J. J. Catalys., in press.
- Seidel R., Koepenik H., Roschelt W., Fürtig H. III. Katalyse konferenz der DDR, 1974, Bd. I, S. 91.
- Босачек В., Фройде Д., Кретчм'єр Р. Г., Лозе У., Патцелова В., Ширмер В., Штах Г., Тамм Х., Тваружкова З. Адсорбенты, их получение, свойства и применение, Ленинград, 1978, сгр. 35.
- Дубинин М. М. Адсорбция и пористость, Москва, 1972.
- Brunauer St. The Adsorption of Gases and Vapors, Princeton, 1945.
- Chen N. Y. J. Phys. Chem. 80, 60 (1976).
- Flanigen E. M., Bennet J. M., Grose R. W., Cohen J. P., Patton R. L., Kirchner R. M., Smith J. V. Nature, 271, 512 (1978).

УДК 661.183.6:543.544

Т. Г. АНДРОНИКАШВИЛИ, Я. В. МИРСКИЙ, Н. Ф. МЕГЕДЬ,
Ш. Д. САБЕЛАШВИЛИ, Н. А. ОСИПОВА

ХРОМАТОГРАФИЧЕСКОЕ ИССЛЕДОВАНИЕ СВОЙСТВ СИНТЕТИЧЕСКОГО ОФФРЕТИТА

Оффретит по своей структуре близок эриониту. Однако отличие в расположении шестичленных колец в каркасе этого цеолита приводит к образованию более широких каналов (диаметр 6,4 Å), чем у эрионита [1]. В состав синтетического оффретита входят катионы калия и тетраметиламмония, компенсирующие отрицательный заряд алюмокислородных тетраэдров. На элементарную ячейку оффретита приходится 4,3 катиона, из них в наиболее доступных позициях расположены 1,7 катиона, способных легко вступать в реакции ионного обмена [3]. Высказано предположение, что при высоких температурах в реакции обмена могут принять участие и все остальные катионы [4].

Адсорбционные свойства этого типа цеолита сравнительно мало исследованы [2, 5]. Хроматографические же свойства оффретита практически не изучены.

Нами были исследованы адсорбционные свойства оффретитов (как исходных форм, так и обогащенных катионами натрия и цезия) с помощью метода газовой хроматографии.

Оффретит был синтезирован путем кристаллизации щелочного алюмокремнегеля, содержащего несколько катионов, в том числе и органические. Щелочной алюмокремнегель приготавливается путем смешения растворов бромистого тетраметиламмония, алюмината натрия и едкого кали с влажным кремнеземом, осажденным из раствора силиката натрия нитратом аммония. При кристаллизации полученного алюмокремнегеля при 90° (в течение 48 часов) получали цеолит, имеющий по данным рентгенографического анализа структуру оффретита. Кристаллы полученного цеолита в отличие от эрионита имели размер до 1 мк. После прокаливания при 500°C в течение 16 часов в результате разложения иона тетраметиламмония цеолит приобретал специфическую для оффретита адсорбционную емкость по циклогексану 0,11—0,12 см³/г.

Формы, обогащенные катионами натрия, были получены шестикратной обработкой исходной формы оффретита 0,5 н раствором хлористого натрия, а цезийобогащенные формы — однократной обработкой исходной формы 0,2 н раствором хлористого цезия. Обработка велась при комнатной температуре.

Из порошка оффретита готовились гранулы зернением 0,5—1 мм прессованием без добавки связующего и дегидратировались нагреванием при температуре 500°C в течение пяти часов. Следует отметить, что такая активация цеолита должна способствовать полному удалению из каркаса цеолита тетраметиламмония и образованию водородной формы оффретита [3]. Термически дегидратированный



оффретит загружали в U-образную колонку (длина 100 см, диаметр 0,3 см) хроматографа «Цвет-3». В качестве модельной смеси использовалась смесь углеводородных газов C₁—C₄, окиси углерода, кислорода и азота, в качестве газа-носителя—гелий (скорость — 50 мл/мин), детектора — катарометр. Температура нагрева хроматографической колонки изменялась в диапазоне 25—300°C.

Для цеолитов типа оффретита характерна более открытая структура и меньшая заселенность элементарной ячейки катионами, чем у эрионита. Кроме того, в процессе термической активации оффретита имеет место переход этого цеолита в водородную форму. Все это в целом должно оказать влияние на хроматографические свойства этого адсорбента, в частности, вызвать уменьшение удерживаемых объемов исследованных соединений по сравнению с данными, полученными на эрионите [6] (табл. 1).

Таблица 1

Величины удельных удерживаемых объемов углеводородных газов
C₁—C₄, окиси углерода, кислорода и азота на исходной
форме оффретита и эрионита

Соединения	Температура колонки, °С	Величина удельного удерживаемого объема	
		Оффретит	Эрионит
CH ₄	25	25,7	53,0
C ₂ H ₆	80	153,9	304,2
C ₃ H ₈	140	99,8	106,1
C ₄ H ₁₀	200	94,3	170,1
C ₂ H ₄	140	96,7	105,0
C ₃ H ₆	200	93,8	156,6
CO	25	8,5	21,0
O ₂	25	3,4	4,0
N ₂	25	4,7	11,9

Как на оффретите, так и на эрионите окись углерода элюируется ранее метана. Это, по всей вероятности, вызвано присутствием катионов калия в обоих типах цеолитов, так как даже на водородных формах с высокой степенью замещения метан вымывается ранее окись углерода [7] и только на образцах, содержащих катионы калия, рубидия или цезия, имеет место следующая последовательность элюирования: окись углерода — метан [8]. Такое значительное падение удельных удерживаемых объемов исследуемых соединений на оффретите, по-видимому, вызвано декатионированием этого образца. Введение же в структуру оффретита катионов натрия или цезия увеличивает величины удельных удерживаемых объемов вышеуказанных соединений в два и больше раз (табл. 4).

Своеобразие структуры оффретита, тип катионов и их расположение в каркасе цеолита оказывают заметное влияние на характер разделения модельных смесей. Так разделение O₂—N₂ выражено более слабо на оффретите, чем на эрионите (табл. 2).

Однако повышение температуры нагрева колонки почти выравнивает значения коэффициента разделения O₂—N₂ на обоих типах

цеолитов. Что касается разделения $\text{CO}-\text{CH}_4$, а также бинарных смесей, состоящих из предельных углеводородов, то на оффретите они разделяются значительно лучше, чем на эрионите (табл. 3).

Таблица 2
Коэффициент разделения O_2-N_2 на оффретите и эрионите

Температура колонки	Коэффициент разделения (К)	
	Оффретит	Эрионит
25	0,98	3,3
40	0,92	0,98
60	0,77	0,96

Обогащение оффретита катионами натрия и цезия приводит к возрастанию величины удельных удерживаемых объемов как предельных, так и непредельных углеводородов. Причем увеличение удельных удерживаемых объемов азота, окиси углерода, непредельных углеводородов имеет место в последовательности: исходный оффретит-цезиевая форма оффретита-натриевая форма оффретита, а предельных углеводородов в последовательности: исходная форма-натриевая форма-цезиевая форма (табл. 4).

Таблица 3
Коэффициент разделения смесей окиси углерода—метан и предельных углеводородов

Бинарная смесь	Температура колонки	Коэффициент разделения (К)	
		Оффретит	Эрионит
$\text{CO}-\text{CH}_4$	25	5,8	1,8
$\text{CH}_4-\text{C}_2\text{H}_6$	80	7,1	5,3
$\text{C}_2\text{H}_6-\text{C}_3\text{H}_8$	140	3,7	1,5
$\text{C}_3\text{H}_8-\text{C}_4\text{H}_{10}$	220	2,8	1,1

Полученный экспериментальный материал, по-видимому, может быть интерпретирован следующим образом. Так как исходная форма оффретита представляет собой водородную модификацию, то при осуществлении реакции обмена ионы водорода могут быть замещены соответствующими катионами, в нашем случае: Na^+ , Cs^+ . В результате таких реакций обмена получается NaK и CsK форма оффретита. На обеих формах имеет место рост катионной заселенности элементарной ячейки цеолита и, следовательно, увеличение числа центров адсорбционных взаимодействий. В итоге это приводит к возрастанию удельных удерживаемых объемов соединений, характеризующихся наличием π -связей, дипольных и квадрупольных моментов (непредельных углеводородов, азота, окиси углерода) в большей мере на форме с более сосредоточенным электрическим зарядом, то есть на оффретите со сравнительно малыми размерами катионов (NaK), чем на KC_s — форме оффретита. Возрастание удельных удерживаемых объемов предельных углеводородов происходит в большой степени на оффретите,

содержащем более крупные катионы (Cs^+ , K^+), то есть отличающимися способностью к более сильным дисперсионным взаимодействиям.

Тип катиона оказывает влияние и на последовательность элюирования компонентов смеси. Так, на исходной и цезиевой форме оффретита вслед за каждым насыщенным углеводородом вымывается соответствующий ненасыщенный углеводород с таким же числом атомов углерода в молекуле. Образец же, обогащенный катионами натрия, проявляет определенную селективность по отношению к ненасыщенным углеводородам, и имеет место следующая последовательность элюирования компонентов: $C_2H_6-C_2H_4-C_3H_8-C_4H_{10}-C_3H_6$.

Таблица 4
Величины удельных удерживаемых объемов углеводородов
 C_1-C_4 , CO и N_2 на исходной и модифицированных формах оффретита

Соединения	Температура колонки, °C	Исходная форма оффретита	Na-форма оффретита	Cs-форма оффретита
N_2	25	4,7	15,4	13,4
CO	25	8,5	41,2	28,2
C_2H_4	140	96,7	131,9	114,5
C_3H_6	200	93,8	185,0	137,6
CH_4	25	25,7	58,3	61,3
C_2H_6	60	342,2	587,1	761,4
C_3H_8	140	99,8	177,8	195,6
C_4H_{10}	200	94,3	126,5	144,4

Кроме того, все изученные катионообменные формы оффретита могут адсорбировать углеводородные газы C_1-C_4 , вследствие наличия сравнительно широких каналов, в то время как в эрноните, обогащенном катионами K^+ , проявляется стерический эффект этого катиона, и молекула пропана вынуждена диффундировать на «внешней» поверхности адсорбента [6].

Полученные данные еще раз подтверждают значительную роль структурного каркаса цеолита в процессах хроматографического разделения.

Институт физической и органической
химии им. П. Г. Меликишвили

Поступило 20.IX.1977

თ. პეტროვიკავშირი, ი. მისამი, ნ. ვიზენი,
გ. საჩილავილი, ნ. ოსიარვა

სიცოგნიური თვრების თვისებაზე პროცესების დაწესება

რეზიუმე

შესწოვილია თვრების ტიპის ცენტროების ქრომატოგრაფიული თვისებები C_1-C_4 ნატურულადადების, CO, N_2 და O_2 -ის მოდელური ნარევის დაყოფის მაგალითზე.



ნაჩვენებია, რომ ოფრეტიტის საჭყის ფორმაზე, რომელიც ერიონიტის ტ-პიროლიტული პის ცეოლითთან შედარებით უფრო ღია სტრუქტურით და ელემენტალური კომპონენტებით კათონების მცირე რიცხვით ხასიათდება, თვითეული საკვლევი კომპონენტისათვის მიღებულია შეკავების დროთა საქმიანდ დაბალი სიღილეები ერიონიტთან შედრებით.

ოფრეტიტის გამდიდრება Na^+ და Cs^+ -ის კათონებით იწვევს როგორც ნაჯერ, ისე უჯერი ნახშირწყალბადების შეკავებითი მოცულობების გაზრდას. ამასთან ყველაზე მაღალი შეკავებითი მოცულობების სიღილეები უჯერი ნახშირწყალბადების და CO -თვის მიღებულია ნატრიუმის ფორმის ფფრეტიტზე, ნაჯერებისა კი — ცეზიუმის ფორმაზე.

ცეოლიტში შემავალი კათონის ბუნება გავლენას ახდენს ნარევის კომპონენტების ელემენტების რიცხვეც. ოფრეტიტის საჭყის და ცეზიუმის კათონების შემცველ ნიმუშებზე ქრომატოგრაფიული სკეტიდან ყოველი ნაჯერი ნახშირწყალბადის შემდეგ ელუირდება შესაბამისი უჯერი ნახშირწყალბადი: C_2H_6 — C_2H_4 — C_3H_8 — C_3H_6 — C_4H_{10} .

ნატრიუმის კათონებით გამდიდრებული ოფრეტიტი ამჟავნებს გარკვეულ სელექტიურობას C_3H_6 -ის მიმართ, რის შედეგადაც სვეტის ნებისმიერ ტემპერატურაზე ივი ელუირდება ნ- C_4H_{10} -ის შემდეგ.

T. G. ANDRONIKASHVILI, YA. V. MIRSKIY, N. F. MEGED, SH. D.
SABELASHVILI, N. A. OSIPPOVA

CHROMATOGRAPHIC STUDIES OF THE SYNTHETIC OFFRETTITE PROPERTIES

Summary

Chromatographic properties of zeolites of the offretite type were studied. The mixture of hydrocarbon gases C_1 — C_4 , CO , N_2 and O_2 were used as a model mixture.

It was shown that on the original form of offretite, characterized by a more open structure and smaller cation population in an elementary unit than those for erionite, the values of retention time for all studied components were much smaller than those obtained for erionite.

Enrichment of offretite by Na^+ and Cs^+ cations leads to an increase of the values of specific retention volumes both for saturated and unsaturated hydrocarbons. The highest values for retention unsaturated hydrocarbons and CO are obtained with sodium modified form and for saturated hydrocarbons with cesium form.

The nature of the cation entering zeolite composition also affects the sequence of mixture component elution. If the original or cesium form of offretite is used each saturated hydrocarbon is followed by elution of the corresponding unsaturated hydrocarbon with the same number of carbon atoms in the molecule, i. e. the following elution sequence is observed C_2H_6 — C_2H_4 — C_3H_8 — C_3H_6 — C_4H_{10} . A zeolite containing sodium cations shows a definite selectivity with respect to propylene and as a result the molecules of this component are eluted following butane independently on the temperature of chromatographic column heating.

ლიტერატუՐა — ЛИТЕРАТУРА — REFERENCES



1. Б рек Д. Цеолитовые молекулярные сита, изд. «Мир», 1976, с. 88.
2. В аггер Р. М., Г а л а б о в а И. М. Molecular Sieves, Advan. Chem. Series, № 121, American Chemical Society, Washington. D. C. 1973, p. 356.
3. В аггер Р. М., Н а р д и н г Д. А. Separation Science 9 (3), 1974, 196.
4. Ш е р р у H. S., Physical and Chemical Science Research., The Nature of Seawater Dahlem Workshop Report, 1975, 523.
5. А и е л л о R., В а г г е р R. M., I. Arthur, I. S. Kerr, Trans. Far. Soc., 66, 1610, 1970.
6. Ц и ц и ш в и л и Г. В., А и д р о н и к а ш в и л и Т. Г., С а б е л а ш в и л и Ш. Д., О с и п о в а Н. А. Изв. АН Г С С Р, сер. хим., т. 2, № 4, 327 (1976).
7. Ц и ц и ш в и л и Г. В., А и д р о н и к а ш в и л и, Т. Г., С а б е л а ш в и л и Ш. Д., Б е ж а ш в и л и К. А. А д с о р б ционные хроматографические и катализитические свойства цеолитов, Изд. «Мединерб», Тбилиси, 1972.
8. A n d r o n i k a s h v i l i T. G., T s i t s i s h v i l i G. V., S a b e l a s h v i l i Sh. D. Journal of Chromatography, 58, p. 47 (1971).

УДК 541.15

Н. З. ДАЛАКИШВИЛИ, М. В. ПАНЧВИДЗЕ, Е. М. НАНОБАШВИЛИ

РАДИОЛИЗ АРИЛАЛКАНТИОЛОВ

Исследование радиолиза бифункциональных сероорганических соединений представляет большой интерес с точки зрения оценки реакционной способности и определения вклада различных функциональных групп в процессы радиолиза всей молекулы в целом [1, 2].

В этой связи заслуживает внимания изучение радиолитического поведения арилалкантиолов, содержащих фенильную и сульфидрильную группы. С этой целью в работе изучено радиационно-химическое превращение различных арилалкантиолов — фенилметан-, фенилэтан- и фенилпропантиолов в индивидуальном состоянии и органических растворителях. Указанные арилалкантиолы были синтезированы из соответствующих бромпроизводных [3, 4].

Образцы облучались гамма-лучами Co^{60} на установке К-60000 и быстрыми электронами с энергией 5 Мэв на ускорителе У-12. Мощность дозы варьировалась от $1 \cdot 10^{18}$ до $0,5 \cdot 10^{14}$ эв/мл. сек. Изучение процессов радиолиза проведено с применением различных физико-химических методов — электронного парамагнитного резонанса (ЭПР), спектрофотометрии, амперометрического титрования и др.

Согласно данным низкотемпературного радиолиза, спектр ЭПР облученного дозой 1 Мрад фенилметантиола представляет собой синглет шириной 25 Гц и g-фактором 2,01 (рис. 1а), который обусловлен катион-радикалом типа $(\text{C}_6\text{H}_5\text{CH}_2\text{SH})^+$. Помимо этого при низких значениях магнитного поля в спектре наблюдается плечо с g-фактором 2,05, принадлежащее тиильному радикалу ArRS^\bullet [5].

Разогрев облученного образца до 230 К, как и оптическое отбеливание видимым светом ($\lambda \geq 390$ нм) вызывает исчезновение синглета. Оставшийся спектр представляет структуру типичного радикала с анизотропией g-фактора (рис. 1б).

Спектры ЭПР облученных дозой 10 Мрад фенилэтан- и фенилпропантиолов представляют собой тройчатый с расщеплением 45 Гц и соотношением интенсивностей 1:4:1. Каждый компонент тройчатого

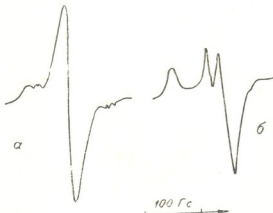


Рис. 1. Спектры ЭПР фенилметантиола, а—Д-1 Мрад, б—после разогрева до 230 К



щеплен на квадруплет (рис. 2). В спектре также наблюдается линия с g-фактором 2,05, указывающая на образование радикала ArC₂H₄S. Триплет квадруплетов обусловлен радикалами циклогексадиенильного типа C₆H₅RSH [6].

Спектры ЭПР облученных бензольных и изооктановых растворов арилалкантиолов имеют сложный вид и включают линии радикалов ArRS, циклогексадиенильного типа, а также линии ПМЧ от растворителей — C₆H₅, R'CH₂, R'CR''.

Данные исследования короткоживущих промежуточных продуктов радиолиза арилалкантиолов методом импульсного радиолиза показывают, что спектр оптического поглощения фенилэтантиола в конце импульса электронов имеет полосу поглощения с максимумом при $\lambda=400$ нм и плечо с максимумом при 430 нм (рис. 3). Поглощение на волне 400 нм обусловлено тиильными радикалами, а при 430 нм — катион-радикалами типа (ArC₂H₄SH)⁺ [7, 8].

В спектре оптического поглощения изооктановых растворов фенилэтантиола в конце импульса также наблюдаются полосы поглощения тиильного и катион-радикалов (400 нм и 430 нм). Наряду с этим в спектре появляется новое поглощение с максимумом при 530—540 нм (рис. 4), принадлежащее сульфоперекисным радикалам ArC₂H₄SO₂ [9].

Таким образом, суммируя полученные данные можно заключить, что первичными продуктами радиолиза арилалкантиолов являются молекулярные катион-радикалы и нейтральные радикалы — тиильные, сульфоперекисные и радикалы циклогексадиенильного типа.

Исследование радиационно-химического превращения арилалкантиолов в зависимости от различных кинетических факторов — концентрации, дозы, природы растворителя и др. показывает, что одним из основных продуктов радиолиза является соответствующий дисульфид ArRSSRAr.

Начальный выход радиационно-химического превращения сульфидрильной группы арилалкантиолов в бензole и изооктане увеличивается с ростом концентрации раствора и достигает значения G[-SH]=10 молек/100 эв для 0,05 М раствора фенилэтантиола в изооктане; выше этой концентрации значение выхода остается постоянным (рис. 5). Следовательно, при этой концентрации происходит полное акцептирование радикальных продуктов растворителя молекулами арилалкантиола.

Данные по влиянию мощности дозы на скорость превращения сульфидрильной группы в арилалкантиолах показывают, что при уменьшении мощности дозы от $1 \cdot 10^{16}$ до $0,5 \cdot 10^{14}$ эв/мл. сек в 0,01 М изооктановом растворе фенилэтантиола G[-SH] увеличивается от 3 до 10 молек/100 эв, соответственно. Надо отметить, что зависимость IgG от IgJ имеет прямолинейный характер, с наклоном 0,25 и 0,16 для



Рис. 2. Спектр ЭПР, облученного дозой 10 Мрад фенилэтантиола

232

Рис. 3. Спектр оптического поглощения фенилэтанола в конце импульса электронов

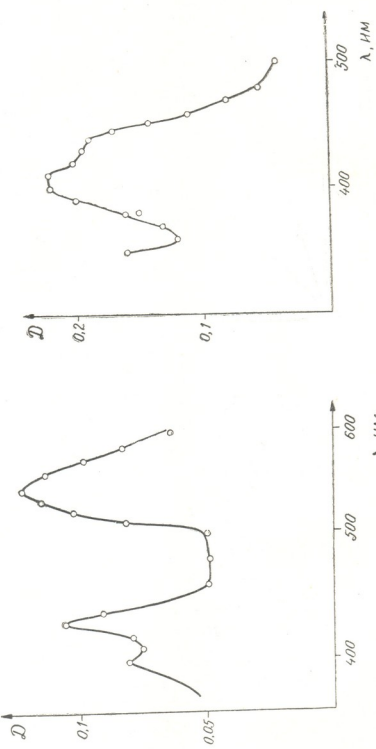


Рис. 4. Спектр оптического поглощения 5%-го изоокта-
нового раствора фенилэтанола в конце импульса



изооктановых и бензольных растворов (рис. 6). Это указывает что гибель образовавшихся радикалов протекает не только в результате рекомбинации, но и другими путями.

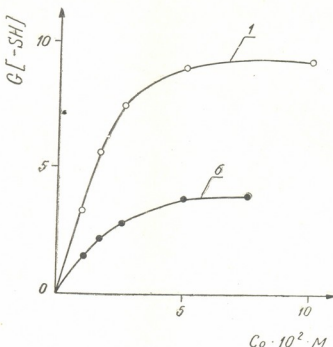
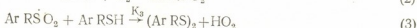
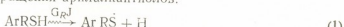


Рис. 5. Зависимость G от концентрации фенилэтантиола. 1—растворы изооктана, 2—растворы бензола

Приведенные данные позволяют предложить механизм радиационно-химического превращения арилалкантиолов:



Скорость превращения сульфидильной группы выражается уравнением:

$$V = G_RJ + K_3 [ArRSO_2] [RS\dot{H}] + K_4 [ArRS\dot{H}] [HO_2] - K_6 [(ArRS)_2] [H]. \quad (7)$$

Дальнейшее преобразование этого уравнения с применением метода стационарных концентраций приводит к выражению:

$$V = K \sqrt{J} \sqrt{[ArRS\dot{H}] [O_2]}, \text{ где } K = 2K_2 \sqrt{\frac{G_RJ}{K_5}} \quad (8)$$

или

$$G[-ArRS\dot{H}] = \frac{K}{\sqrt{J}} \sqrt{[ArRS\dot{H}] [O_2]}. \quad (9)$$



Исходя из уравнения (9), вычислены значения суммарной константы скорости окисления арилалкантинолов, приведенные в таблице 1. Следует отметить, что экспериментальные и рассчитанные значения

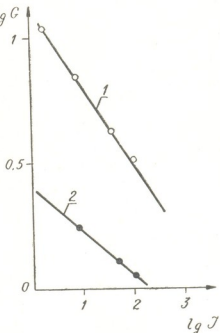


Рис. 6. Зависимость $\lg G$ от $\lg I$ для изооктановых (1) и бензольных (2) растворов фенилэтантиола

радиационно-химического выхода $G[-SH]$ находятся в хорошем согласии друг с другом.

Таблица 1

Значения константы К и радиационно-химического выхода $G[-SH]$, рассчитанные по формуле (8) ($D=1 \cdot 10^6$ Эв/мл. сек. $[O_2]=10$ мл)

Система	СоM	$K_{\text{сек}^{-1}}$	$G_{\text{эксп.}}$	$G_{\text{расч.}}$
$C_6H_5C_2H_4SH - C_8H_{18}$	0,016	$3,6 \cdot 10^{11}$	4,8	4,6
	0,024		6,0	5,6
	0,050		9,0	8,1
	0,1		10,8	11,4
$C_6H_5C_3H_6SH - C_8H_{18}$	0,016	$3,8 \cdot 10^{11}$	5	4,8
	0,024		6	5,9
	0,048		9	8,4
	0,093		10,5	11,5
$C_6H_5CH_2SH - C_6H_6$	0,016	$1,7 \cdot 10^{11}$	2,25	2,15
	0,025		2,75	2,70
	0,051		3,80	3,85
	0,072		4,00	4,50
$C_6H_5C_2H_4SH - C_6H_6$	0,016	$1,2 \cdot 10^{11}$	1,5	1,5
	0,026		2,4	1,8
	0,052		3,0	2,75
	0,070		3,6	3,2

В заключение следует отметить, что исследованные арилалкантионы проявляют защитные свойства от действия излучения, проявляющиеся в существенном уменьшении суммарного выхода радикалов углеводородов в бинарных смесях арилалкантиолов с алканами.

Институт неорганической химии
и электрохимии АН ГССР

Поступило 18.IX.1977

Б. ДАЛАКИШВИЛИ, М. ВАНЧВИДЗЕ, Е. НАНОБАШВИЛИ

АГИЛЛАЛКАНТИОЛЫ ИХ РАСПРОСТРАНЕНИЕ

РУБРИКА

Шესწავლით არილალკანთიოლების — ფენილმეთან-, ფენილეთან-, ფენილპროპანთიოლების რადიოლიზი ლექტრონული პარამეტრის ჩეზონან-სის, სპექტროფოტომეტრისა და სხვა მეთოდებს გამოყენებით.

დაღვენილია, რომ არილალკანთიოლების რადიოლიზის ძირითადი პირველი პროცესებია მოლეკულური კათიონ-რადიკალები, თიოლისა და ციკლოჰექსადიონური ტიპის რადიკალები, აგრეთვე ჰექსანური რადიკალები, რომელთა შემდგომი გარდაქმნა გვაძლევს რადიოლიზის სტაბილურ პროცესს — შესაბამის დამულფიდს.

ნაჩვენებია, რომ არილალკანთიოლების რადიაციული გარდაქმნა მიმდინარებს რადიკალური გზით და მოწოდებულია ამ გარდაქმნის მექანიზმი.

გამოახგარიშებულია გარდაქმნის სიჩქარის კონსტანტები და ნაჩვენებია, რომ რადიაციულ-ქიმიური გამოსავლის ექსპერიმენტული და გამოთვლილი მნიშვნელობანი კარგ თანხვდენაშია ერთმანეთთან.

N. Z. DALAKISHVILI, M. V. PANCHVIDZE, E. M. NANOBASHVILI

RADIOLYSIS OF ARYL ALKANE THIOLS

Summary

Radiolysis of some aryl alkane thiols, phenyl methane-, phenyl ethane- and phenyl propane thiols was studied using SPR, spectrophotometry and some other methods.

It was found that the main primary products of aryl alkane thiol radiolysis were molecular cation-radicals with charge localization on sulphohydryl group, thiol and sulphoperoxide radicals as well as radicals of cyclohexadienyl type, the further reactions of which lead to formation of the main stable radiolysis product, the corresponding disulphide.

It was shown that radiation-chemical conversion of aryl alkane thiols took place in a radical way and the mechanism of this conversion was suggested. The rate constants for sulphohydryl group were calculated and it was shown that the experimental values of radiation-chemical yield were in a good agreement with the calculated ones.

ლიტერატურა — ЛИТЕРАТУРА — REFERENCES

1. Panchvidze M. V., Nanobashvili N. M., Dalakishvili N. Z. Proceedings of the 4-th Tihany Symposium on Radiation Chemistry, Budapest, 227, (1977).
2. Панчвидзе М. В., Нанобашвили Е. М., Далакишвили Н. З. Известия АН ГССР, серия химическая, т. 3, № 4, 365, (1977).
3. Rapp H., Walz U. Ann. der Chem., B., № 1/2, 586 (1954),
4. Вгаил V. Deutsch. Ber., 46, (1914), 1115.
5. Нанобашвили Е. М., Бичиашвили А. Д. Радиолиз сернистых соединений, ч. III, Изд. «Мецнериба», Тбилиси, 72, 1973.
6. Трофимов В. И., Чхенидзе И. И. Кинетика и катализ. 7, 540, (1966).
7. Togikai A., Sawada S., Fueki K. Bull. Chem., Soc. Japan, 43, 1617, (1970).
8. Adam C., Smith E. J. Elliot, Can. J. Chem., 56, № 14, 1856, (1978).
9. Swallow A., Intern. Journ. Rad. Biol. 19, 153, (1970).

з ДК 541.124/128

М. К. АБУЛАДЗЕ, М. А. НАМОРАДЗЕ, З. Г. ДЗОЦЕНИДЗЕ,
М. Д. МУСЕРИДЗЕ, А. Н. БАРАТОВ

ИЗУЧЕНИЕ ГЕТЕРОГЕННОЙ РЕКОМБИНАЦИИ АТОМОВ ВОДОРОДА И КИСЛОРОДА НА ПОВЕРХНОСТИ ХЛОРИДОВ ЩЕЛОЧНЫХ МЕТАЛЛОВ

Гетерогенная рекомбинация атомов играет существенную роль в гетерогенном катализе, в цепных, электрохимических и других практически важных процессах.

Изучение кинетики гетерогенной рекомбинации атомов имеет весьма важное значение для выяснения механизма цепного воспламенения и горения [1—3]. Первостепенное значение приобретают величины констант скорости гибели атомов на твердых поверхностях при проведении теплофизических расчетов взаимодействия летящего тела с окружающей средой [4] в плазмохимии, пожаротушении [5].

Несмотря на важное практическое и теоретическое значение, механизм и кинетика гетерогенной рекомбинации изучены в значительно меньшей степени, чем гомогенной. В связи с этим, целесообразно систематическое изучение кинетики гетерогенной рекомбинации атомов на разных твердых поверхностях. Необходимость выбора широкого диапазона объектов исследования обусловлена тем, что лишь накоплением большого числа экспериментальных данных можно установить общий фактор, влияющий на величину скорости рекомбинации на разных веществах.

Настоящая работа посвящена кинетическому изучению гетерогенной рекомбинации атомов водорода и кислорода на поверхности хлоридов щелочных металлов методом нижнего предела воспламенения. Применяемый метод не осложнен необходимостью измерять концентрацию атомов во время опыта и дает возможность проводить исследования для практически важной области высоких температур [6].

Как известно, на первом пределе механизма воспламенения стехиометрической и богатых водородом смесей описывается совокупностью следующих элементарных стадий [7]:



Значение константы скорости гетерогенной рекомбинации атомов водорода $(k_4)_{\text{гет}}$ определяется из уравнения, полученного на основе схемы и условия воспламенения на первом пределе:

$$\frac{1}{k_4} = \frac{1}{(k_4)_{\text{гет}}} + \frac{1}{(k_4)_{\text{диф}}} = \frac{1}{2k_2 P_{\text{O}_2}} \quad (1)$$

где k_4 — эффективная константа скорости гетерогенной рекомбинации атомов водорода;
 k_2 — константа скорости реакции (2);
 $(k_4)_{\text{диф}}$ — константа скорости диффузии атомов водорода;
 P_{O_2} — парциальное давление кислорода на первом пределе воспламенения водорода.

На первом пределе механизма воспламенения стехиометрической смеси окиси углерода с кислородом, промотированном малыми добавками водорода, описывается совокупностью следующих элементарных стадий [6]:



Величину константы скорости гетерогенной рекомбинации атомов кислорода $(k_5)_{\text{рет}}$ можно рассчитать из значения тангенса угла наклона прямых в координатах $(P_{\text{O}_2})^{\text{CO}}$ от $(P_{\text{H}_2})^{\text{CO}}$ соответственно уравнению:

$$(P_{\text{O}_2})^{\text{CO}} = \frac{k_4}{2k_2} \left\{ 1 + \frac{(k_5)_{\text{рет}} (k_5)_{\text{диф}}}{k_5 (P_{\text{H}_2})^{\text{CO}} [(k_5)_{\text{рет}} + (k_5)_{\text{диф}}]} \right\} \quad (2)$$

где $(P_{\text{O}_2})^{\text{CO}}$ и $(P_{\text{H}_2})^{\text{CO}}$ — парциальные давления кислорода и водорода на первом пределе;

k_3 — константа скорости реакции (3);

$(k_5)_{\text{диф}}$ — константа скорости диффузии атомов кислорода.

Коэффициенты гетерогенной рекомбинации γ как атомов водорода, так и атомов кислорода определяются соотношением [6]:

$$k_{\text{рет}} = \frac{\gamma v}{d}$$

где v — скорость теплового движения атомов;

d — диаметр сосуда, см.

Кинетика рекомбинации атомов водорода и кислорода исследовалась на стенке цилиндрического кварцевого сосуда, покрытого тонкой пленкой солей хлоридов щелочных металлов. Опыты проводились на статической вакуумной установке, описанной в работе [8].

На рис. 1 приведена температурная зависимость первых пределов воспламенения стехиометрической смеси водорода с кислородом в реакторе с различными покрытиями.

Константы скорости гетерогенной рекомбинации атомов водорода определяли из уравнения (1), используя известное из литературы значение k_2 [9]: $k_2 = 2,6 \cdot 10^{-10} \exp(-16600/RT)$ см³/моль. с. Для изученной области температур и давлений величины констант скорости диффузии атомов водорода были рассчитаны на основе кинетической теории газов [10].

Полученные из уравнений (1) и (2) значения констант скорости и коэффициентов гетерогенной рекомбинации атомов водорода приведены в таблице 1. Как видно из таблицы, особой эффективностью отличаются поверхности хлоридов рубидия и цезия — соответствующие

Таблица 1

Значения констант скорости и коэффициентов гетерогенной рекомбинации атомов изотропа

LiCl			NaCl			KCl			CsCl			RbCl		
T, K	$(k_1)_{\text{бр}} \frac{\text{с}}{\text{с}^2}$	$\gamma_s \cdot 10^4$	T, K	$(k_1)_{\text{бр}} \frac{\text{с}}{\text{с}^2}$	$\gamma_s \cdot 10^4$	T, K	$(k_1)_{\text{бр}} \frac{\text{с}}{\text{с}^2}$	$\gamma_s \cdot 10^4$	T, K	$(k_1) \frac{\text{с}}{\text{с}^2}$	$\gamma_s \cdot 10^4$	T, K	$(k_1) \frac{\text{с}}{\text{с}^2}$	$\gamma_s \cdot 10^4$
673	5,6	1,0	693	50	8,6	753	1600	250	780	3,90	>100	733	2450	>100
703	7,0	1,2	713	51	8,7	758	1500	230	800	4,70		753	2500	
733	8,6	1,4	723	54	9,3	763	1400	220	820	5020		773	3820	
753	9,4	1,6	753	60	10,2	788	1200	200	840	6040		793	3960	
773	10,7	1,8	773	67	11,2	808	1500	230	860	7270		813	5190	

этим солям величины коэффициентов рекомбинации настолько высоки, что превышают максимальные значения, определяемые методом нижнего предела воспламенения. Поэтому для этих поверхностей значения коэффициентов гетерогенной рекомбинации оцениваются.

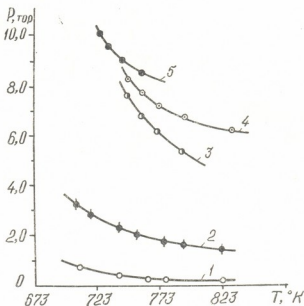


Рис. 1. Температурная зависимость первого предела воспламенения стехиометрической смеси водорода и кислорода для поверхностей. 1—LiCl, 2—NaCl, 3—KCl, 4—RbCl, 5—CsCl

На рис. 2. показаны температурные зависимости первого предела воспламенения стехиометрической смеси окси углерода с кислородом, промотированного малыми добавками (1—3%) водорода, для поверхности хлористого лития и натрия.

Таблица 2
Значения констант скорости и коэффициентов гетерогенной рекомбинации атомов кислорода

LiCl			NaCl		
T, K	K ₅ C ⁻¹	$\gamma_0 \cdot 10^4$	T, K	K ₅ C ⁻¹	$\gamma_0 \cdot 10^4$
743	12,0	8,9	758	11,7	8,5
763	12,5	9,0	768	12,9	8,6
783	12,0	8,9	783	12,2	8,8
808	12,0	8,9	803	12,6	8,9
823	12,5	9,0	813	13,2	9,3

Как показал проведенный расчет, скорость гибели атомов кислорода для поверхностей хлоридов лития и натрия не зависит от коэффициента диффузии, поэтому согласно уравнению (2) в координатах



$(P_{O_2})^{CO}$ от $1/(P_{H_2})^{CO}$ получены прямые линии (рис. 3). Из значений k_3 и констант скорости реакции (3):

$$K_3 = 0,6 \cdot 10^{-10} \exp (-10400/RT) \text{ см}^3/\text{мол.с}$$

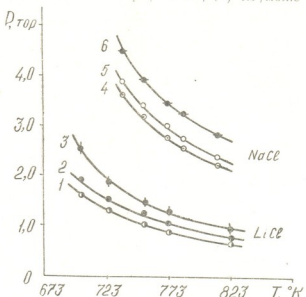


Рис. 2. Температурная зависимость первого предела воспламенения стехиометрической смеси окси углерода и кислорода, промотированного малыми добавками водорода для поверхностей LiCl и NaCl , 1,4— $2\text{CO} + \text{O}_2 + 3,17\% \text{H}_2$; 2,5— $2\text{CO} + \text{O}_2 + 2\% \text{H}_2$; 3,6— $2\text{CO} + \text{O}_2 + 1\% \text{H}_2$

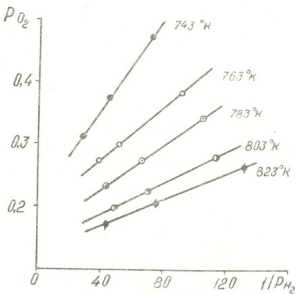


Рис. 3. Зависимость величины P_{O_2} от $1/P_{H_2}$ для поверхности LiCl

были определены константы скорости гетерогенной рекомбинации атомов кислорода. Далее, из уравнения (3) были получены значения ко-

коэффициентов гетерогенной рекомбинации атомов кислорода (табл. 2).

Из полученных данных (таблицы 1 и 2) видно, что с ростом температуры значительно увеличиваются константы скорости и коэффициенты гетерогенной рекомбинации атомов водорода. Между тем, на тех же поверхностях, эти же величины для атомов кислорода почти не зависят от температуры. Установлено, что в изученном интервале температур коэффициенты гетерогенной рекомбинации атомов водорода подчиняются уравнению Аррениуса:

$$\gamma = \gamma_0 \exp(-E_{\text{акт}}/RT)$$

где $E_{\text{акт}}$ — энергия активации гетерогенной рекомбинации;
 γ_0 — предэкспоненциальный множитель.

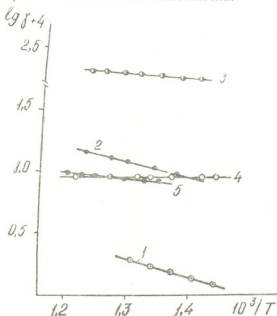


Рис. 4. Температурная зависимость коэффициентов гетерогенной рекомбинации атомов водорода (1, 2, 3) и кислорода (4, 5) в аррениусовых координатах для поверхностей 1,4—LiCl, 2,5—NaCl, 3—KCl

Таблица 3

Значения энергии активации и предэкспоненциальных множителей атомов водорода и кислорода

Поверхность	γ_n	γ_0
LiCl	$0,02 \exp(-7000/RT)$	0,0009
NaCl	$0,03 \exp(-5700/RT)$	$0,002 \exp(-1500/RT)$
KCl	$0,02 \exp(-300/RT)$	$\gg 0,01$

На рис. 4 представлена температурная зависимость коэффициентов рекомбинации атомов водорода и кислорода в аррениусовых координатах. Рассчитанные на основе этих прямых значения энергии акти-

вации и предэкспоненциальных множителей атомов водорода предста- влены в таблице 3.

На основании полученных результатов установлено, что активность хлоридов щелочных металлов по отношению к реакции рекомбинации атомов водорода растет в ряду: LiCl, NaCl, KCl, RbCl. Величины коэффициентов рекомбинации атомов для разных поверхностей в значительной степени зависят от радиуса катиона солей. Из таблицы 3 видно, что с увеличением радиуса катиона $r_{\text{к}} +$ растут значения коэффициентов рекомбинации.

Для атомов водорода эта зависимость (см. рис. 5) особенно резко выявляется при низких температурах, т. к. причина роста коэффициента рекомбинации — уменьшение энергии активации. Отсюда следует, что при более высоких температурах величина радиуса катиона солей не должна играть существенной роли. В отличие от атомов водорода, увеличение гетерогенной рекомбинации ато-

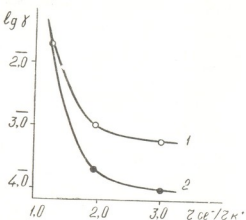


Рис. 5. Зависимость коэффициентов рекомбинации атомов водорода от величины радиуса катиона соли для температур: 1—500°К
2—1000°К

мов кислорода, вызванное ростом радиуса катиона — незначительно. Таким образом, установлено, что уменьшение электроотрицательности металла, повышая катализическую активность хлоридов щелочных металлов по отношению к рекомбинации атомов водорода, не влияет на активность по отношению к рекомбинации атомов кислорода.

Предполагается, что этапом реакции, определяющим ее скорость, является акт отрыва адсорбированной частицы, а не процесс адсорбции. В акте отрыва участвуют две частицы — адсорбированная и налетающая. На примере атомов водорода (рис. 6) показана зависимость коэффициентов гетерогенной рекомбинации от величины энергии кристаллической решетки E . Как видно из рисунка, уменьшение энергии связи адсорбированной частицы приводит к увеличению коэффициентов рекомбинации.

Таким образом, на основании анализа полученных результатов установлено, что уменьшение электроотрицательности металла, т. е.

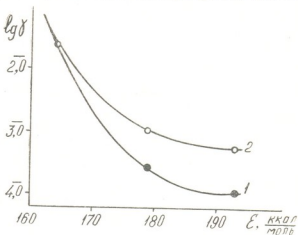


Рис. 6. Зависимость коэффициентов гетерогенной рекомбинации атомов водорода от энергии кристаллической решетки для температур 1—500°С, 2—1000°К



увеличение радиуса катиона и уменьшение энергии кристаллической решетки ведут к увеличению активности солей хлоридов щелочных металлов по отношению к рекомбинации атомов водорода.

Тбилисский государственный университет

Поступило 16.XI.1977

В. АБУЛАДЗЕ, М. НАМОРАДЗЕ, З. Г. ДЗОТСЕНДЗЕ, А. БАРАТОВ

Чтобы изучить зависимость рекомбинации водородных атомов от природы щелочного металла, исследованы гетерогенные коэффициенты рекомбинации водородных атомов на поверхности щелочных металлов.

Р е з и с т

Широкое применение щелочных металлов в промышленности и в быту обусловлено тем, что они обладают высокими физическими и химическими свойствами. Однако для щелочных металлов характерны и недостатки, такие как высокая восприимчивость к окислению и коррозии. Поэтому для их применения необходимо учитывать эти факторы. Важно также учитывать, что щелочные металлы являются ядовитыми веществами, поэтому при работе с ними необходимо соблюдать правила техники безопасности.

Для изучения гетерогенной рекомбинации водородных атомов на щелочных металлах были выбраны различные способы: термическое, термохимическое и термодинамическое. Для каждого способа были получены различные результаты, что свидетельствует о сложности процесса гетерогенной рекомбинации водородных атомов на щелочных металлах.

Было установлено, что гетерогенная рекомбинация водородных атомов на щелочных металлах зависит от природы металла, его концентрации и температуры. Для щелочного металла, например, лития, рекомбинация водородных атомов происходит в несколько раз быстрее, чем для щелочноземельных металлов, таких как церий и лантан.

M. K. ABULADZE, M. A. NAMORADZE, Z. G. DZOTSENIDZE,
M. D. MUSERIDZE, A. N. BARATOV

STUDIES OF HETEROGENEOUS RECOMBINATION OF HYDROGEN AND OXYGEN ATOMS ON SURFACE OF ALKALINE ELEMENT CHLORIDES

Summary

The method of inflammation limits was used to study heterogeneous recombination of hydrogen and oxygen atoms on the surface of lithium, sodium, potassium, rubidium and cesium chlorides. The values of the first limit of inflammation were obtained for mixtures of hydrogen with oxygen and carbon monoxide with oxygen promoted by small added portions of hydrogen. The rate constants and heterogeneous recombination coefficients for hydrogen and oxygen atoms were determined.



The temperature dependence of the heterogeneous recombination coefficients was determined: the values of activation energy and preexponential factors were obtained. It was established that with rise of temperature the rate constants and coefficients of hydrogen heterogeneous recombination considerably increase, at the same time for oxygen atoms these quantities almost do not depend on temperature.

On the basis of the analysis of the obtained results it was established that a decrease of electronegativity of the metal, i. e. an increase of the cation radius and a decrease of the crystalline lattice energy cause an increase of the activity of alkaline element chlorides with respect to recombination of hydrogen atoms.

ЛІТЕРАТУРА — REFERENCES

1. Сб. Трудов второго всесоюзного симпозиума по горению и взрыву, АН СССР, 1969, 161—465.
2. Н ал б а и д я н А. Б., В о е в о д с к и й В. В. Механизм окисления и горения водорода, М, АН СССР, 1949.
3. С е м е н о в Н. Н. Успехи химии, 26, 521, (1953).
4. С а т т о н . Вопросы ракетной технологии, М., «Мир», 1959, 12—58.
5. Б а р а т о в А. И., М у с е р и д з е М. Д., Д з о н е н и д з е З. Г., П е т в и а ш в и л и Д. И., В о г м а н Л. П. Сборник трудов ВНИИПО МВД СССР, М., АН СССР, 1974, 204.
6. С е м е н о в Н. Н. О некоторых проблемах химической кинетики и реакционной способности, М., АН СССР, 1958, 493.
7. С е м е н о в Н. Н. Развитие теории цепных реакций и теплового воспламенения, М., «Знание», 1969, 45.
8. А з а т я н В. В., В о е в о д с к и й В. В. Кинетика и катализ, 2, 340 (1961).
9. Кондратьев В. Н. Константы скорости газофазных реакций, М., «Наука», 1970, 11, 64.
10. Ф р а н к - К а м е н е ц к и й Д. А. Диффузия и теплопередача в химической кинетике, М., «Наука», 1967, 24.

УДК 621.039.3

Е. Д. ОЗИАШВИЛИ, А. С. ЕГИАЗАРОВ, Ш. И. ДЖИДЖЕИШВИЛИ,
Н. Ф. БАШКАТОВА

РАЗДЕЛЕНИЕ ИЗОТОПОВ УГЛЕРОДА МЕТОДОМ ХИМИЧЕСКОГО ИЗОТОПНОГО ОБМЕНА В СИСТЕМЕ ДВУОКИСЬ УГЛЕРОДА — ҚАРБАМАТ-ИОН

За последние годы значительно возросла потребность в редком стабильном изотопе углерод-13 (содержание в природной смеси 1,1%). Углерод-13 находит широкое применение в физических, химических, биологических и медицинских исследованиях в качестве меченого атома. Разработка метода ЯМР для индикации ^{13}C в сложных органических соединениях открыла возможность применения его в клинических исследованиях большого масштаба. Однако высокая стоимость изотопа ограничивает его широкое применение.

В связи с этим возникает задача поиска эффективных, экономически выгодных методов для разделения стабильных изотопов углерода в промышленном масштабе.

К настоящему времени проведено значительное количество исследований по разделению изотопов углерода. Изучены процессы химического обмена в системах газ-жидкость [1—5]; жидкость — твердое вещество [6—8]; процессы дистилляции [9—21]; газовой термодиффузии [22—29] и диффузии против потока пара [30—32].

По мнению авторов [33, 34] наиболее перспективными для разделения изотопов углерода в больших масштабах являются процессы изотопного обмена между окислами углерода и их молекулярными соединениями. Процессы изотопного обмена в таких системах можно представить в общем виде:



где, А — жидкое молекулярное соединение. В таких системах нижнее обращение фазы на богатом конце осуществляется термическим путем, что существенно упрощает технологическую схему процесса разделения. В работе [33] изучался обмен между карбамат-ионом и двуокисью углерода, который протекает по реакции:



Эффективность процесса разделения в таких системах зависит от природы реагента для связывания CO_2 и растворителя.

Авторами работы [33] были исследованы системы с участием 15 аминов и большого числа растворителей. Раствор нормального дигутиламина (н-ДБА) в триэтиламине (ТЭА) был выбран для получения изотопа ^{13}C . Анализ литературного материала показывает, что для получения изотопа углерод-13 в настоящее время перспективным яв-

ляется метод химического изотопного обмена в системе CO_2 — пиридин — растворитель CO_2 по реакции (3).

В связи с вышеизложенным начаты исследования по установлению основных параметров процесса разделения изотопов углерода в указанных системах. В качестве растворителей нами были выбраны пиридин и триэтиламин, а в качестве амина — и-ДБА. Эксперименты проводились на лабораторной установке, схема которой дана на рис. 1.

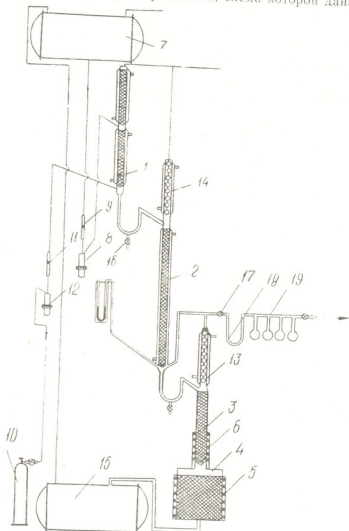


Рис. 1. Лабораторная стеклянная разделительная установка.
1—абсорбер; 2—разделительная колонна; 3—десорбер; 4—куб;
5, 6—электронагрев; 7—емкость для питания раствором; 8,
12—краны тонкой регулировки; 10—баллон питания CO_2 ; 13—
14—холодильники; 15—емкость для раствора; 17, 18, 19—система
отбора обогащенных проб

Установка состоит из трех основных узлов: абсорбера (1) с наружным охлаждением длиной 40 см и диаметром 2,5 см (заполнен эпоксидной смолой Левина из нержавеющей стали марки IX18H9T с размерами $2,2 \times 2,5 \times 0,2$ мм), разделительной колонны (2) длиной



100 см, диаметром 2,5 см, с наружным охлаждением (заполнен ¹³CО₂) и садкой Левина из нержавеющей стали марки IX18H9T с размерами 1,75×1,25×0,2 мм), десорбера (3) длиной 40 см (заполнен кварцевой насадкой в виде отрезков спирали с размерами 5×4 мм).

Десорбер заканчивается кубом — кипятильником (4), где достигается полное выделение CO₂ из жидкой фазы. Десорбер и кипятильник снабжены нагревателями (5, 6).

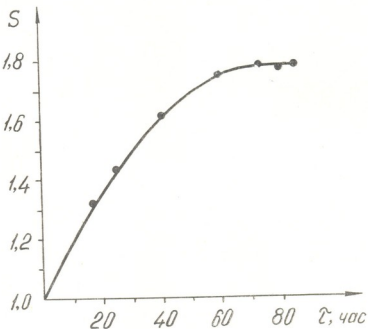


Рис. 2. Зависимость фактора разделения (S) от времени (t) для системы н-ДБА х пиридин х CO₂—CO₂

Раствор н-ДБА в пиридине или ТЭА из резервуара (7) через устройство тонкой регулировки (8) и измеритель потока (9) стекает в абсорбер (1), где контактирует с двуокисью углерода. Последняя поступает из резервуара (10) через расходомер (11) и игольчатый вентиль (12). Образовавшаяся в абсорбере жидккая фаза, пройдя через разделительную колонну (2), стекает в десорбера (3), а затем в куб (4), где достигается полное выделение CO₂. Выходящая из десорбера двуокись углерода, пройдя через холодильник (13), поступает противотоком в разделительную колонну, где происходит изотопный обмен по реакции (3). Обединенный по ¹³C газ выводится в атмосферу через холодильник (14), в котором улавливаются пары растворителя. Раствор из куба стекает в резервуар (15) для дальнейшей циркуляции.

Пробы для масс-спектрометрического анализа отбирались через специальный кран (17) в стеклянные шарики (19). В трубке (18) пробы газа очищались от паров жидкой фазы (амин—растворитель). Анализ проводился на масс-спектрометре МИ-1305 по массам 44/45.

Предварительные эксперименты показали, что растворы дибутиламина в триэтиламине с содержанием воды в количестве 0,1% и выше не пригодны для осуществления процесса разделения из-за образования нерастворимого осадка в абсорбере и в колонне. Поэтому в последующих экспериментах исходные растворы сушили до

содержания влаги 0,03%, что обеспечивало устойчивое прохождение процесса.

На описанной установке проводились эксперименты по выяснению влияния концентрации н-ДБА на эффективность процесса разделения. Результаты даны в таблице I и показаны на рис. 2, 3.

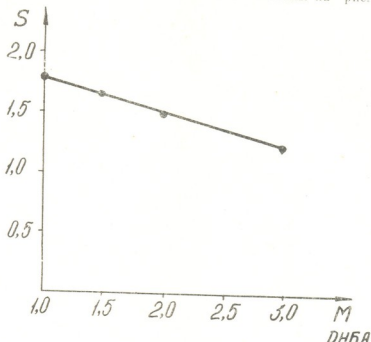


Рис. 3. Зависимость фактора разделения (S) от времени (τ) для системы н-ДБА \times триэтиламин \times CO_2 — CO_2

Как видно из таблицы I, наибольший фактор разделения (1,77) получен для 1 М раствора н-ДБА в ТЭА; при увеличении молярности н-ДБА фактор разделения уменьшается из-за увеличения вязкости жидкой фазы.

Таблица I
Зависимость фактора разделения от природы растворителя и молярности амина

Система	Молярн. н-ДБА	T, °C	Поток орошения $\text{cm}^3/\text{cm}^2\cdot\text{мин}$	Фактор разделения $^{13}\text{C}/^{12}\text{C}$
Пиридин н-ДБА	1	25	1,840	1,46
Триэтиламин н-ДБА	1	"	0,840	1,77
"	1,5	"	0,840	1,64
"	2,0	"	0,840	1,46
"	2,5	"	0,840	1,35

В ходе экспериментов было выяснено, что растворитель ТЭА обладает двумя существенными недостатками: высоким давлением насыщенных паров при комнатной температуре, что обуславливает



его большие потери и требует специальных условий для сохранения постоянного состава жидкой фазы; содержит влагу, что требует специальной сушки перед употреблением.

В связи с этим, для осуществления технологического процесса получения изотопа ^{13}C в больших масштабах актуальной является задача поиска более эффективного растворителя, обладающего следующими свойствами: химическая инертность по отношению к двуокиси углерода, термическая стойкость, небольшая вязкость и относительно высокая температура кипения (однако ниже чем температура кипения амина), низкое давление насыщенных паров, содержание влаги менее 0,03%.

Институт стабильных изотопов,
г. Тбилиси

Поступило 10.IX.1976

0. ОЗИАШВИЛИ, А. С. ЕГИАЗАРОВ, Ш. И. ЙЕШВИЛИ, Н. Ф. БАШКАТОВА

БАХЧИСАРСКАЯ РЕСПУБЛИКА
БАХЧИСАРСКИЙ ГОСУДАРСТВЕННЫЙ УНИВЕРСИТЕТ
БАХЧИСАРСКИЙ ГОСУДАРСТВЕННЫЙ УНИВЕРСИТЕТ

РЕЗЮМЕ

Находимся в процессе разработки метода разделения изотопов углерода с использованием карбаматной группы в качестве реагента. Для этого в качестве растворителя выбрана карбаматная группа, которая обладает высокой химической стойкостью и термической стойкостью, низкой вязкостью и относительно высокой температурой кипения (однако ниже чем температура кипения амина), низким давлением насыщенных паров, содержанием влаги менее 0,03%.

Находимся в процессе разработки метода разделения изотопов углерода с использованием карбаматной группы, которая обладает высокой химической стойкостью и термической стойкостью, низкой вязкостью и относительно высокой температурой кипения (однако ниже чем температура кипения амина), низким давлением насыщенных паров, содержанием влаги менее 0,03%.



При этом получены следующие результаты: при температуре 100°C в течение 1 часа в присутствии карбаматной группы в концентрации 1 моль/л в водном растворе углерод-13 извлекается из раствора углерод-12 в количестве 95%.

Находимся в процессе разработки метода разделения изотопов углерода с использованием карбаматной группы в качестве реагента. Для этого в качестве растворителя выбрана карбаматная группа, которая обладает высокой химической стойкостью и термической стойкостью, низкой вязкостью и относительно высокой температурой кипения (однако ниже чем температура кипения амина), низким давлением насыщенных паров, содержанием влаги менее 0,03%.

Для этого в качестве растворителя выбрана карбаматная группа, которая обладает высокой химической стойкостью и термической стойкостью, низкой вязкостью и относительно высокой температурой кипения (однако ниже чем температура кипения амина), низким давлением насыщенных паров, содержанием влаги менее 0,03%.

E. D. OZIASHVILI, A. S. EGIAZAROV, Sh. I. JESHVILY, N. F. BASHKATOVA

SEPARATION OF CARBON ISOTOPES USING THE METHOD OF CHEMICAL EXCHANGE BETWEEN CARBON DIOXIDE AND CARBAMATE ION

Summary

At present the method of chemical isotope exchange with thermal phase reversion can be considered as most appropriate for separation of carbon isotopes.



To separate carbon isotopes the reaction of isotope exchange between carbamate ion and carbon dioxide was studied.



The solution of n-dibutyl-amine in triethylamine and pyridine was used as a liquid phase.

The experiments on carbon isotope separation were carried out with a glass counter-current unit, the length of the packed part was 100 cm.

The largest separation factor 1.77 was obtained when the solution of n-dibutyl-amine in triethyl-amine was used.

As a result of the experiments it was established that the solvent triethyl-amine had two important disadvantages: it had rather low temperature of boiling and required special purification from water.

ЛІТЕРАТУРА — REFERENCES

1. Urey H. C., Aten A. H W., Keston A. S. J. Chem. Phys. 4, 622 (1936).
2. Щенникова М. К. Кандидатская диссертация, Горький, 1953.
3. Roberts J., Thode H. G., Urey H. C., J. Chem. Phys. 7, 137 (1939).
4. Патент (Франция) I. 250, 377 28. II. 60 Цитир. по Sci. abstr., 16, 15097 (1962).
5. Hutchison C. A., Stewart D. W., Urey H. C., J. Chem. Phys. 8, 532 (1940).
6. Piez K. A., Eagly H. J. Amer. Chem. Soc., 78, 5284 (1956).
7. Davidson C. N., Mann C. K. и др. J. Amer. Chem. Soc., 83, 2389 (1961).
8. Holmberg K. E. Acta Chem. Scand., 16, 1045 (1962).
9. Jons T. F., Kronberger H., London H. Mass. Spectrometry, p. 141, London (1952).
10. Апсона Е., Ваато Г., Casanova G. Nuovo Cimento, 24, 111 (1962).
11. Туницкий Н. Н. Девятых Г. Г. сб. Получение изотопов. Мощные гамма-установки. Радиометрия и дозиметрия. Изд. АН ССР, М., 1958.
12. Девятых Г. Г., Зорин А. О., ЖФХ, 30, 1133 (1956).
13. Девятых Г. Г., Зорин А. О., Николаев Н. И. ЖГХ, 31, 368 (1958).
14. Тихомиров В. М., Туницкий Н. Н., ЖГХ, 32, 531 (1959).
15. Ягодин П. Я., Уваров О. В., Жаворонков Н. М., ДАН ССР, III, 384 (1956).
16. Жаворонков Н. М., Уваров О. В., Бабков С. И. Получение изотопов. Мощные гамма-установки. Радиометрия и дозиметрия. Изд-во АН ССР, М., 1958.
17. Зельвенский Я. Д., Соколов В. Е., Шалыгин В. А. Научные доклады высшей школы. Химия и химическая технология, 2, 388 (1958).
18. Зельвенский Я. Д., Ефремов А. А. Известия ВУЗов. Химия и химическая технология, № 5, 727 (1962).
19. Kühn W., Trütkauf M., Narten A. Proceed. U. N. Intern. Confer. Peaceful USES At. Energy, 2 nd, Geneve, 4, 371 (1958).
20. Narten A., Kühn W. Helv. Chim. Acta, 44, 1474 (1961).
21. Holberg K. E. Acta Chem. Scand., 16, 2117 (1962).
22. Nier A. O., Phys. Rev., 57, 30 (1940).
23. Clusius K., Bühler H. M. J. Am. Chem. Soc., 62, 1019 (1940).
24. Clusius K., Dickel L. Helv. Chim. Acta, 23, 10 (1950).
25. Clusius K., Edtiugerg F. E. Helv. Chim. Acta, 43, 1267 (1960).
26. Sacata H., Matsuda K., Tokeda E. J. Phus. Soc. Japen, 8, 313 (1953).
27. Groth W., Murrenhoff A., Burkow H. H. Ber. Kernforschanstase Juelich, № 46, 38 (1963). Цитир. по Chem. Abstr., 59, 3505 b.

28. Vries A. E., Hering A., Slots W. Phisica, 22, 247 (1956).
29. Vries A. E., Hering A., Z. Naturforsch, 19a, 225 (1964).
30. Bernstein R. B., Curey H. J. Chem. Phys., 7, 34, (1939).
31. Панченков Г. М., Семиохин И. А., Маурии И. В. ЖФХ, 30, 2070
(1956).
32. Семиохин И. А., Панченков Г. М., Ершова Н. П. ЖФХ, 37,
1409 (1963).
33. J i endra P., Ag tawal. Separation Science 6 (6) pp. 819—829. Dec. (1971).
34. Aloysi u s A. Palko. Ind. Eng. Chem. Process. Dos. Develop. vol. 10, № 1,
(1971).
-

УДК 536.7:536.63

Н. С. ОМИАДЗЕ, А. А. НАДИРАДЗЕ, Д. Ш. ЦАГАРЕИШВИЛИ

ПРОГНОЗИРОВАНИЕ ЗНАЧЕНИЙ ВЫСОКОТЕМПЕРАТУРНЫХ ТЕПЛОЕМКОСТЕЙ КРИСТАЛЛИЧЕСКИХ НЕОРГАНИЧЕСКИХ ВЕЩЕСТВ ПО УРАВНЕНИЮ МАЙЕРА-КЕЛЛИ

К настоящему времени в области разработки методов прогнозирования высокотемпературных ($T > 298,15\text{K}$) изобарных теплоемкостей (C_p) кристаллических неорганических веществ в широком интервале температур достигнуты значительные успехи [1—3]; несмотря на это, интерес к данной проблеме не уменьшается, так как в зависимости от практической цели и набора исходных параметров могут быть предложены различные варианты ее решения.

В данной работе сделана попытка прогнозирования функции $C_p = C_p(T)$ при высоких температурах с помощью известного эмпирического уравнения Майера-Келли [4, 5]

$$C_p = a + b \cdot T - c \cdot T^{-2} \quad (1)$$

где a , b и c — постоянные в интервале температур от 298 K до точки плавления (T_f) вещества.

Известен ряд способов теоретической оценки коэффициентов a , b и c на основании различных физико-химических характеристик вещества [1, 3, 6—8]. В настоящей работе показано, что для определения коэффициентов a , b и c достаточно располагать для данного вещества значениями температуры Дебая Θ и T_f , или стандартной теплоемкости $C_{p,298}$ и T_f .

Ограничимся рассмотрением кристаллических неорганических веществ, не имеющих полиморфные превращения в интервале 298— T_f , и спектр частот которых может быть аппроксимирован с характеристической температурой Дебая. Тогда, если в целях упрощений пре-небречь различными вкладами в общую теплоемкость вещества, кроме решеточных и ангармонических вкладов, уравнение $C_p = C_p(T)$ в рамках вышеуказанных ограничений для простых веществ можно записать в следующем виде

$$C_p = C_V^D + (C_p - C_V), \quad (2)$$

где C_V — изохорная теплоемкость вещества, а C_V^D — решеточная теплоемкость в дебаевском приближении.

Ранее [3] одним из авторов квазитермодинамическим методом найдена связь коэффициента b с T_f и $C_{p,T}$ (изобарная теплоемкость твердого вещества в точке плавления) в виде соотношения

$$b = C_{p,T}/4 T_f. \quad (3)$$

Таблица 1

Сопоставление рассчитанных по соотношениям (4) и (5) и экспериментальных значений C_{eff} [5,9,13,14] и коэффициента в [5,9,13,14] для некоторых простых веществ

Вещество	T_r		C_{eff}		$b \cdot 10^3$		Вещество	T_r		C_{eff}		$b \cdot 10^3$		
	[10–12]		[2]		кал/моль К			кал/моль К ²		[10–12]		[2]		
	К	К	рас.	вес.	рас.	вес.		К	К	рас.	вес.	рас.	вес.	
Li	385	454	6,69	6,27	3,64	8,60	As	225	1234	9,27	7,40	1,08	2,04	
Na	172	371	8,27	7,38	5,49	5,36	Al	165	1336	9,50	7,32	1,78	1,24	
Be	1000	1526	7,43	7,83	1,19	2,05	Zn	327	603	8,11	7,01	2,93	2,40	
Ba	405	922	8,24	7,58	2,24	2,45	Ca	209	151	8,09	7,06	3,62	2,94	
S	1219	2390	7,88	7,88	0,86	1,38	V	380	2175	9,30	9,35	1,07	2,00	
Al	428	932	8,16	7,70	2,19	2,96	Nb	270	2740	9,60	8,11	0,88	0,81	
In	108	429	9,99	7,18	5,24	6,04	Ta	245	3270	9,70	8,11	0,75	0,71	
Si	645	1685	8,47	6,96	1,26	0,79	Mo	450	2890	9,65	9,59	0,91	1,06	
Ge	374	1210	8,76	6,92	1,81	0,82	W	405	3680	9,26	8,33	0,65	0,78	
Sn	200	505	8,41	7,35	4,17	4,34	Pt	450	3453	9,48	9,08	0,69	0,55	
Pb	165	600	9,30	7,03	3,87	2,33	W	480	2239	9,14	10,10	1,02	2,06	
Sb	211	963	9,06	7,08	2,01	1,74	Ir	420	2527	9,38	9,35	0,86	1,42	
Bi	119	544	9,13	7,42	4,19	5,40	Pd	274	1823	9,40	8,31	1,29	1,38	
Cu	343	1357	8,98	7,44	1,66	1,50	Pt	240	2043	8,44	9,53	1,17	1,29	



Экспериментальные данные по C_{pt} (в кал/г-атом К) для большинства твердых простых веществ (табл. 1) могут быть со средней погрешностью $\pm 15\%$ аппроксимированы эмпирическим уравнением

$$C_{pt} = 10 \cdot \Theta / T_r \quad (4)$$

Следовательно, из уравнений (3) и (4) получаем

$$b = \left(\frac{5}{2} - \frac{\Theta}{T_r} \right) T_r^{-1}. \quad (5)$$

В табл. 1 сопоставлены вычисленные из соотношений (5) и экспериментальные значения коэффициентов b для некоторых простых веществ. Как видно из табл. 1, при использовании формулы (5) получаются вполне удовлетворительные значения коэффициента b , если учесть, что точность его экспериментального определения обычно колеблется в пределах $\pm 25-35\%$.

Функция Дебая $C_V^D = C_V^D(\Theta/T)$ может быть со средней погрешностью $\pm 3.5\%$ (табл. 2) аппроксимирована в интервале $(\Theta/T) < 4$ простым уравнением

$$C_V^D = 6.0 - (\Theta/T)^2/5, \text{ кал/г-атом К.} \quad (6)$$

Из уравнений (1), (2) и (6) имеем

$$a + b \cdot T - c \cdot T^{-2} = 6.0 + (C_p - C_v) - (\Theta^2/5) T^{-2}. \quad (7)$$

Функция $C_p - C_v = f(T)$ при высоких температурах обычно близка к линейной (если исключить из рассмотрения «аномальное» возрастание функции $C_p = C_p(T)$ вблизи T_r , обусловленное явлениями предплавления); следовательно, на основании сравнения членов обеих частей уравнения (7) легко установить, что коэффициент c можно определить из выражения

$$c = \Theta^2/5. \quad (8)$$

С использованием значений Θ , приведенных в табл. 1, были рассчитаны по формуле (8) величины коэффициента c для некоторых простых веществ (табл. 3). Данные табл. 3 дают основание заключить, что по формуле (8) можно вполне реально оценить значения коэффициента c . Заметим, что в табл. 3 не представлены простые вещества, для которых экспериментальные величины $c=0$ (так как по формуле (8) для таких веществ получаем $c=(0.05-0.15) \cdot 10^5$, т. е. весьма низкие значения этого коэффициента, то членом $c \cdot T^{-2}$ в уравнении (1) при этом можно пренебречь).

Таблица 2

Сопоставление вычисленных по уравнению (6) и табличных значений функций Дебая $C_V^D = C_V^D(\Theta/T)$ [15]

Θ/T	0,2	0,5	1,0	2,0	3,0	3,5	4,0
C_V^D по [15]	5,95	5,89	5,68	4,92	3,95	3,45	3,00
C_V^D по ур. (5)	5,99	5,95	5,80	5,20	4,20	3,55	2,80

Подставляя (5) и (8) в (1) и принимая $T=\Theta$, определяем коэффициент a из уравнения (1).

$$a = C_{p\theta} - \left(\frac{5}{2} - \frac{\Theta}{T_r} \right) \frac{\Theta}{T_r} + \frac{1}{5},$$

где $C_{p\theta}$ — изобарная теплоемкость вещества при $T=\Theta$.

Взаимосвязь между $C_{p\theta}$ и отношением (Θ/T_r) можно выразить следующей эмпирической формулой

$$C_{p\theta} = 5,80 + 0,6 (\Theta/T_r)^{1/2}, \quad (10)$$

которая позволяет оценить $C_{p\theta}$ (в кал/г-атом К) большинство простых веществ с точностью $\pm 3,0\%$ (табл. 4).

Таблица 3
Сопоставление рассчитанных по соотношению (8) и экспериментальных значений коэффициента с [9,13,14] для некоторых простых веществ

Вещество	Be	Mg	B	Si	Ge	Ag	Nb
$c \cdot 10^{-5}$, рас.	2,00	0,33	2,98	0,83	0,28	0,10	0,15
$c \cdot 10^{-5}$ эксп	0,80	0,10	2,20	1,04	0,56	0,17	0,22

Таблица 4
Сопоставление вычисленных по соотношениям (10) и (11) и экспериментальных значений $C_{p\theta}$ [5, 9, 13, 20] и коэффициента a [5, 9, 13] для некоторых простых веществ

Вещество	$C_{p\theta}$ рас.	$C_{p\theta}$ эксп.	Разница, %	а рас.	а эксп.	$C_{p\theta}$ рас.	$C_{p\theta}$ эксп.	Разница, %	а рас.	а эксп.
	кал/г-атом К	кал/г-атом К				кал/г-атом К	кал/г-атом К			
Li	6,35	6,36	-0,2	5,15	3,05	Ag	6,06	5,89	+2,9	5,82
Na	6,21	6,00	+3,5	5,54	5,00	Au	6,01	5,70	+5,4	5,88
Be	6,28	6,59	-4,7	5,36	4,54	Zn	6,21	6,14	+1,1	5,53
Mg	6,20	6,26	-0,9	5,56	5,33	Cd	6,16	5,99	+2,8	5,65
B	6,24	6,51	-4,1	5,47	4,74	V	6,05	6,16	-1,8	5,83
Al	6,21	6,21	0	5,54	4,94	Nb	5,99	5,90	+1,5	5,90
In	6,10	5,65	+7,9	5,75	4,59	Ta	5,96	5,92	+0,7	5,92
Si	6,17	6,10	+1,1	5,62	5,66	Mo	6,04	5,94	+1,7	5,84
Ge	6,13	5,88	+4,2	5,69	5,98	W	6,00	6,01	-0,2	5,89
Sn	6,18	6,10	+1,3	5,60	5,16	Re	6,02	6,23	-3,4	5,87
Pb	6,05	5,89	+2,7	5,83	5,63	Rh	6,08	6,48	-6,2	5,79
Sb	6,09	5,85	+4,1	5,77	5,51	Ir	6,04	6,16	-1,9	5,85
Bi	6,08	5,62	+8,2	5,78	4,49	Pd	6,03	6,15	-1,9	5,85
Cu	6,10	5,93	+2,9	5,75	5,41	Pt	6,01	6,03	-0,3	5,88

Из уравнений (9) и (10) с использованием для интервала $(\Theta/T_r)=0,1-1,0$ аппроксимации

$$\left(\frac{5}{2} - \frac{\Theta}{T_r} \right) \frac{\Theta}{T_r} - 0,6 \left(\frac{\Theta}{T_r} \right)^{1/2} \approx \frac{\Theta}{T_r},$$

получим

$$a = 6,0 - (\Theta/T_r). \quad (11)$$

Вычисленные по формуле (11) значения коэффициента a для некоторых простых веществ даны в табл. 4; получено вполне удовлетвори-



тельное согласие (за исключением Li, Be, In, Bi) между расчетными и экспериментальными величинами а.

Учитывая формулы (5), (8) и (11), уравнение (1) Майера-Келли можно записать в обобщенной форме

$$C_p = \left(6,0 - \frac{\Theta}{T_r} \right) + \left(\frac{5}{2} - \frac{\Theta}{T_r} \right) \frac{T}{T_r} - \frac{1}{5} \left(\frac{\Theta}{T} \right)^2. \quad (12)$$

Таким образом, для расчета высокотемпературных теплоемкостей кристаллических веществ по уравнению (12) достаточно располагать значениями Θ и T_r ; при этом предпочтительнее в качестве Θ использовать величины, определяемые с помощью методов, описанных в [16—19].

Однако, если для данного вещества известно экспериментальное значение стандартной теплоемкости (C_{p298}), то целесообразно расчет Θ производить при помощи C_{p298} по формуле, которая выводится ниже на основании уравнения (1).

В целях упрощений введем обозначения: $x = \Theta/298$; $y = 298/T_r$ и $z = y^2 + y$. Тогда уравнение (12) после элементарных преобразований можно записать в виде квадратного уравнения

$$x^2 + 5zx + 5(C_{p298} - 2,5y - 6,0) = 0, \quad (13)$$

после решения которого относительно x получаем формулу, позволяющую находить значения Θ веществ по их C_{p298} :

$$\Theta = 298 [(30 + 12,5y + 6,25z^2 - 5C_{p298})^{1/2} - 2,5z]. \quad (14)$$

Уравнение (14) дает возможность рассчитать Θ в тех случаях, когда выполняется система неравенств

$$\begin{aligned} 5C_{p298} &< 30,0 + 12,5y + 6,25z^2 \\ 2,5z &< (30 + 12,5y + 6,25z^2 - 5C_{p298})^{1/2} \end{aligned} \quad (15)$$

которая имеет единственное решение (учитывая при этом, что $y = 298/T_r$)

$$C_{p298} < 6,0 + (745/T_r). \quad (16)$$

Однако неравенство (16) является довольно слабым ограничением при применении формулы (14); проверочными расчетами установлено, что твердые неорганические вещества, не имеющие аномалий на кривой $C_p = C_p(T)$ в интервале $0-T_r$, но характеризующиеся неравенством $C_{p298} > 6,0 + (745/T_r)$, по-видимому, являются редким исключением.

В табл. 5 представлены результаты расчета по уравнению (12) высокотемпературных теплоемкостей некоторых простых веществ; Θ вычислялась из формулы (14) по значениям их C_{p298} и T_r ; Δ_m и $\bar{\Delta}$ — соответственно максимальные и средние отклонения вычисленных значений C_p от экспериментальных [5, 9, 13] в рассматриваемом температурном интервале. Как видно из табл. 5, уравнение (12) правильно аппроксимирует экспериментальные кривые $C_p = C_p(T)$ различных простых веществ. Заметим, что значения Θ , вычисленные из (14) (табл. 5), в тех случаях, когда $C_{p298} < 6,0$ кал/г-атом К, мало отличаются от известных данных (табл. 1), полученных или по теплоемкости (16) или же по упругим постоянным кристаллов вблизи ОК (17); по-видимому, когда $C_{p298} > 6,0$ кал/г-атом К значения Θ , найденные из (14), следует рассматривать как эффективные.



Уравнение (12) в принципе пригодно и для расчета высокотемпературных теплоемкостей бинарных веществ и сложных кислородных соединений, если под C_p в уравнении (12) подразумевать атомную теплоемкость соединения, определяемую из соотношения $C_p = C_{pm}/n$, где C_{pm} — молярная теплоемкость, а n — количество атомов в молекуле соединения. Для подтверждения вышесказанного были рассчитаны по уравнению (12) C_p для 107 различных твердых бинарных и сложных неорганических соединений.

Таблица 5
Результаты расчетов высокотемпературных теплоемкостей некоторых простых веществ по уравнению (12)

Вещество	$C_{p \text{ 298}}$ кал г-атом ·К	$\theta, \text{ К}$ по ур. (14)	Δ_M %	$\bar{\Delta}$ %	Темпера- турный интервал, К	Вещество	$C_{p \text{ 298}}$ кал г-атом ·К	$\theta, \text{ К}$ по ур. (14)	Δ_M %	$\bar{\Delta}$ %	Темпера- турный интервал, К
Li	5,61	435	-8,1	-3,9	298—454	Ag	6,10	298	+9,7	+5,6	298—1200
Na	6,60	259	+0,3	+0,2	298—371	Au	6,06	307	+9,6	+5,9	298—1300
Be	3,94	905	-7,2	+3,2	298—1556	Zn	6,07	353	+6,0	+3,5	298—693
Mg	5,92	386	+1,1	+0,7	298—923	Cd	6,21	321	+4,2	+2,6	298—594
B	2,65	1171	+9,7	+5,3	293—1700	V	5,9	343	-12,8	-6,8	298—1900
Al	5,82	417	+1,9	+1,0	298—932	Nb	5,88	339	+1,1	+0,6	298—1500
In	6,39	291	+1,8	+1,1	298—430	Ta	9,06	206	-2,6	+1,3	298—3000
Si	4,78	719	+9,5	+4,8	298—1685	Mo	5,71	415		-10,3	298—1800
Ge	5,59	485	+10,2	+4,6	298—1200	W	5,93	286	+1,8	+1,0	298—3000
Sn	6,45	272	+0,3	+0,1	298—505	Re	6,14	134	-6,5	+3,1	298—3000
Pb	6,32	293	+6,3	+3,4	298—600	Rh	6,00	284	-18,2	-9,8	298—2200
Sb	6,03	351	+8,6	+5,10	298—903	Ir	6,10	203	-6,6	+3,0	298—1700
Bi	6,22	322	-2,4	+1,1	298—545	Pd	6,21	182	+0,7	+0,3	298—1800
Cu	5,86	388	+6,2	+4,4	298—1357	Pt	6,18	194	-1,2	+0,5	298—2000

Анализ полученных результатов дает основание заключить, что уравнение (12) позволяет при наличии данных по $C_{p \text{ 298}}$ и T_t твердых бинарных и сложных неорганических веществ производить прогнозирование неизвестных значений их высокотемпературных C_p в интервале 298, 15— T_t (при отсутствии в этой области температур полиморфных превращений), по-видимому, в большинстве случаев, с точностью $\pm 3\text{--}5\%$, что является вполне приемлемой для термодинамического исследования химических реакций при высоких температурах.

Институт metallurgii им. 50-летия СССР
АН ГССР

Поступило 25.I.1978

О. ТОЛДУДО, А. БАДЫРСАНОВ, О. САКАНДАРОВИЧ

Академик Академия наук Казахской ССР
Научный сотрудник Института физики и химии металлов
Союза советских учёных Казахской ССР

Руководитель

Кандидат химических наук Абдуррахманов Мирзакаримов Абдуррахманов
($T > 298\text{K}$) кандидат химических наук Сабирова Гульмира



მოყენებულია მაიერ-კელის ცნობილი ემპირული განტოლება $C_p = \frac{a + b \cdot T - c \cdot T^{-2}}{(T/T_r) - (\Theta/\Gamma)^2/5}$, სადაც a , b და c — მუდმივი სიციცეები ტემპერატურულ ინტერვალზე 298K-დან ნივთიერებების ლოგობის წერტილმდე. ნახევრადემპირული გზით მოღებულია ფორმულები a , b და c მუდმივების გასანგარიშებლად: $a = 6,0 - (\Theta/T_r)$, $b = (5/2 - \Theta/T_r) T_r^{-1}$ და $c = \Theta^2/5$, სადაც Θ — დებაის ტემპერატურა, ხოლო T_r — ნივთიერების ლოგობის ტემპერატურა. ძოვანილი ფორმულები საშუალებას გვაძლევენ მაიერ-კელის განტოლება ჩავწეროთ განხოგალოებული სახით: $C_p = (6,0 - \Theta/T_r) + (5/2 - \Theta/T_r) \cdot (T/T_r) - (\Theta/\Gamma)^2/5$, რის საფუძველზედაც შესაძლებელია როგორც მარტივი, ასევე როგორც კრისტალური არაორგანული ნივთიერებების მაღალტემპერატურული სითბოტევალობების პროგნოზირება 298-T_r ტემპერატურულ ინტერვალში ± 3—5%-ის სიზუსტით, რაც სავსებით მისაღებია ქიმიური რეაქციების თერმოდინამიკური კვლევებისათვის მაღალ ტემპერატურებზე.

I. S. OMIADZE, A. A. NADIRADZE, D. SH. TSAGAREISHIVILI

PREDICTIONS OF VALUES OF HIGH TEMPERATURE HEAT CAPACITY FOR CRYSTALLINE INORGANIC SUBSTANCES USING MAIER-KELLEY EQUATION

Summary

To predict high temperature ($T > 298\text{K}$) isobaric heat capacity (C_p) for crystalline inorganic substances a known empirical equation of Maier-Kelley was used: $C_p = 1 + b \cdot T - c \cdot T^{-2}$, where a , b and c are constant in the temperature range from 298 K to the melting point of the substance. Semi-empirical way was used to obtain formulas for the calculations of the constants a , b and c : $a = 6,0 - (\Theta/\Gamma_r)$, $b = (5/2 - \Theta/T_r) \cdot T_r^{-1}$ and $c = \Theta^2/5$, where Θ is Debye characteristic temperature and T_r is the melting point of the substance. The given formulas make possible to write down the generalized form of Maier-Kelley equation $C_p = (6,0 - \Theta/T_r) + (5/2 - \Theta/T_r) \cdot (T/T_r) - (\Theta/\Gamma)^2/5$ the latter permitting to make predictions in the temperature range 298-T_r for high temperature heat capacity both for simple and compound crystalline inorganic substances with the accuracy $\pm 3 \div 5\%$ and it is quite suitable for thermodynamical studies of chemical reactions at high temperatures.

ლიტერატურა — ЛИТЕРАТУРА — REFERENCES

- Ланди Н. А. Расчет высокотемпературных теплоемкостей твердых неорганических веществ по стандартной энтропии, АН ГССР, Тбилиси, 1962.
- Киреев В. А. Методы практических расчетов в термодинамике химических реакций, «Химия», М., 1975.
- Цагарейши и Д. Ш. Методы расчета термических и упругих свойств кристаллических неорганических веществ, «Мецниреба», Тбилиси, 1977.
- Maier G., Kelley K. K., J. Am. Chem. Soc., 52, 3243 (1932).
- Kelley K. K., U. S. Bur. Mines, Bull. 584 (1960).



6. Цагарейшвили Д. Ш., Гвелесиани Г. Г. Сообщения АН ГССР, № 3, № 3, 581 (1965).
7. Иванова Л. И. Журн. физ. химии, 35, 2120 (1961).
8. Иванова Л. И. Изв. ВУЗов, Цвет. металл., 4, 45 (1961).
9. Kubashevskii O., Evans E. L., Alcock C. B. Metallurgical Thermochimistry, London, (1967).
10. Мелвин-Хьюз Э. А. Физическая химия, кн. I, ИЛ, М., 1962.
11. Физико-химические свойства элементов (справочник), «Наукова думка», Киев, 1965.
12. Киттель Ч. Статистическая термодинамика, «Наука», М., 1977.
13. Наумов Г. Б., Рыженко Б. Н. Ходаковский И. Л. Справочник термодинамических величин, Атомиздат, М., 1971.
14. McDonald R. A., Stull D. R. J. Chem. Eng. Data, 7, 84 (1962).
15. Краткий справочник физико-химических величин, под ред. К. П. Мищенко и А. А. Равделя, «Химия», М.-Л., 1965.
16. Дебуе Р. Ann. Phys. (4), 39, 789 (1912).
17. Физическая акустика, т. 3, часть Б (Динамика решетки) под ред. У. Мезон, «Мир», 1968.
18. Lindemann F. A., Phys. Zeitschr., 11, 609, (1910).
19. Ощерин Б. Н. Порошковая металлургия, № 1, II (1962).
20. Kelley K. K., King E. G., U. S. Bur. Mines., Bull. 592 (1961).

ТЕХНОЛОГИЯ

УДК 661.981:22(621.359.7)

А. В. ШВАНГИРАДЗЕ, Ц. С. КУРЦХАЛИЯ, Т. А. ЦИРГВАВА,
 Д. А. ПАРЦВАНИЯ, М. А. МАКАШВИЛИ

ИЗУЧЕНИЕ ВОЗМОЖНОСТИ ОЧИСТКИ СТОЧНЫХ ВОД ПРОИЗВОДСТВА СУЛЬФАТА АММОНИЯ И АММИАЧНОЙ СЕЛИТРЫ МЕТОДОМ ОБРАТНОГО ОСМОСА

В связи с быстрым развитием промышленности, вопросы сохранения водных ресурсов, охраны окружающей среды и утилизация промышленных отходов приобретают первостепенное значение.

Одним из вариантов решения этих вопросов является очистка промышленных сточных вод и регенерация растворенных в них веществ.

Результаты контроля производства азотных удобрений показали [1], что потери аммиака на 100% превышают потери, предусмотренные технологическим процессом, что соответствует 1% от веса продукции.

В настоящей работе изучена возможность применения обратноосмотического метода для очистки сточных вод производства сульфата аммония и аммиачной селитры с целью их повторного применения и утилизации солей аммония.

Опыты проводились на лабораторном обратноосмотическом аппарате типа «фильтр-пресс», с плоскими фильтрующими элементами производительностью 500—600 л/м² сутки. Применялись обратноосмотические мембранны на основе ацетатцеллюлозы.

Характеристика сточных вод производства сульфата аммония и аммиачной селитры приводится в таблице 1.

Таблица 1
 Характеристика сточных вод производства сульфата аммония и аммиачной селитры до и после очистки методом обратного осмоса

Сточные воды	pH	$\text{NH}_3\text{ СВЭЗ,}$ мг/л	$\text{NH}_3\text{ своб.,}$ мг/л	$\text{NH}_3\text{ общ.,}$ мг/л	$(\text{NH}_4)_2\text{SO}_4,$ мг/л	NO_2^- , мг/л	NO_3^- , мг/л	$\text{NH}_4\text{NO}_3,$ мг/л	ХПК, мг O_2 л	Жесткость мг-экв л
Производство сульфат аммония (исходная)	6,8	117,2	10,2	127,4	500,0	нет	20,6	нет	291,0	1,0
Производство сульфат аммония (после очистки)	7,0	22,0	нет	22,0	85,0	нет	нет	нет	10,0	0,008
Производство аммиачной селитры (исходная)	8,0	499,8	241,2	741,2	нет	27,6	2060	1216	83,2	2,3
Производство аммиачной селитры (после очистки)	6,8	20,4	нет	20,4	нет	нет	100,0	96,0	9,0	0,8

Режим очистки сточных вод был разработан на модельных растворах. Концентрация сульфата аммония и аммиачной селитры в соответствующих растворах была 1 г/л.

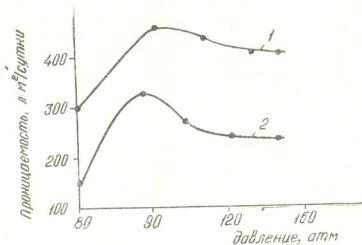


Рис. 1. Зависимость проницаемости мембран от давления при очистке растворов сульфата аммония (1) и аммиачной селитры (2)

Для ацетатцеллюзных мембран характерны высокоеэластичные свойства [2]. Вследствие уплотнения структуры, кривая зависимости проницаемости мембран от давления имеет максимум, который во время очистки растворов сульфата аммония и аммиачной селитры соот-

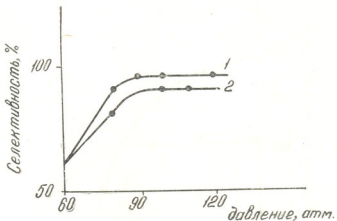


Рис. 2. Зависимость селективности мембран от давления при очистке растворов сульфата аммония (1) и аммиачной селитры (2)

ветствует 90 атм (рис. 1). Сходный характер носит и зависимость селективности мембран от давления (рис. 2). В области малых давлений она возрастает линейно с увеличением давления, а затем, достигая своего максимума, остается постоянной. Такой характер зависимости объясняется тем, что в области малых давлений с увеличением рабочего давления возрастает лишь поток воды через мембрану, в то время как поток растворенного вещества практически не меняется. То, что

селективность мембранны практически остается постоянной при достижении максимума, объясняется снижением потока растворенного вещества через мембрану при значительном ее уплотнении [3].

Максимум на кривой зависимости селективности мембранны от давления (рис. 2) определяется природой рабочего раствора.

При рабочем давлении 90 атм раствор сульфата аммония очищается на 96%, а раствор аммиачной селитры на 80—90% (табл. 2). Более высокая степень очистки раствора сульфата аммония по сравнению с раствором аммиачной селитры (табл. 2), по-видимому, является следствием того, что радиус гидратированного иона SO_4^{2-} больше (15 \AA), чем иона NO_3^- (5 \AA) [14].

Таблица 2

Степень очистки растворов сульфата аммония
и аммиачной селитры

Модельные растворы	Давление, атм	Проницаемость мембранны, л/ м^2 сутки	Степень очистки раствора, %
Сульфата аммония	90,0	550,0	90,0
Аммиачной селитры	90,0	360,0	85,0

При выбранных оптимальных условиях (рабочее давление 90 атм, проницаемость мембранны не ниже 300 л/ м^2 сутки) были очищены сточные воды производства сульфата аммония и аммиачной селитры. Результаты приведены в таблице 1. Показатели очищенных сточных вод доказывают возможность их повторного применения в качестве технической воды [3].

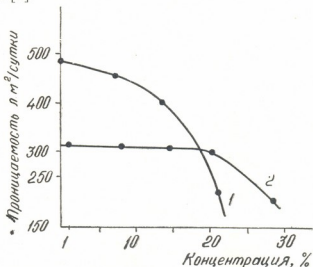


Рис. 3. Зависимость проницаемости мембранны от концентрации соли в исследуемом растворе: 1—растворенное вещество $(\text{NH}_4)_2\text{SO}_4$ 2—растворенное вещество NH_4NO_3

Так как концентрация растворенных веществ является одним из основных факторов, определяющих не только характеристики процесса обратного осмоса, но и возможность применения этого метода раз-

деления, то очевидна необходимость правильного выбора рабочего диапазона концентрации.

Для установления предела концентрации очищаемого раствора, были проведены опыты по очистке растворов, концентрация которых менялась от 1% до 28%. Результаты (рис. 3) показали постоянное снижение проницаемости мембран с ростом концентрации раствора. При очистке 20%-ного раствора сульфата аммония и аммиачной селитры проницаемость мембранны снижается на 10%, а последующее повышение концентрации снижает ее на 70—80% (рис. 3).

С увеличением концентрации увеличивается осмотическое давление раствора, что снижает рабочее давление и следовательно проницаемость мембранны.

Как и следовало ожидать, изменение концентрации мало влияет на селективность мембранны. При увеличении концентрации сульфата аммония и аммиачной селитры выше 25% селективность снижается на 10% (рис. 4).

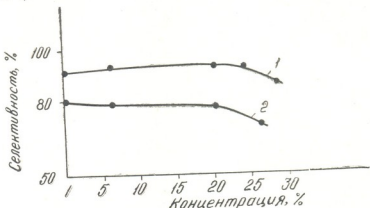


Рис. 4. Зависимость селективности мембранны от концентрации соли в исходном растворе. 1—растворенное вещество $(\text{NH}_4)_2\text{SO}_4$; 2—растворенное вещество NH_4NO_3 .

Следовательно, при осуществлении процесса очистки в обратноосмотическом аппарате возможно концентрирование сульфата аммония и аммиачной селитры до 20% с одновременной очисткой соответствующих сточных вод на 70—80%.

СКТБ НПО «Лакокраспокрытие»

Поступило 6.X.1977

А. ЗГДЕЗИНАРДО, О. КУЧЕВАЛЛО, Т. ФИРСОВАВА
Ф. ФАБРИЦИАНО, В. БАБАЯНОВЫ

Заместитель главного инженера и а заместитель генерального директора
Заводоуковской фабрики красок и пигментов

Н. Г. Ч. 3

Шესწავლით უკოსმოსის მეთოდის გამოყენების შესაძლებლობა მინერალური სასუქების წარმოების გამდინარე წყლების გაშემნდისა და მასში გახსნილი მარილების უტილიზაციის მიზნით.

მიღებული შედეგებით დამტკიცებულია, რომ მნ პროცესში მაზანშეწონილია აცეტატფენელოზის საფუძველზე მიღებული უკუსმოსური მემბრანების გამოყენება.



დაღვენილია გაწმენდის პროცესის ოპტიმალური პირობები უკავშირულად 90 ატმ, მებრანის გამტარიანობა — არა უმცირეს 300 $\text{л}/\text{მ}^2$ დღელაშემ. ეს პირობებში სულფატის წარმოების გამდინარე წყლის გაწმენდის ხარისხი არის 90%, ხოლო ამონიუმის გვარჩილისა — 85%.

გაწმენდილი გამდინარე წყლები თავისი მაჩვენებლებით წარმოადგენერ ტექნიკურ წყლებს, რომლებიც შეიძლება გამოვიყენოთ ამონიუმის სულფატისა და ამონიუმის გვარჩილის მიღების ტექნოლოგიურ პროცესში.

დაღვენილია, რომ გაწმენდის პროცესში ხდება ამონიუმის სულფატისა და ამონიუმის გვარჩილის 20%-მდე კონცენტრირება.

A. V. SHVANGIRADZE, TS. S. KURSKHALIA, T. A. TSIRGVAVA,
D. A. PARTSVANIA, M. A. MAKASHVILI

STUDIES OF POSSIBLE PURIFICATION OF DRAINAGE WATERS AT PRODUCTION OF AMMONIUM SULPHATE AND AMMONIA NITRATE USING THE METHOD OF REVERSE OSMOSIS

S u m m a r y

A possibility of application of the reverse osmosis method for purification of drainage waters at production of mineral fertilizers and ammonium salts utilization has been studied.

The results of the studies show the expediency of using reverse osmotic membranes on the base of acetate cellulose.

The optimal parameters of the purification are found (operating pressure is 90 atm, membrane permeability not lower than $300 \text{l}/\text{m}^2$ per day) when the degree of purification for drainage water at ammonium sulphate production is 90% and that for ammonia nitrate production is 85%.

Purified drainage waters conform to the requirements for recycled water and hence they can be returned to take part in the technological process of ammonium sulphate and ammonia nitrate production.

It is established that in the process of purification of the studied drainage waters an increase of the concentration of ammonium sulphate and ammonia nitrate to 20% is observed.

ლიტერატურა — REFERENCES

1. Агюон Н. М. Information Chemin, 103, 143—145, (1971).
2. Дытнерский Ю. И., Вишневский В. А., Нефедов В. С. Мембранные процессы разделения жидких смесей, М., «Химия», 1975.
3. Дытнерский Ю. И., Семенов В. П., Кочаров Р. Г., Зерпунов Г. В., Романенко Ю. К. Очистка сточных вод целлюлозно-бумажной промышленности обратным осмосом и ультрафильтрацией, М., 1973.
4. Карелин Ф. Н. Тезисы докладов Всесоюзной конференции по мембранным методам разделения смесей, 30 мая—1 июня, Москва, 1973.
5. Предельно допустимые концентрации вредных веществ в воздухе и воде. Л. «Химия», 1975.

КРАТКИЕ СООБЩЕНИЯ

УДК 541.183:66.093.6

Г. В. ЦИЦИШВИЛИ, Ш. Д. САБЕЛАШВИЛИ, Т. Г. АНДРОНИКАШВИЛИ,
Т. Н. КОРДЗАХИЯ

СПОСОБ ОБЕЗВОЖИВАНИЯ ЭТИЛОВОГО СПИРТА С ПОМОЩЬЮ ПРИРОДНОГО КЛИНОПТИЛОЛИТА

Во многих реакциях органического синтеза часто используется абсолютный спирт. Обычный спирт-ректификат содержит 95,6% этилового спирта и 4,4% воды.

В последнее время для обезвоживания различных органических растворителей, в том числе спиртов, применяются экспрессные адсорбционные методы с помощью цеолитов — молекулярных сит [1—3]. При этом используются как способ простого кипячения спирта с цеолитом [1], так и пропускание осушенного спирта через слой цеолита [2, 3].

В настоящем сообщении показана возможность применения природного клиноптилолита содержащего туфа месторождения Дзегви Грузинской ССР (участок Хекордзула) для обезвоживания этилового спирта. Содержание клиноптилолита в туфе в некоторых случаях может достигать 85% [4].

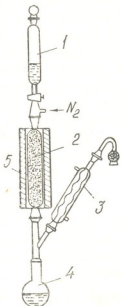


Рис. 1. Прибор для адсорбционного обезвоживания этилового спирта: 1. Капельная воронка. 2. Колонка с цеолитом. 3. Холодильник. 4. Приемник. 5. Печь

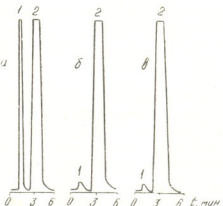


Рис. 2. Хроматограммы: а—ректификата, б—обезвоженного спирта и в—этилового спирта с маркой «Хроматографически чистый». 1. вода, 2. этиловый спирт; адсорбент поропак Q, температура колонки 150°; скорость газа-носителя 30 мл/мин



Обезвоживание спирта осуществлялось в динамических условиях колонки из стеклянной колонке (длиной 95 мм, диаметром 15 мм), в которую был загружен клиноптилолит (11,5 г) с размером гранул 15—30 меш. Перед началом эксперимента клиноптилолит активировался в токе азота при температуре 300° в течение 4 часов. Нагрев осуществлялся специальной трубчатой электропечью, укрепленной на колонке (рис. 1). Азот из баллона направлялся в фильтр, заполненный цеолитами для осушки. В конце фильтра на выходе помещался слой цеолита СоХ, который позволял визуально, по цветной индикации определять влагу в колонке с клиноптилолитом.

Ректификат крепостью 95,6% при комнатной температуре подавался для осушки в колонку с клиноптилолитом через капельную воронку 1 (рис. 1). Скорость подачи сырого спирта менялась в диапазоне 0,33—3,33 мл/мин. Скорость потока азота была постоянна (25 мл/мин), количество спирта, подвергаемого осушке за один цикл обезвоживания, составляло 20 мл.

Следует отметить, что наиболее глубокое и рациональное осуществление процесса обезвоживания имеет место при скорости подачи спирта 1,33 мл/мин. Часть спирта, которая адсорбируется на клиноптилолите, при комнатной температуре извлечь из адсорбента не удается. Увеличение температуры нагрева колонки до 50—60° позволяет десорбировать 15—20% спирта, концентрация которого составляет 99,5%.

Остаточное содержание воды в абсолютном спирте определялось методом газовой хроматографии. Хроматографическая колонка (длина 1 м, диаметр 0,4 см) хроматографа «Цвет-1» заполнялась поролоном-*Q* зернистением 80—100 меш. Условия хроматографического анализа: детектор-катараметр, температура колонки — 150°, температура испарителя 180°, скорость газа-носителя (гелия) — 30 мл/мин. На рис. 2 приведены хроматограммы: а-ректификата, б-обезвоженного спирта и в-хроматографически чистого (эталонного) спирта. Из этих хроматограмм видно, что однократное пропускание 95,6% спирта через колонку с клиноптилолитом позволяет получить продукт, который по своей чистоте соответствует спирту марки «хроматографически чистый».

Осушающая способность клиноптилолита практически не изменяется после 10-циклового процесса обезвоживания.

Проведенные исследования показывают, что клиноптилолит содержащие туфы вышеуказанных месторождения с успехом могут быть использованы для обезвоживания этилового спирта.

Институт физической и органической
химии им. П. Г. Меликишвили АН ГССР

Поступило 20.VI.1978

მთილის საირტის გაუწყლოვა გუნდარიზ
კლინოტილიტით გამოყენება

რეზიუმე

გამოყენებულია საქ. სსრ ქედების საბადოს (ტექორძელას უბანი) კლინო-პტილოლიტების ცუფის გამოყენების შესაძლებლობა ეთილის სპირტის გასაუწყლოებლად. სპირტის გაუწყლოება ტარდებოდა დინამიკურ პირობებში.

ნაჩვენებია, რომ ეთილის სპირტის გაშრობის ხარისხი და დანაკარგი გაუწყლოების პროცესში მნიშვნელოვნად არის დამოკიდებული სვეტში სპირტის მიწოდების სიჩქარეზე. დადგენილია, რომ სპირტის ლრმა გაშრობა ხდება მაშინ, როდესაც სვეტში სპირტის მიწოდების სიჩქარე აზ აღემატება 1,33 მლ/წ.

G. V. TSITSISHVILI, SH. D. SABELASHVILI, T. G. ANDRONIKASHVILI,
T. N. KORDZAKHIA

ETHANOL HIGH DRYING PROCESS BY THE USE OF NATURAL
CLINOPTILOLITE

Summary

A possibility of natural clinoptilolite containing tuff from the deposit Dzegvi of the Georgian SSR (Khekordzula area) utilization for ethanol dehydration has been studied. Ethanol high drying was carried out under dynamical conditions.

It is shown that the extent of ethanol drying and losses occurring during drying process depend to considerable degree on the rate of ethanol supply to the column.

It is established that the deepest drying takes place at the rate of ethanol supply 1.33 ml/min.

ლიტერატურა — REFERENCES

1. А и д р о н и к а ш в и л и Т. Г., С х и р т л а д з е Н. И., Т а б а ш и д з е Н. И. Заводская лаборатория, 10, 1211, 1966.
2. Г р и ш к о Н. И., А б а к у м о в а Г. А., Щ е р б а т ю к Н. Е. Природные сорбенты. Изд. «Наука», 14, 188, 1967.
3. Ж д а н о в С. П., П а л ь ч и к Р. И., Ж ФХ, т. 39, вып. 2, 466 (1965).
4. Г в а х а р и я Г. В., С х и р т л а д з е Н. И., Б а т и а ш в и л и Т. В., А х в л е д и а н и Р. А., М и к а д з е Г. А. ДАН ССР, 205, № 1, 179 (1972).

Р. И. АГЛАДЗЕ, О. В. ОРЛОВА, М. А. ВАРДИШВИЛИ

ИЗУЧЕНИЕ ВОЗМОЖНОСТЕЙ ОЧИСТКИ ЭЛЕКТРОЛИТИЧЕСКОЙ ДВУОКИСИ МАРГАНЦА С ПОМОЩЬЮ ЭЛЕКТРОДИАЛИЗА

Целью данной работы является изучение возможностей применения электродиализа для очистки искусственно полученной из сульфатных растворов электролитической [1, 2] двуокиси марганца от примесей сульфатов, наличие которых значительно снижает начальные характеристики и срок годности сухих гальванических элементов, где она

применяется в качестве активного материала положительного электрода.

Содержание общего количества сульфат-ионов в пересчете на SO_4^{2-} в непромытых образцах составляет около 2%, а по техническим условиям не должно превышать 0,6%.

Изучение процесса очистки электролитической двуокиси марганца (ЭДМ) электродиализом с использованием отечественных гетерогенных ионитовых мембран [3—5] марок МК-40 и МА-40 проводилось в статических условиях в сконструированном нами лабораторном электродиализаторе, изготовленном из оргстекла и имеющем три камеры со сливными устройствами, разделенные анионитовой и катионитовой мембранными. Схема установки для электродиализной очистки ЭДМ приведена на рис. 1.

Размеры диализатора $100 \times 100 \times 80$ мм. Емкость камер — 150 мл. Катод — пластина из нержавеющей стали (площадь — 72 см^2); анод — графитовая пластина (площадь — 72 см^2). Рабочая поверхность мембранны — 90 см^2 .

Рис. 1. Схема лабораторной электродиализной установки для очистки ЭДМ. УИП-1 — источник постоянного тока; mA — миллиамперметр; V — вольтметр; 1, 2, 3 — секции электродиализатора; К — катионитовая мембра; А — анионитовая мембра; М — мешалка

Электродиализ осуществляли следующим образом. В среднюю секцию диализатора, снабженную мешалкой, помещали навеску (10—50 г) двуокиси марганца (тонкость помола: фракция, проходящая через сито № 0,21 — около 35%; фракция, проходящая через сито № 0,07 — около 65%). Затем во все секции заливали по 150 мл дистиллированной воды и электродиализатор подключали к источнику

Контроль за изменением концентрации сульфат-ионов в анонде осуществлялся через каждые 30 минут. Одновременно определялось содержание SO_4^{2-} -ионов в твердой фазе очищаемого продукта.

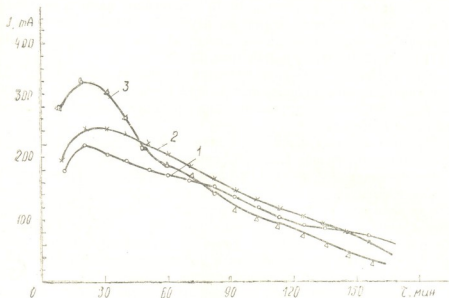


Рис. 2. Зависимость силы тока от времени процесса электродиализа для различных соотношений твердой и жидкой фаз при постоянном напряжении (10 В)
1—T:Ж = 1:15; 2—T:Ж = 1:7,5; 3—T:Ж = 1:3

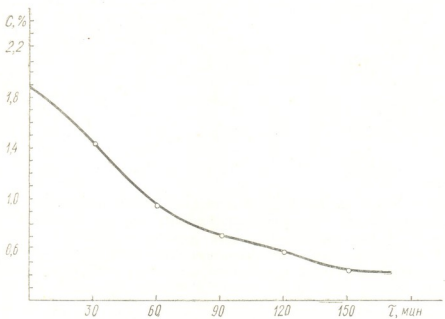


Рис. 3. Зависимость степени очистки электролитической двуокиси марганца (%) от времени процесса электродиализа.
C — содержание сульфат-ионов (в пересчете на SO_4^{2-}), % в очищенном продукте; t — время электродиализной очистки, мин.



Изменение силы тока, протекающего через электродиализатор, фиксировалось через каждые 10 минут и на основании экспериментальных данных строились кривые изменения силы тока во времени при постоянном напряжении в 10 В (выбранном нами в результате предварительных экспериментов по изучению влияния величины напряжения на продолжительность очистки) для различных соотношений Т:Ж фаз: 1:3; 1:7,5 и 1:15 (рис. 2).

Как видно из рис. 2, в пределах изученных соотношений Т:Ж эффективность очистки находится в прямой зависимости от абсолютной величины этого соотношения. Оптимальным следует считать соотношение Т:Ж=1:3.

Влияние времени процесса электродиализа на степень очистки ЭДМ (при соотношении Т:Ж=1:3) приведено на рис. 3.

Одновременно с очисткой ЭДМ от сульфат-ионов происходит ее очистка и от катионов Mn^{2+} , Mg^{2+} и Ca^{2+} , переходящих в католит.

Как показали эксперименты, основная масса сульфат-ионов переходит в первую порцию анонита в первые 50—60 минут, поэтому во избежание обратной диффузии ионов через 60 минут после начала очистки анонит и католит сливали и в соответствующие секции 1 и 3 заливали новые порции дистиллированной воды.

Результаты электродиализной очистки образцов ЭДМ при установленных нами оптимальных условиях приведены в таблице 1.

Таблица 1
Результаты электродиализной очистки образцов
ЭДМ от сульфат-ионов

№ № образцов ЭДМ	Содержание сульфат-ионов, % (в пересчете на SO_3)	
	в исходном продукте	в очищенном продукте
1	1,72	0,46
		0,42
2	1,88	0,42
		0,45

Как видно из приведенных в таблице данных, применение электродиализа с использованием ионообменных мембран позволяет производить очистку электролитической двуокиси марганца и получать продукт с содержанием сульфат-ионов 0,42—0,46% (в пересчете на SO_3) ниже допустимого предельного количества (0,6%), регламентируемого существующими техническими условиями на качество ЭДМ.

Грузинский политехнический институт
им. В. И. Ленина

Поступило 10.II.1978

რ ე ზ ი ტ მ ე

შესწავლით ელექტროლიტური მანგანეზის ორგანიზის (მმო) სულფატ-იონებისაგან გაწმენდის შესაძლებლობა ელექტროდიალიზის მეთოდით სამამულო იონიტური მემბრანების MK—40 და MA—40 გამოყენებით. გაწმენდის ხარისხის დამკიდებულების შესწავლამ ძაბვისაგან, მყარი და თხევადი ფაზების ფარობინა და დროისაგან, გმოვლინა ელექტროდიალიზური გაწმენდის (მმო) მაღალი ეფექტურობა.

ჩვენს მიერ დადგენილ ოპტიმალურ პირობებში (ძაბვა — 10 ვოლტი, მ:თ = 1 : 3, დრო — 150 წუთი) სულფატ-იონების შემცველობა გაწმენდილ მმო-ზი მცირდება 1,9-დან 0,42—0,46%-მდე (SO_3^- -ზე გადაანგარიშებით), რაც ამ მინარევის ტექნიკური პირობებით დაშვებულ რაოდენობაზე ნაკლებია.

R. I. AGLADZE, O. V. ORLOVA, M. A. VARDISHVILI

STUDIES OF POSSIBLE PURIFICATION OF ELECTROLYTIC MANGANESE DIOXIDE USING ELECTRODIALYSIS

S u m m a r y

Possible purification of electrolytic manganese dioxide (EMD) from sulphate ions using electrodialysis method with home made ionite membranes MK-40 and MA-40 has been studied.

Studied of the dependence of purification degree on voltage, ratio between solid and liquid phases and time permitted to establish that electrodialysis purification of EMD is highly efficient.

Under found by us optimal conditions (voltage is 10v, S:L=1:3, time is 150 minutes) the content of sulphates in purified EMD decreases from 1.9 to 0.42-0.46% (recalculated per SO_3^-) being below the permitted content of this admixture caused by technical conditions.

ლიტერატურა — REFERENCES

1. Агладзе Р. И. Зауташили Л. А., Ванидзе] К. Ш. Сообщения АН ГССР, 56, № 3, 581 (1969).
2. Зауташили Л. А., Агладзе Р. И., Ванидзе К. Ш. Сб. Электрохимия марганца, т. VI, изд-во «Мецниереба», Тбилиси, 152—159, 1975.
3. Салладзе К. М., Пашков А. Б., Титов Б. С. Ионообменные высокомолекулярные соединения, М., 1960.
4. Гребенюк В. Д. Электродиализ. Изд-во «Техника», Киев, 1976.
5. Сб. Ионообменные мембранны в электродиализе. Под ред. Салладзе К. М., М., 1970.

УДК 54—44:66.09418.547.52/59

В. Л. КВИРИКАШВИЛИ, Ц. М. РАМИШВИЛИ

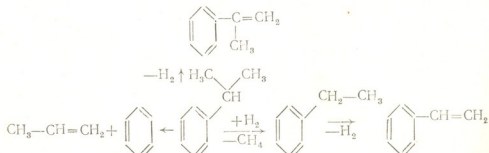
КАТАЛИТИЧЕСКОЕ ДЕГИДРИРОВАНИЕ ИЗОПРОПИЛБЕНЗОЛА

Исследование реакции катализитического дегидрирования изопропилбензола (ИПБ) в α -метилстирол имеет практически важное значение. Как известно, α -метилстирол, как и стирол является одним из важнейших мономеров. Возможность получения α -метилстирола путем катализитического дегидрирования ИПБ впервые показана на смешанных медно-хромовых катализаторах в работе [1]. В настоящее время известны многие окисные смешанные катализаторы этой реакции [2—4].

Целью настоящей работы являлось получение α -метилстирола дегидрированием ИПБ на приготовленном нами катализаторе. Катализатор готовился на основе следующих компонентов: 60 вес.% MgO, 28 вес.% CaCl₂ и 12 вес.% цинкового порошка. Указанныя смесь замачивалась в малом количестве воды, необходимом для образования густой массы, из которой готовились гранулы. Перед опытом катализатор в количестве 25 мл продувался воздухом при температуре 580°. Соотношение ИПБ и катализатора составляло 1:5.

Опыты проводились в проточной установке при атмосферном давлении в интервале температур 550°—580° без разбавления паров ИПБ, подаваемого с объемной скоростью 0,6 час⁻¹. Температура поддерживалась с точностью $\pm 1^\circ$. Так как в продуктах реакции был как α -метилстирол, так и стирол, катализическая активность оценивалась по сумме выходов α -метилстирола и стирола. Применяемый ИПБ имел следующие физические константы: $t_{\text{кип}} = 152,39^\circ$, $n_D^{20} = 0,8619$. Анализ продуктов реакции проводился хроматографически на приборе ЛХМ-8М на колонке длиной 2 м, диаметром 3 мм, заполненной цеолитом—545 с 10% глицерина и 10% трикрезилфосфата. Детектор-катарометр, газ-носитель — гелий. В продуктах реакции находились бензол, толуол, этилбензол, стирол, α -метилстирол и непрореагировавший ИПБ.

Результаты опытов представлены в таблицах 1 и 2. Химический состав продуктов реакции позволяет предположить следующие возможные пути превращения ИПБ на приготовленном нами катализаторе:



Экспериментальные данные (табл. 1 и 2) показывают, что изученный нами катализатор способствует протеканию реакции дегидрирования ароматического углерода с разрывом С—Н связи боковой цепи, что и

Таблица 1

Химический состав продуктов превращения ИПБ на катализаторе состава $MgO + CaCl_2$ + порошок Zn. Объемная скорость подачи ИПБ—0,6 час⁻¹

Катализатор	Температура реакции, °С	Содержание катализата, вес. %						Суммарное количество стирола и α -метилстирола в катализате, вес. %
		Бензол	Толуол	Этилбензол	Изопропилбензол	Стирол	α -метилстирол	
Одна и та же проба катализатора без регенерации	550	4,3	2,8	11,7	34,5	13,6	32,9	46,5
	560	7,2	4,9	13,4	23,1	22,7	28,5	51,2
	580	4,5	3,6	12,4	28,1	15,0	36,7	51,7

приводит к образованию стирола и α -метилстирола. Их количество в катализате составляет приблизительно 52 вес.%. Аналогичные данные получены в [5]. Сравнительно мала каталитическая активность приготовленного нами катализатора в отношении реакции расщепления аро-

Таблица 2

Температурная зависимость степени превращения ИПБ в алкенилароматические углеводороды. Объемная скорость подачи ИПБ—0,6 час⁻¹

Катализатор	Температура реакции, °С	Общая степень превращения ИПБ, %	Содержание ИПБ в катализате, вес. %	Содержание в катализате, вес. %				Суммарное количество стирола и α -метилстирола в вес. % в пересчете на	
				стирола α -метилстирола		в пересчете на			
				пропущенный ИПБ	превращенный ИПБ	пропущенный ИПБ	превращенный ИПБ		
Одна и та же проба катализатора без регенерации	550	68,9	34,5	12,2	17,7	29,6	43,0	41,8	60,7
	560	79,2	23,1	20,4	25,8	25,6	32,3	46,0	58,1
	580	74,8	28,0	13,5	18,0	33,0	44,0	46,5	62,0

матического углеводорода с разрывом связи С—С в боковой цепи, о чем свидетельствуют незначительные количества образовавшихся бензола (4—7%) и толуола (3—5%). Исследованный нами катализатор характеризуется небольшим удельным весом (2,66 г/см³), простотой приготовления и высокими выходами как стирола, так и α -метилстирола.

Институт физической и органической химии
им. П. Г. Меликишвили АН ГССР

Поступило 31.III.1978

რეზიუმე

ნაკადური მეთოდით შესწავლილი 550°—580° ტემპერატურულ ინტერ-
ვალში შერეული კატალიზატორის: $MgO + CaCl_2 + Zn$ ფენილის კატალიზუ-
რი აქტიურობა ინოპროპილებზოლის (იპბ) დეჰიდრარების რეაქციაში. წარ-
ადგენილი სტიროლის და α -მეთილსტიროლის გამური რაოდენობა შეადგენს
47 წონ.% კატალიზატორზე გატარებულ იპბ-თან შეფარდებით, ხოლო გარ-
დაქმნილ იპბ-თან შეფარდებით — 62%. კატალიზატორი მექანიკურად მტკიცება
და ორმულად მედევი.

V. L. KVIRIKASHVILI, P. M. RAMISHVILI

CATALYTIC DEHYDRATION OF ISOPROPYL BENZENE

S u m m a r y

The flow through method was used to study the catalytic activity of a mixed catalyst with the composition $MgO + CaCl_2 + Zn$ powder in the reaction of isopropyl benzene (IPB) dehydration in the temperature range from 550° to 580°C. The total amount of styrene and α -methyl styrene in weight per cent recalculated by the passed trough IPB is 47% and by the converted IPB it is 62%. The catalyst shows high thermal resistance and mechanical strength.

ლიტერატურა — REFERENCES

1. Баландин А. А., Марухян Г. М. Журнал прикладной химии, 19, № 2, 206, (1946).
2. Каталитические свойства веществ. Справочник. Часть I. Изд. «Наукова думка», 1363, 1968.
3. Каталитические свойства веществ. Справочник. Часть 2. Кн. 2. Изд. «Наукова думка», 626, 1975.
4. Авторское свидетельство СССР № 201335 ВОІУ 23/74, 1967.
5. Арещидзе Х. И., Квиркашвили В. Л. Сб. Адсорбционные, хромато-графические и каталитические свойства цеолитов, Тбилиси, 215, 1972.

УДК 678.072

Г. Ш. ПАПЛАВА, П. Д. ЦИСКАРИШВИЛИ, И. Г. ИОСАВА,
Р. К. КАНДЕЛАКИ

НЕКОТОРЫЕ КИНЕТИЧЕСКИЕ ЗАКОНОМЕРНОСТИ ПРОЦЕССА ОКСИФЕНИЛИРОВАНИЯ ТЕРМОПЛАСТИФИКАТА ГОРЮЧИХ СЛАНЦЕВ

Исследованы некоторые кинетические закономерности реакции оксифенилирования термопластификата горючего сланца Гдовского месторождения.

Выбор данного объекта обусловило появление возможности получения на его основе путем оксифенилирования связующего для производства пластмасс.

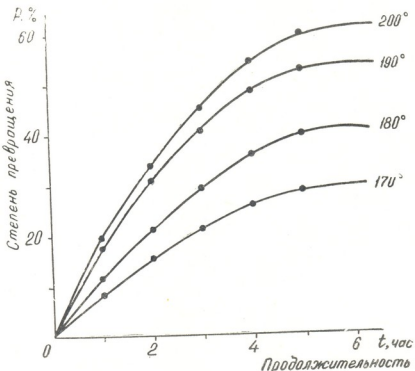


Рис. 1. Кинетические кривые реакции оксифенилирования термопластификата горючих сланцев.

Кинетика процесса изучена в температурном интервале 170—200°C. Исследование влияния температуры показало, что с ее повыше-



нием скорость реакции и степень превращения ощутимо возрастает. Особенно быстро протекает реакция при 200°C. При этой температуре через 5 часов протекания реакции степень превращения достигает 60%, в то время как при 170, 180, 190°C она составляет 29, 40 и 53% соответственно. На рисунке I представлены кинетические кривые реакции оксифенилирования в расплаве.

Во всех случаях оптимальным временем протекания реакции является 5 часов. Из рисунка видно, что продолжительность процесса может быть ограничена в пределах 5 часов. Дальнейшее увеличение продолжительности реакции практически мало влияет на степень превращения термопластификата.

При изучении кинетических закономерностей выяснилось, что по ходу процесса, во всех исследуемых случаях до глубоких степеней превращения сохраняется полуторный порядок реакции.

Порядок реакции и значения эффективных констант скоростей рассчитывались по уравнению:

$$K_{1.5} = \frac{1}{t} \left(\frac{2}{\sqrt{a-x}} - \frac{2}{\sqrt{a}} \right) \quad (1)$$

где, a — количество фенола, которое должно присоединиться при 100%-ном протекании реакции (исходя из бромового числа сланца).

x — количество фенола, вошедшего в реакцию к данному моменту. Эффективные константы скоростей, рассчитанные по уравнению (1), сохраняют постоянные значения по ходу реакции до глубоких степеней превращения.

В таблице I представлены значения эффективных констант скоростей и степень превращения при разных температурах за 5 часов протекания реакции.

Таблица I

Значения эффективных констант скоростей и степени превращения для реакции оксифенилирования термопластификата горючего сланца за 5 часов протекания реакции

Наименование показателя	Температура реакции, °C			
	170	180	190	200
Константа скорости.	2,8	4,4	6,2	8,9
$K_{1.5} \cdot 10^3 \frac{\text{л}^{1/2}}{\text{моль}^{1/2} \text{сек}^{-1}}$				
Степень превращения, %	29	40	53	60

Изменение констант скоростей при взаимодействии керогена сланца с фенолом от обратной абсолютной температуры происходит в согласии с уравнением Аррениуса:

$$K = A \exp(-E/RT)$$



Энергия активации процесса оксифенилирования составляет ^{23,8}
ккал/моль.

Таким образом, исследование кинетики процесса оксифенилирования керогена сланца показало, что оптимальными условиями процесса являются температура 170—200°C, продолжительность 4—5 часов.

Институт физической и органической
химии им. П. Г. Меликашвили АН ГССР

Поступило 8.II.1978

ქ. თბილი, ვ. ცისკარიშვილი, ი. იოსავა, რ. კანდელაკი

სამართლის თერმოფიზიკური გამოყენების
ართების ჯოგიძის კონტაქტი კანონის მიხედვით

რეზ თ გ 3

170-დან 200°-მდე ტემპერატურულ ინტერვალში სწორი ფიტლების ოქსი-
ფინილირების პროცესის კინეტიკური კანონის მიერების შესწავლით დადგენი-
ლია, რომ თერმოპლასტიფიკატის გარდაქმნის ხარისხი და რეაქციის სიჩქარე
პირდაპირ დამოკიდებულებაში იმყოფება ტემპერატურასთან და რეაქციის
მიმდინარეობის ხანგრძლივობასთან. განსაზღვრულია არენიუსის განტოლების
პარამეტრები: რეაქციის სიჩქარის კონსტანტა, რეაქციის რიგი და აქტივაციის
ენერგია. დადგენილია რეაქციის ოპტიმალური პირობები.

G. SH. PAPAVA, P. D. TSISKARISHVILI, I. G. IOSAVA, R. K. KANDELAKI

SOME KINETIC REGULARITIES OF THE OXYPHENYLIZATION PROCESS OF COMBUSTIBLE SHALE THERMOPLASTIFICATE

S u m m a r y

Studies of the kinetics of oxyphenylation of combustible shale (Gdov deposit) thermoplastificate in the temperature range from 170° to 200°C have shown that the degree of thermoplastificate conversion and correspondingly the reaction rate depend directly on temperature and duration of the reaction.

The rate and the order of the reaction, activation energy are calculated. The optimal conditions of the process are established.

УДК 543.253

В. Ш. ЦВЕНИАШВИЛИ, Б. Х. СТРЕЛЕЦ, М. В. МАЛАШХИЯ,
Г. И. ЕРЕМЕЕСВА, В. Н. ГАПРИНДАШВИЛИ

ПОЛЯРОГРАФИЧЕСКОЕ ВОССТАНОВЛЕНИЕ СОЛЕЙ 1-МЕТИЛ-2,1,3-БЕНЗТИА- И СЕЛЕНОДИАЗОЛИЕВ В АЦЕТОНИТРИЛЕ

В настоящей работе приведены результаты изучения полярографического восстановления солей 1-метил-2,1,3-бензтиа-(I) и селенодиазолиев (II) в ацетонитриле (АН). Применяемая аппаратура и техника полярографических измерений описаны в работе [1]. АН очищали по методике [2]. Хлориды 1-метил-2,1,3-бензтиа- и селенодиазолиев получали действием хлористого тионила или селенистой кислоты на 1-метил-*o*-фенилендиамины. Хлориды переводили в соответствующие перхлораты, идентифицировали и использовали в полярографических измерениях. Значения потенциалов отнесены к водному насыщенному каломельному электроду без поправки на значения потенциала жидкостного соединения. Фоном служил перхлорат тетраэтиламония (ПТЭА).

Соли (II) гидролитически более устойчивы, чем соли (I), что, в основном, определяет разницу в характере полярографического восстановления этих солей в водных средах. Однако, в АН катионы (I) и (II) характеризуются идентичным механизмом полярографического восстановления. Разница состоит лишь в том, что катион (I) восстанавливается при более отрицательных потенциалах, чем катион (II).

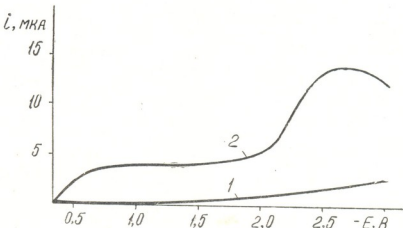


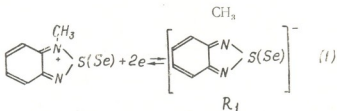
Рис. 1. Полярограмма $1 \cdot 10^{-3} \text{ М}$ раствора катиона (I) на фоне $0,05 \text{ М}$ ПТЭА.

На полярограммах катионов (I) и (II) в АН на фоне $0,1 \text{ М}$ ПТЭА имеются две волны. На рис. 1 в качестве примера представлена по-

ляграммами катиона (I). Значение потенциалов составляют: — 0,403 В для первой и — 2,35 В для второй волн катиона (I) и — 0,32 В и — 2,25 В для первой и второй волн катиона (II). Расположенная при менее отрицательных потенциалах волна с учетом периода капания при потенциалах второй волны приблизительно в 2,5 раза ниже, чем вторая волна. Сравнение высот волн катионов (I) и (II) с высотами соответствующих волн 2,1,3-бензтиаз- и селенодиазола [3] приводит к заключению, что первая волна отвечает двухэлектронному процессу, а вторая волна соответствует дальнейшему глубокому восстановлению продукта, образованного в результате электродной реакции на первой волне.

При препаративном электролизе в потенциостатическом режиме в области потенциалов предельного тока первых волн катионов (I) и (II) растворы окрашиваются в темно-красный цвет. Перемешивание раствора инертным газом приводит к мгновенному исчезновению окраски. В условиях длительного электролиза при контролируемом потенциале предельного тока вторых волн в восстановленном растворе обнаруживаются продукты расщепления тиа- и селенодиазолиевых колец—ионы S^{2-} и Se^{2-} .

Учитывая вышеизложенное, можно заключить, что на первой волне восстановления катионов (I) и (II) происходит перенос двух электронов с образованием соответствующих анионов. Судя по циклическим вольтамперограммам, снятым на висящей ртутной капле с треугольной разверткой напряжения, при потенциале первой волны каскадических полярограмм катионов (I) и (II) первая стадия процесса близка к обратимой. На второй волне происходит перенос еще 5 электронов, что приводит к раскрытию гетероколец исходных молекул с отщеплением S^{2-} и Se^{2-} :



где R_2 —1-метил-о-фенилendiамиин в АН.

Предложенная схема электродного процесса согласуется со следующими экспериментальными данными: значения $E_{1/2}$ вторых волн катионов (I) и (II) близки к значениям $E_{1/2}$ вторых волн восстановления нейтральных молекул 2,1,3-бензтиаз- и селенодиазола в неводной среде [3]. Следовательно, анионы из катионов (I) и (II) и анион-радикалы из 2,1,3-бензтиаз- и селенодиазолов восстанавливаются при близком потенциале. Кроме того, продукты, первой стадии процесса катионов (I) и (II) и 2,1,3-бензтиаз- и селенодиазолов имеют одну и ту же окраску [3]. По схемам (1, 2) легко объясняется наблюдаемая большая разность между $E_{1/2}$ первой и второй волн катионов (I) и (II), составляющая примерно 2,0 В. Перенос первого электрона на эти катионы происходит при гораздо более положительных потенциалах, чем на незаряженных молекулах 2,1,3-бензтиаз- и селенодиазолов [3] ($\Delta E_{1/2}$ составляет примерно 1,0 В). Присоединение второго электрона к свободным радикалам из катионов (I) и (II) протекает очень быстро при том же потенциале, исключая реакцию димеризации, а многоэлектронное восстановление образовавшихся на первой



стадии частиц, как известно [3], имеет место в области отрицательных потенциалов.

Двухэлектронный процесс на первой стадии восстановления катионов (I) и (II) подтвержден также методом ЭПР. В процессе электрохимического генерирования промежуточных частиц при контролируемом потенциале предельного тока первой волны спектр ЭПР свободных радикалов из (I) и (II)-продуктов одноэлектронного переноса не удалось зарегистрировать.

Институт неорганической химии и электрохимии АН ГССР

Поступило 3.III.1978

1-803003-2,1,3-8067016. და სილაციური მოლიტვები პოლარნიკაზე გადასახვა ადამიანის გადასახვა

398073

შესწავლილია 1-მეტრილ-2,1,3-ბენზორ- და სელენდიაზოლიების პოლარო-
გრაფიული აღდგენა აცერონიტრილის არეში. დადგენილია, რომ აღდგენის
ელექტროდენი პროცესი მიმდინარეობს ორ საფუძვრად: პირველ სტადიაზე
დეპოლარიზაციონის მოლეკულებზე არის ელექტრონის გადატანას შედეგად
ხდება შესაბამისი ანიონების წარმოქმნა. მა პროცესის შესაბამისი პოლარო-
გრაფიულ ტალა შექცევადა. მეორე სტადიაზე ხორციელდება ზუთი ელექ-
ტრონის გადატანა ერთ შეუქცევად ტალლად. პირველ სტადიაზე წარმოქმნილი
ანიონების ღრმა აღდგენის შედეგად ხდება საწყისი დეპოლარიზატორების
ჰეტეროციკლების გახლეჩა სულფიდ- და სელენიდ-იონების წარმოქმნით.
შეფასებულია შესწავლილი კათიონების რეაქციის უნარიანობა შესაბამისი
ჰეტეროკარბონული კათიონების რიგში.

V. SH. TSVENIASHVILI, B. KH. STRELETS, M. V. MALASHKHIA,
G. I. EREMEEVA, V. N. GAPRINDASHVILI

POLAROGRAPHIC REDUCTION OF 1-METHYL-2,1,3-BENZTHIA- AND SELENODIAZOLS IN ACETONITRILE

Summary

Polarographic behaviour of cations of 1-methyl-2,1,3-benzthia- and selenodiazols in acetonitrile has been studied. It was established that the reduction process proceeds in stages. At the first stage as a result of two electron transfer to depolarized molecules the corresponding anions are formed. The wave corresponding to this process is an inverse one. At potentials of the second polarographic wave five more electrons are transferred and as a result of deep reduction heterorings of the original compound are broken.



with tearing away of key heteroatoms in the form of sulphide- and selenide- ions. The reactivity of the above-mentioned cations in the series of similar to them heterocarbonic cations is estimated.

©060606060 — ЛИТЕРАТУРА — REFERENCES

1. Цвениашвили В. Ш., Цкалобадзе Л. А., Гапринашвили В. Н. ЖОХ, 45, № 5 (1975).
 2. Coetzee J. F., Cunningham G. P., McGuire D. K., Padmanabham G. R., Analyt. Chem., 34, № 9 (1962).
 3. Zhdanov S. I., Tsveniashvili V. Sh., Todres Z. V. J. Polarogr. Soc., 13, № 3 (1967).
-

УДК 546

В. Ю. МИНДИН, А. М. МОРОЗОВ

КОДИРОВАНИЕ НЕОРГАНИЧЕСКИХ ВЕЩЕСТВ ДЛЯ РАСЧЕТА ТЕРМОДИНАМИЧЕСКИХ ПАРАМЕТРОВ НА ЭВМ С МАЛЫМ ОБЪЕМОМ ОЗУ

Актуальность вопросов кодирования неорганических соединений определяется расширяющимся применением различных по объему и целям информационно-поисковых систем (ИПС). Выбор того или иного способа кодирования связан с конкретными задачами, которые ставятся перед разработчиком ИПС ее возможными потребителями.

В [1] была описана система программ для расчета термодинамических параметров химических реакций в режиме диалога исследователь-ЭВМ, ориентированная на ЭВМ с малым объемом оперативного запоминающего устройства (ОЗУ). Принцип работы системы программы заключается в записи на устройстве ввода-вывода уравнения химической реакции в форме, привычной химикам. Затем ЭВМ осуществляет поиск в ОЗУ необходимых данных по кодам введенных соединений, расчет и выпечатку результатов. Коды соединений получаются в результате трехступенчатой процедуры косимвольного кодирования. Этот способ кодирования требует отдельной ячейки ОЗУ для записи кода соединения, к тому же на количество символов химических элементов или групп элементов накладывается ограничение — их не должно быть больше пяти.

Здесь мы покажем, что кодирование неорганических соединений их молекулярными массами не только снимает ограничение на количество символов в соединении, но и позволяет сэкономить определенное количество разрядов в ячейке, которые могут быть использованы для записи дополнительной информации — например, условного номера модификации вещества с данной молекулярной массой (м. м.) и т. д. Можно предположить, что при кодировании неорганических веществ выбор из введенного в ОЗУ

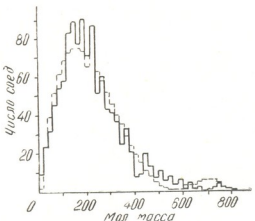


Рис. 1. Гистограмма распределения неорганических соединений по молекулярным массам

массива «не того соединения» при условии, что м. м. запрашиваемого и имеющегося в ОЗУ соединений совпадут, хотя сами соединения различны. Оценим возможность совпадения м. м. различных по составу



неорганических соединений. Прежде чем рассмотреть этот вопрос, более подробно отметим, что число описанных в литературе неорганических соединений 50—60 тыс. [2], а число соединений, данные по которым приведены в термодинамических справочниках, лежит, как это указано в [3] в пределах от нескольких сот до 1—2 тысяч. По-видимому, можно утверждать, что в это число входят наиболее «употребительные» соединения.

Гистограмма распределения неорганических соединений по м. м. (рис. 1), построенная по данным [4], показывает, что наибольшая плотность распределения соответствует соединениям с м. м. в 160—162 атомных единиц массы (а. е. м.).

Для дальнейших расчетов нам необходима функция плотности распределения неорганических соединений по м. м. Подобная функция была получена сверткой данных гистограммы в полином четвертой степени методом наименьших квадратов:

$$f(\mu) = -4,381 \cdot 10^{-4} + 55,238 \cdot 10^{-6} \mu - 25,710 \cdot 10^{-8} \mu^2 + \\ + 4,025 \cdot 10^{-10} \mu^3 - 0,208 \cdot 10^{-12} \mu^4. \quad (1)$$

где μ — значение м. м. соединения.

На рис. 1 нанесена пунктиром гистограмма, построенная на основе (1).

Используя (1), проводим следующие рассуждения. Имеем множество «п» химических соединений, распределенных в интервале молекулярных масс (O, M) с плотностью $f(\mu)$. В ОЗУ ЭВМ находится n_1 элементов множества «п», таких, что вероятность p_1 запроса любого из n_1 при обращении к «п», больше, чем n_1/N , т. е. в память ЭВМ введены наиболее употребительные соединения. Соответственно вероятность того, что элемент из «п» не содержится в n_1 будет:

$$P_0 = 1 - P_1. \quad (2)$$

Найдем вероятность того, что для взятого наугад элемента из множества n_2 ($n_2 = n - n_1$) значение параметра μ совпадает со значением этого параметра у одного из элементов из множества n_1 (совпадение параметров μ у различных элементов множества n_1 исключено предварительной проверкой).

Принимая, что каждая единица интервала (O, M) разбита на N ячеек, можно записать для вероятности совпадения в случае $f(\mu) = \text{const}$

$$dP = \frac{n_1 P_0}{N} f^2(\mu) d\mu \quad (3)$$

или, в интегральной форме:

$$P = \frac{n_1 P_0}{N} \int_0^M f^2(\mu) d\mu \quad (4)$$

Выполняем интегрирование при $n_1 = 1000$ и $\mu = 800$, используя (1):

$$P = 2,44 \frac{P_0}{N}. \quad (5)$$

Задаем разбиение каждой единицы м. м. на 1000 частей ($N = 1000$, три знака после запятой в десятичном представлении) и оценивая



вероятность $P_0=0,1$ получаем $P=2,44 \cdot 10^{-4}$, т. е. на каждые 10000 просов возможна вероятность менее чем трех ложных выдач.

Если ограничиться записью в ОЗУ соединений с м. м. до 524,287, то для целочисленной записи их в ОЗУ достаточно 19 разрядов, что в конкретном случае ЭВМ типа «Наутилус» оставляет свободными в разрядной сетке 17 разрядов.

Грузинский политехнический институт
имени В. И. Ленина,
ВЦ АН ГССР

Поступило 11 V 1978

3. պուրաբան, 33. պուրաբան

କାର୍ଯ୍ୟକାରୀଙ୍କ ନିର୍ମାଣକାରୀଙ୍କ ପାଇଁ ଏହାର ପରିପାଳନା
କାର୍ଯ୍ୟକାରୀଙ୍କ ନିର୍ମାଣକାରୀଙ୍କ ପାଇଁ ଏହାର ପରିପାଳନା

67053

ჰისტორიაში ანალიზის საფუძველზე მიღებულია არაორგანულ ნივთიერებათა მოღვაცულური წონების მიხედვით განწყილების ფუნქციის პოლინომიალური მოდელი. ალბათური მიღვმოს გამოყენებით ნაპოვნია, რომ არაორგანულ ნივრთთა მოღვაცულური წონებით კოდინრებისას გვექნება არა ნაელებ სამი შეცდომისა თითოეულ 10 000 შეკითხვაზე — ის შემთხვევაში, თუ ათობით წარმოდგენაში მოყვანილია სამი თანრიგი მძიმის შემდეგ. თუ მოღვაცულური წონის მაგისტრალური მნიშვნელობა ას აღმატება 524,287, მაშინ კოდინრებისა-თვის სამარტინია 19 თანრიგი.

V. YU. MINDIN, A. M. MOROZOV

CODING OF INORGANIC SUBSTANCES FOR CALCULATIONS OF THERMODYNAMICAL PARAMETERS FOR CHEMICAL REACTIONS BY A COMPUTER WITH A SMALL O. S. VOLUME

Summary

On the basis of histogram analysis polynomial model of the distribution function for inorganic substances by their molecular masses was obtained. It is found using the probability approach that at coding inorganic compounds by their molecular masses there are less than three confused events per each 10000 requests, if in the decimal representation there are three digits after the point. If the maximum value of the molecular mass is not greater than 524.287 then 19 digits suffice for coding.

ՀԱՅԱՍՏԱՆԻ – ЛИТЕРАТУРА – REFERENCES

1. Миндин В. Ю. Сообщ. АН ГССР, 74, № 2, 353, (1974).
 2. Краткая химическая энциклопедия. М., «СЭ», 1964, т. III, 423.
 3. Киреев В. А. Методы практических расчетов в термодинамике химических реакций. М., «Химия», 1970.
 4. Наумов Г. Б., Рыженко Б. Н., Ходаковский И. Л. Справочник термодинамических величин. М., «Атомиздат», 1971.

ବ୍ୟାକିଲାଙ୍ଗନ ପରିଷଦ

7. ნახევრები უნდა შესრულდეს თეთრ ქოლეგის ან კალაგაზე შევი ტეშით, მინიმალური ასაღებობის ღრძისებით. ცეკვებში უცილესბლა უნდა იყოს მითითებული ნაბატის აფიალი, ხოლო ნახატის წრების კი — ვარიანტის მინიჭებულება. ყოველ ნახატს შეორებები განკუთრების და დაწერის გარემოი და ის წერილის სათაური, რომელსაც მიეკუთვნება ნახატი. ნახატები და ცხრილები შემოზღვევით უნდა იქნება როგორიცაც წარმოერთობის კონკრეტული მიზანისთვის.

ଏ କି ଲାଭିଶ୍ଵରପାଳା ରାତ୍ରିରାତ୍ମକା ରନ୍ଧା ଲାବିଶ୍ଵରଙ୍କୁ ପାଇଁ ହରାଯାଇଛି । ଅବିନିଷ୍ଠିତରେ ଏହାରେ ଦ୍ୱାରା ଉପରେ ମୋହରିଲାଇ ରନ୍ଧା ଗୁଣରେ କିମ୍ବା ରୂପେ ପରିବର୍ତ୍ତନ ହେବାରେ କିମ୍ବା ଲାଭିଶ୍ଵରରେ ଉପରେ ହେବାରେ କିମ୍ବା ଏହାରେ କିମ୍ବା ଏହାରେ କିମ୍ବା

— ४ —
१. विभिन्न प्रकार के ग्रनेट लॉटों में से एक ग्रनेट लॉट का अधिकारी द्वारा उपलब्ध कराया जाता है।

10. ხელაშერბის, რომელიც არ უპასუხებენ პირობებს, ჩვდელოვანის მიერ არ მიღება.

12. නියුත්වා වෙතුන් වේසංමූහුදාල ග්‍රැන්ඩ් සුජ්‍යාලිස් මුත කුරුගියුරා. වෙතුන් ප්‍රාග්ධනය ඇත් වෙතුන් මීටුන් ප්‍රාග්ධනය වෙතුන් වේප්‍රාග්ධනය. ආව්‍යෝගීක දෙපාර්තමේන්තු මිනින්ද මානව සැකිල්ල මිනින්දාවනා.

ამონის ურთისონ ეძღვევა თავისი წერილის 12 მონაბეჭდი.

რედაქციის მინიჭართი:

380060, თბილისი-60, კუტუზოვის ქ. 19, ოთახი 16.
ტელ. 37-93-82

Адрес редакции:

380060, Тбилиси-60, ул. Кутузова, 19, комната 16.
тел. 37-93-82

Корректор М. Брегвадзе

Сдано в набор 22.6.1979; подписано к печати 28.9.1979; формат
бумаги 70×108 $\frac{1}{16}$; бумага № 1; печатных л. 8,4; уч.-изд. л. 6,2;
УЭ 08831; тираж 1100 экз.; заказ 2295;

цена 70 коп

გამოშემსრულება „მეცნიერება“, თბილისი, 380060, კუტუზოვის ქ., 19
Издательство «Мецнериба», Тбилиси, 380060, ул. Кутузова, 19

საქ. სსრ მეცნ. აკადემიის სტამბა, თბილისი, 380060, კუტუზოვის ქ., 19
Типография АН Груз. ССР, Тбилиси, 380060, ул. Кутузова, 19

6287161



Цена 70 коп.

76 203